

АЗӘРБАЙЧАН ССР ЕЛМЛӘР АКАДЕМИЈАСЫ  
АКАДЕМИЯ НАУК АЗЕРБАЙДЖАНСКОЙ ССР

---

# МӘРУЗЭЛӘР ДОКЛАДЫ

ТОМ XXV ЧИЛД

7

---

АЗӘРБАЙЧАН ССР ЕЛМЛӘР АКАДЕМИЈАСЫ НӘШРИЈАТЫ  
ИЗДАТЕЛЬСТВО АКАДЕМИИ НАУК АЗЕРБАЙДЖАНСКОЙ ССР  
Бакы—1969—Баку

АЗЭРБАЙЧАН ССР ЕЛМЛЭР АКАДЕМИЈАСЫ  
АКАДЕМИЯ НАУК АЗЕРБАЙДЖАНСКОЙ ССР

МЭ'РУЗЭЛЭР  
ДОКЛАДЫ

ТОМ XXV ЧИЛД

№ 7

„ЕЛМ“ НЭШРИЈАТЫ  
ИЗДАТЕЛЬСТВО „ЭЛМ“  
БАКЫ—1969—БАКУ

В. А. АЛИЕВ

**ПРАВИЛО ТИЦИУСА—БОДЕ И НАКЛОН ОСИ ВРАЩЕНИЯ  
ЗЕМЛИ И ПЛАНЕТ**

(Представлено академиком АН Азёрбайджанской ССР З. И. Халиловым)

Как известно, существует определенная закономерность в расстояниях Земли и планет от Солнца, которая носит название правила (иногда неправильно называемое законом) Тициуса—Боде.

Это эмпирическое правило было предложено немецким ученым И. Тициусом (Titius) в 1766 г., и получило всеобщую известность благодаря работам немецкого астронома И. Боде (Bode) в 1772 г. По этому правилу, выраженные в астрономических единицах расстояния Меркурия, Венеры, Земли, Марса, средней части кольца малых планет, Юпитера, Сатурна, Урана и Плутона от Солнца (Нептун выпадает из этой зависимости) получаются следующим образом:

К каждому числу последовательности

$$0, 3, 6, 12, 24, 48, 96, 192, 384 \quad (a)$$

образующей, начиная с 3, геометрическую прогрессию, прибавляется число 4, а затем все числа делятся на 10. Полученная новая последовательность чисел: 0,4; 0,7; 1,0; 1,6; 2,8; 5,2; 10,0; 19,6; 38,8 с точностью около 3% представляет расстояния в астрономических единицах перечисленных тел солнечной системы [1].

Эта закономерность может быть выражена формулой:

$$r_n = 0,4 + 0,3 \cdot 2^n \quad (1)$$

где  $n = -\infty$  (Меркурий), 0 (Венера), 1 (Земля), 2 (Марс), 3 (Малые планеты), 4 (Юпитер), 5 (Сатурн), 6 (Уран), 7 (Плутон).

К сожалению, удовлетворительного теоретического объяснения этой эмпирической зависимости в настоящее время не имеется.

А теперь посмотрим, есть ли какая-либо закономерность в наклонах осей вращения Земли и планет?

Исследование показывает, что и в наклонах осей вращения Земли и планет, так же, как и в их расстояниях от Солнца, существует определенная закономерность. И кроме того, как увидим ниже, имеется функциональная зависимость между углом наклонения оси вращения  $\epsilon$  и расстоянием Земли и планет от Солнца  $r$ , т. е.  $\epsilon = f(r)$ .

РЕДАКЦИОННАЯ КОЛЛЕГИЯ: Р. Г. Исмаилов (главный редактор), Ш. А. Азизбеков, В. Р. Волобуев, Д. М. Гусейнов, И. А. Гусейнов, М. А. Дадашзаде (зам. главного редактора), М. А. Далин, Ч. М. Джуварлы, М. А. Каракай (зам. главного редактора), С. М. Кулиев, М. Ф. Нагиев, М. А. Топчибашев, З. И. Халилов, Г. Г. Зейналов (ответственный секретарь).

Адрес: г. Баку, Коммунистическая, 10. Редакция «Докладов Академии наук Азербайджанской ССР».

Разделим последовательность (а), которая является основой правила Тициуса—Боде, на две группы так, как подразделяются планеты:

$$\begin{array}{ll} 0, 3, 6, 12, 24 & \text{I группа} \\ 48, 96, 192, 384 & \text{II группа} \end{array}$$

Теперь, если к каждому числу I группы прибавить число 72 и помножить на 0,3, а из каждого числа II группы вычесть число 44 и помножить на 0,6, то обе вновь полученные последовательности чисел:

$$\begin{array}{l} 21,6; 22,5; 23,4; 25,2; 28,8 \\ \text{и } 2,4; 31,2; 88,8; 204 \end{array}$$

будут представлять, соответственно, угол наклонения оси вращения (в градусах) планет первой (внутренней, типа Земли) и второй (внешней, типа Юпитера) группы (Нептун выпадает из этого правила).

Эта закономерность может быть выражена следующими двумя формулами:

$$\begin{array}{ll} \varepsilon_1 = 0,9 (2^n + 24) & \text{I a} \\ \varepsilon_{II} = 0,6(3 \cdot 2^n - 44) & \text{II a}, \end{array}$$

где  $\varepsilon_1$  — угол наклонения оси вращения каждой планеты первой группы;

$$\begin{array}{l} \varepsilon_{II} \text{ — то же, второй группы;} \\ n' = -\infty, 0, 1, 2, 3; \\ n'' = 4, 5, 6, 7, \end{array}$$

т. е. значения  $n'$  и  $n''$  те же, что значения  $n$  в формуле 1.

А теперь ясно, что сравнивая обе эти формулы с формулой 1, получим:

$$\begin{array}{ll} \varepsilon_1 = 3(r_1 + 6,8) & \text{I} \\ \varepsilon_{II} = 6(r_{II} - 4,8) & \text{II}, \end{array}$$

где  $\varepsilon_1$  — фактический угол наклонения оси вращения (в градусах) каждой планеты первой группы;

$$\varepsilon_{II} \text{ — то же, второй группы;}$$

$r_1$  — фактическое расстояние от Солнца (в а. е.) каждой планеты первой группы;

$$r_{II} \text{ — то же, второй группы.}$$

Сопоставим цифры, вычисленные по формулам Ia, IIa, I и II с фактическими, взятыми с [2], наклонами и расстояниями (таблица).

Группа	Планеты	$-n$	$r$ (а. е.)		$\varepsilon$ (град.)		
			Фактич.	Вычисл. по форм. I и II	Вычисл. по форм. Ia и IIa	Фактич.	Вычисл. по форм. I и II
I	Меркурий	$-\infty$	0,39	—	21,6	—	21,6
	Венера	0	0,73	—	22,5	—	22,6
	Земля	1	1,00	1,03	23,4	23,5	23,4
	Марс	2	1,53	1,60	25,2	25,2	25,0
	Астероиды	3	—	—	28,8	—	—
II	Юпитер	4	5,2	5,2	2,4	3,1	2,4
	Сатурн	5	9,5	9,3	31,2	26,7	28,2
	Уран	6	19,2	21,1	88,8	98,0	86,0
	Нептун	Выпад.	30,0	30,0	Выполн.	151,0	151,2
	Плутон	7	39,7	—	204	?	209,4

Из таблицы видно следующее:

- 1) совпадение во всех случаях хорошее;
- 2) в формулы II, в отличие от правила Тициуса—Боде (формулы I) и формулы II a, прекрасно укладывается и Нептун;
- 3) фактические углы наклонения осей вращения Меркурия, Венеры и Плутона неизвестны. Вычисленные по формулам Ia и I,  $\varepsilon$  Меркурия равен  $21,6^\circ$ , Венеры, соответственно,  $22,5^\circ$  и  $22,6^\circ$ , Плутона, но вычисленный по формулам IIa и II, соответственно,  $204$  и  $209,4^\circ$ . Следовательно. Плутон имеет  $\varepsilon$  в пределах  $204$ — $209,4^\circ$  (или то же самое, после вычета  $180^\circ$ , в пределах  $24$ — $29,4^\circ$ ). (Таблица также содержит "угол наклонения" астероидов). Таким образом, как мы видим, полученные формулы дают возможность вычислить неизвестные в настоящее время наклоны. Кроме того, формулы I и II позволяют вычислить  $\varepsilon$ , если известно  $r$  и наоборот. В заключение хочется отметить, что в течение почти двухстолетий продолжается обсуждение правила Тициуса—Боде. Некоторые ученые считали его действительным законом природы, только еще не объясненным, другие (вероятно, большинство) видели в нем лишь случайное совпадение двух рядов чисел [3].

Теперь, по-видимому, придется думать о "случайном" совпадении не двух, а трех рядов чисел. С другой стороны, как мы уже видели, имеется взаимозависимость между двумя, казалось бы, не имеющими никакого отношения друг к другу, величинами, т. е. между  $\varepsilon$  и  $r$  (формулы I и II).

#### ЛИТЕРАТУРА

1. БСЭ, т. 42, 2-е изд., стр. 508.
2. Федынский В. В. Разведочная геофизика. Изд. "Недра", 1964.
3. Шмидт О. Ю. Происхождение Земли и планет. Сб. работ. Изд. АН СССР, 1962.

Азгосуниверситет

Поступило 5. IV 1967

В. Э. Элиев

Титсиус-Боде гајдасы вэ Јер вэ планетләрин фырланма  
охунун мејл бучагы

#### ХУЛАСӘ

Мә'лумдур ки, тәгрибән ики јүз ил бундан әvvәл Титсиус-Боде тәрәфиндән планетләрин (Нептуидан башга) Күнәшдән олан мәсафәләрини тә'јин етмәк үчүн бир гајда тапылмышдыр. Бу гајда (a) ардычыллығындан алышараг (1) формулу илә ифадә олунур.

Мүэллиф тәрәфиндән Јер вэ планетләрин фырланма, охунун мејл бучагыны тә'јин етмәк үчүн (a) ардычыллығындан алышаң башга бир емпирик гајда тәклиф едилмишdir. Бу гајда Ia вэ IIa формуллары илә ифадә олунмушшур. Бундан башга, мүэллиф көстәрир ки, мејл бучаглары илә күнәшдән олан мәсафәләр арасында функционал бир асылылыг вардыр. Бу асылылыг I вэ II тәнликләрindән ибарәтдиr (бу, Нептуна да иандиr).

Несаблама вэ мушаһидә јоллары илә алышаң иәтичәләр 1-чи чәдәвәлдә мугајисәли верилмишdir. Бүтүн бунлар назырда мә'лум олмажан мејл бучагларыны несабламаға имкан вермишdir.

ЭНЕРГЕТИКА

Ф. Г. ГУСЕЙНОВ, Ч. С. ХАЛИЛОВ, Н. Р. РАХМАНОВ, А. Я. АБДУЛЛАЕВ

**ИССЛЕДОВАНИЕ ВЛИЯНИЯ ДЕМПФЕРНЫХ МОМЕНТОВ  
НА ДИНАМИЧЕСКУЮ УСТОЙЧИВОСТЬ ЭНЕРГОСИСТЕМЫ**

(Представлено академиком АН Азербайджанской ССР Ч. М. Джуварлы)

**Постановка вопроса.** В реальной энергетической системе кроме упругих сил, создающих синхронизирующие моменты, действуют диссипативные силы, обуславливающие рассеяние энергии. Обычно диссипативные силы электромеханического происхождения учитываются с помощью демпферных моментов. Основными источниками демпферных моментов являются токи, наводимые в роторных контурах синхронных машин при их качаниях.

В настоящее время наиболее полно изучен вопрос о влиянии демпферных моментов, создаваемых в контурах ротора, при конечных возмущениях [1,2], асинхронном ходе и ресинхронизации [3,4]; в то же время вопросы о влиянии демпферных моментов на статическую и динамическую устойчивость энергетической системы исследованы в незначительной степени. При этом обычно ограничивались исследованием простейшей энергосистемы генератор-шины бесконечной мощности.

Кроме того в существующей практике расчетов динамической устойчивости энергетических систем принято пренебречь влиянием демпферных моментов, развиваемых синхронными машинами при качаниях и в начальный момент нарушения устойчивости.

Явнополюсные машины (гидрогенераторы) без успокоительных обмоток не могут развить большого асинхронного момента (0,5–0,6 от номинального) или же при наличии успокоительных обмоток развивают номинальный асинхронный момент, но при значительных скольжениях (порядка 3–5%).

Между тем, результаты проведенных исследований показывают [3], что у неявнополюсных синхронных машин уже при очень малых значениях относительной скорости ротора и поля статора, демпферный момент достигает значительной величины.

В ряде случаев пренебрежение асинхронным моментом при расчетах устойчивости систем может внести значительную погрешность, вызывая уменьшение расчетного предела динамической устойчивости в сравнении с действительным.

Целью настоящих исследований явилась оценка влияния асинхронных моментов на динамическую устойчивость сложной энергетической системы и разработка методики их учета при выполнении аналитических расчетов устойчивости. В статье также приведены результаты проведенных исследований на примере расчета устойчивости реальной энергосистемы с использованием предложенной методики.

**Основные этапы решения.** В качестве исходных данных использовались асинхронные моменты генераторов определяемые согласно методике, приведенной в [5].

На рис. 1 приведены рассчитанные фактические характеристики взаимных асинхронных моментов источников  $M_{ij} = f(S)$  для одной из рассмотренных передач, причем эти зависимости построены как при коротком замыкании в системе, так и после его отключения.

Расчет динамической устойчивости энергосистемы выполнялся методом последовательных интервалов на модели переменного тока.

Учет асинхронных моментов в процессе расчета производился следующим образом.

Для данного интервала расчета определяются относительные синхронные приращения углов источников:

$$\Delta\delta_{ij_n}^c = \Delta\delta_{i_n}^c - \Delta\delta_{j_n}^c \quad (1)$$

и соответствующие им относительные приращения скольжений

$$\Delta S_{ij_n} = \frac{\Delta\delta_{ij_n}^c}{\Delta t \cdot 18000} \quad (2)$$

Здесь  $\Delta\delta_{in}^c$ ;  $\Delta\delta_{jn}^c$ —синхронные приращения углов источников (без учета асинхронных моментов);

$i=1,2,3\dots$  —номера источников;  
 $j=1,2,3\dots$  —номер интервала.

Затем по кривым фактических взаимных асинхронных моментов (рис. 1) для полученных скольжений:

$$S_{ij_n} = S_{ij_{n-1}} + \Delta S_{ij_n} \quad (3)$$

определяются асинхронные моменты  $M_{ij_n}$ .

Здесь  $S_{ij_{n-1}}$ —скольжение в предыдущем интервале (для 1-го интервала  $S_{ij_1} = \Delta S_{ij_1}$ ).

Алгебраическим сложением взаимных асинхронных моментов  $M_{ij_n}$  находится асинхронный момент каждого источника на данном интервале:

$$M_{in} = \sum_{j=1,2,3} M_{ij_n} \quad (4)$$

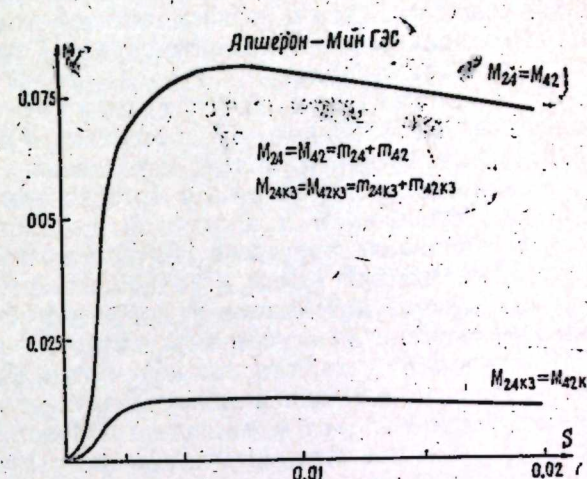


Рис. 1.

Полученный асинхронный момент  $M_{in}$  учитывается в приращении синхронной мощности со своим знаком:

$$\Delta P_{in} = \Delta P_{in}^c - M_{in} \quad (5)$$

По вычисленному приращению мощности  $\Delta P_{in}$  определяются приращения угла  $\Delta\delta_{in}$  каждого источника с учетом асинхронного момента.

Аналогичным образом поступают на всех интервалах расчета с той лишь разницей, что в зависимости от момента расчета пользуются кривыми асинхронных моментов (рис. 1) при коротком замыкании или после его отключения.

Результаты количественного анализа. В качестве исследуемой была принята эквивалентная 4-машинная схема замещения Объединенной энергосистемы Закавказья.

Эквивалентирование этой энергосистемы было проведено при соблюдении требований для каждой подсистемы Закавказья, согласно которым эквивалентируемые подсистемы должны обладать внутренней устойчивостью при малом и большом внешнем возмущении.

Определение параметров упрощенной 4-машинной схемы замещения произведено на основе перспективных режимов.

При расчете устойчивости не учитывались активные сопротивления цепей статора, а также намагничивающие токи трансформаторов. Активные сопротивления и емкостная проводимость учтены только для ЛЭП 220–330 кв. Автоматическое регулирование возбуждения всех синхронных генераторов приближенно учитывалось принятием эдс за сопротивлением  $X_d$  неизменным. При таком допущении не учитывалось некоторое увеличение предела динамической устойчивости, достигаемое за счет форсировки возбуждения.

Заметим, что на ЛЭП 330 кв Мингэс–ГрузАрмэнерго проектируется однофазное автоматическое повторное включение с временем включения 1,5 сек.

ЛЭП № 1 220 кв Мингэс–Апшерон оборудована 3-фазным АПВ с временем включения 1,5 сек, ЛЭП № 2 220 кв Мингэс–Апшерон–3-фазным АПВ с временем включения 2,5 сек.

В работе с целью оценки и сравнения результатов был произведен расчет динамической устойчивости той же системы и без учета демпферных моментов. Причем, для соблюдения единства исходных условий при оценке результатов расчетов динамической устойчивости обоим расчетам отвечал единый исходный режим. Короткое замыкание производилось на ЛЭП № 2 220 кв Мингэс–Апшерон, вблизи шин Мингэс с ее последующим отключением. Время отключения короткого замыкания было принято равным  $t_{откл} = 0,2$  сек.

Длительность расчета, исходя из времени одного цикла качания, составляла 1,8 сек. Расчетный интервал  $\Delta t = 0,1$  сек.

Уточнение новых значений скольжения, проведенное на первых интервалах расчета методом последовательных итераций не оказывало заметного влияния, поэтому оно в дальнейшем не проводилось. В качестве примера для одной из линий электропередач на рис. 2 приведены кривые изменения относительных углов источников во времени без учета и с учетом демпферных моментов.

Анализ результатов исследований рассмотренной системы показал, что при учете демпферных моментов в первом цикле качаний амплитуда колебаний относительных углов ЛЭП Мингэс–Апшерон и Мингэс–ГрузАрмэнерго уменьшается на 20%, относительно соответствующей амплитуды при неучете этих моментов, а логарифмические декременты затухания переходного процесса указанных ЛЭП составляют соответст-

венно 0,375 и 0,465 при учете демпфирования и 0,124 и 0,195 при его неучете.

Асинхронные моменты, развиваемые при качаниях синхронными машинами, в ряде случаев могут оказывать существенное влияние на протекание переходного процесса в системе и неучет их в расчетах динамической устойчивости может привести к значительным погрешностям.

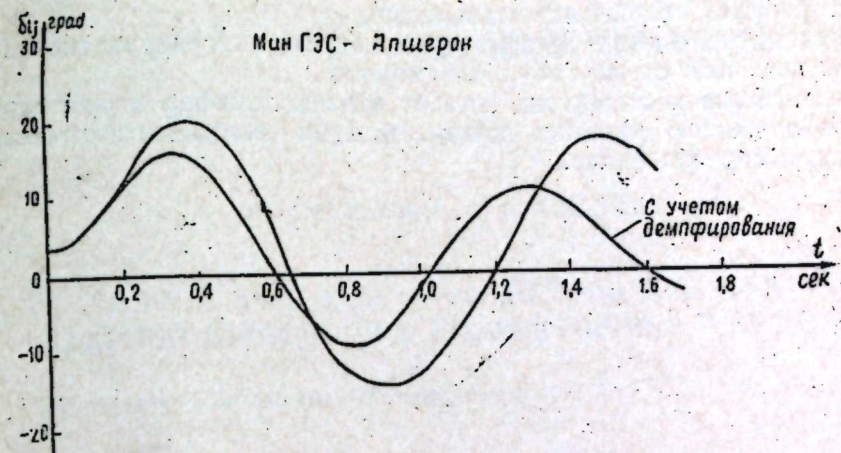


Рис. 2.

Предложенная методика позволяет избежать обычно выполняемых в настоящее время громоздких аналитических расчетов устойчивости с учетом демпферных моментов и сравнительно просто качественно и количественно оценить их влияние на динамику сложной системы.

#### ЛИТЕРАТУРА

1. Казовский Е. Я. Некоторые вопросы переходных процессов в машинах переменного тока. 1953.
2. Костенко М. П. Электрические машины (Спец. часть). 1949.
3. Сыромятников И. А. Режимы работы синхронных генераторов. 1952.
4. Мамиконянц Л. Г. О переходных процессах в синхронных машинах с успокоительным контуром на роторе. „Электричество“, № 4. 1954.
5. Гусейнов Ф. Г. Исследование НАПВ некоторых ЛЭП 330 кв Закавказской энергосистемы. „За технический прогресс“, № 12. 1966.

Поступило 18. III 1969

АзНИИ энергетики

Ф. Г. Гусейнов, Ч. С. Халилов, Н. Р. Райманов, А. І. Абдуллаев

Енержи системләринин динамик дајаныглығына  
демпфер моментләринин тә'сиринин тәдгиги

#### ХУЛАСӘ

Мәгаләдә синхрон машынларын рәгсләри заманы алышан асинхрон моментләрин мүрәккәб енержи системләринин динамик дајаныглығы тә'сирин мәсәләсінә бағылышты.

Демпфер моментләриниң иңәрә алмагла дајаныглығын һесабат методу тәклиф едилмиш вә ejni заманда, реал енержи системи мисалында апарылыш тәдгигатын иәтичәләри көстәрилмишdir. Һесабламалар башланғыч кәмијәтләр кими гарышылыгы асинхрон моментлериң һесабламыш фактика характеристикаларындан истифадә едилмишdir.

Тәдгигат заманы сүрүшмәйнин нисби артымы вә она ујғун гарышылыгы асинхрон моментләри тапылышдыр. Һәр мәнбә үчүн гарышылыгы моментләрин чәбри топланмасы илә алышан асинхрон момент синхрон күчүн артымында өз ишарәси илә нәээрә алышылышдыр.

Синхрон күчүн һесабланыш артымына көрә мәнбеләрин бучагларынын артымы тапылышдыр. Ујғун сурэтдә бүтүн интерваллар үчүн заманындан асылы оларaq асинхрон момент эյриләриндән истифадә (тыса гапанма заманы вә бу гапанма арадан галдырылдыгдан соңа) етмәк фәргилә һесабат апарылышдыр.

Тәдгигат схеми кими, Загафазијанын бирләшмиш енержи системинин 4 машинала әвәз схеми гәбул едилшилди.

Тәдгигатлар көстәрик ки, һесабат заманы демпфер моментләринин нәээрә алышын динамик дајаныглылығын һесабынын иәтичәләрине кәскин тә'сир едә биләр.

ПОЛУПРОВОДНИКОВАЯ ЭЛЕКТРОНИКА

В. П. ДЬЯКОНОВ, Д. Г. АЛИ-ЗАДЕ

**ВЫХОДНОЙ ИМПЕДАНС ТРАНЗИСТОРА ПРИ НАЛИЧИИ  
УДАРНОЙ ИОНИЗАЦИИ В КОЛЛЕКТОРНОМ ПЕРЕХОДЕ**

(Представлено академиком АН Азербайджанской ССР Г. Б. Абдуллаевым)

Эффект ударной ионизации носителей в обедненном слое коллекторного перехода транзистора находит все большее применение [1—5]. Отрицательное сопротивление лавинного транзистора, обусловленное этим эффектом [1] может использоваться в усилителях и генераторах синусоидальных колебаний, в умножителях добротности  $LC$  контуров и др.

В настоящей работе рассматривается эквивалентная схема транзистора с учетом эффекта ударной ионизации. Получены выражения для составляющих импеданса и их зависимости от параметров транзистора и схемы. Теоретические расчеты подтверждены экспериментом.

**1. Эквивалентные схемы лавинного транзистора на участке  
отрицательного сопротивления**

На рис. 1,а показана обобщенная схема включения лавинного транзистора. Выходное сопротивление транзистора в этой схеме отрицательно и определяется крутизной в. а. х. в рабочей точке [1]. Обведенную пунктиром часть схемы можно представить в виде частотоделенную

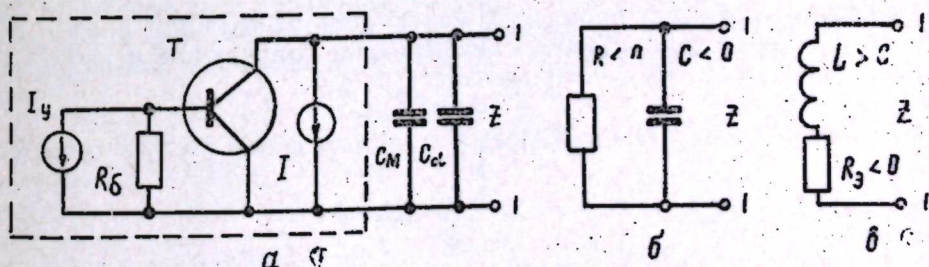


Рис. 1а — схема включения лавинного транзистора для работы на участке отрицательного сопротивления; б — эквивалентная схема лавинного транзистора на участке отрицательного сопротивления; в — эквивалентная схема с положительной реактивной составляющей импеданса.

независимого отрицательного сопротивления  $R$ , равного дифференциальному выходному сопротивлению транзистора.

Частотные свойства лавинного транзистора обусловлены в основном двумя причинами: инерционностью механизма переноса носителей через активную область базы и влиянием емкости коллекторного перехода  $C_c$ . В работе [2] показано, что первая причина приводит к появлению в составе эквивалентной схемы транзистора реактивной составляющей импеданса, имеющей отрицательный емкостной характер. Эта учтена на рис. 1, а включением емкости  $C_a$ . Другая емкость  $C_m$  является выходной емкостью транзистора и также отрицательна.

Таким образом малосигнальная эквивалентная схема лавинного транзистора на переменном токе имеет вид, показанный на рис. 1, б. Здесь суммарная отрицательная емкость  $C$ , шунтирующая отрицательное сопротивление  $R$  равна:

$$C = C_a + C_m \quad (1)$$

Достоинством такой схемы является то, что обе ее составляющие  $R$  и  $C$  не зависят от частоты. Кроме того измерение отрицательной емкости не встречает каких-либо затруднений. Тем не менее в некоторых случаях желательна эквивалентная схема, в которой реактивная часть импеданса была бы положительной. Полное выходное сопротивление  $Z$  схемы рис. 1, б определяется выражением:

$$Z = \frac{R \cdot \frac{1}{j\omega C}}{R + \frac{1}{j\omega C}} = R_s + j\omega L_s, \quad (2)$$

где:

$$R_s = \frac{R}{1 + \omega^2 R^2 C^2} \quad (3)$$

$$L_s = \frac{-CR^2}{1 + \omega^2 R^2 C^2} \quad (4)$$

Следовательно, эквивалентная схема может иметь другой вид, показанный на рис. 1, в. Здесь отрицательное сопротивление  $R_s$ , включено последовательно с положительной эквивалентной индуктивностью  $L_s$ . Обе составляющие этой схемы существенно зависят от частоты. Учитывая равнозначность обеих схем дан анализ для схемы рис. 1, б. Используя формулы (2), (3) и (4), всегда можно по известным значениям  $R$  и  $C$  найти значения  $R_s$  и  $L_s$ .

## 2. Анализ действительной части импеданса

Величину сопротивления  $R$  в зависимости от тока  $I$  и параметров схемы  $I_y$  и  $R_b$  можно найти проанализировав полученные в работе [1] уравнения в. а. х. лавинного транзистора:

$$U = |U_n| \cdot \sqrt{1 - \frac{1}{M}} \quad (5)$$

$$I = M(\alpha_0 I_s + I_{ko})$$

$$M = \frac{\varphi_t}{R_b + r_b} \ln(I_s / I_{so} + 1) + I_s - I_y \frac{R_y}{R_b + r_b} \quad (7)$$

Здесь принятые те же обозначения, что и в [1]. Уравнения в. а. х. заданы в параметрической форме с параметром  $I_s$ . Задаваясь различными значениями тока эмиттера  $I_s$  и пользуясь приведенными уравнениями можно построить в. а. х. в виде зависимости  $U=f(I)$  при  $I_y = \text{const}$  и  $R_b = \text{const}$ . Для нахождения дифференциального сопротивления продифференцируем уравнения в. а. х. раздельно по току  $I_s$ :

$$\frac{dU}{dI_s} = \frac{|U_n|}{nM^2} \cdot \left[ 1 - \frac{1}{M} \right]^{\frac{1}{n}-1} \frac{dM}{dI_s} \quad (8)$$

$$\frac{dI}{dI_s} = M\alpha_0 + (\alpha_0 I_s + I_{ko}) \cdot \frac{dM}{dI_s} \quad (9)$$

$$\frac{dM}{dI_s} = \frac{1}{(R_b + r_b)(\alpha_0 I_s + I_{ko})^2} \left[ \frac{\varphi_t(\alpha_0 I_s + I_{ko})}{(I_s + I_{so})} - \right. \quad (9)$$

$$\left. - \varphi_t x_0 \ln(I_s / I_{so} + 1) + I_{ko}(R_b + r_b) + \alpha_0 R_b I_y \right] \quad (10)$$

Дифференциальное сопротивление находим из очевидного выражения:

$$R = \frac{dU}{dI} = \frac{dU}{dI_s} \cdot \frac{dI_s}{dI} \quad (11)$$

Используя (8) и (9) из (11) получим:

$$R = \frac{\frac{|U_n|}{nM^2} \left[ 1 - \frac{1}{M} \right]^{\frac{1}{n}-1}}{\alpha_0 M + (\alpha_0 I_s + I_{ko}) \cdot \frac{dM}{dI_s}} \cdot \frac{dM}{dI_s} \quad (12)$$

Уравнение (12) совместно с (6) позволяет построить зависимость  $R=f(I)$  при  $I_y=\text{const}$  и  $R_b=\text{const}$ .

## 3. Анализ реактивной части импеданса

Для выходной емкости транзистора в схеме с общим эмиттером можно записать выражение:

$$C_m = C_c(\beta+1) \quad (13)$$

В общем случае коэффициент усиления по току в схему с общим эмиттером равен:

$$\beta = \frac{\alpha}{1-\alpha}, \quad (14)$$

где  $\alpha$  — коэффициент усиления по току с общей базой. В лавинном режиме имеет место умножение  $\alpha_0$  в  $M$  раз, обусловленное лавинным умножением носителей в коллекторном переходе:

$$\alpha = M\alpha_0 > 1 \quad (15)$$

Легко видеть, что в этом случае выходная емкость  $C_m$  отрицательна и равна:

$$C_m = -\frac{C_c}{M\alpha_0 - 1} \quad (16)$$

Формулу для расчета емкости  $C_a$  проще всего получить, используя выражение для постоянной времени коллекторного перехода в схеме

с общим эмиттером, обусловленной механизмом переноса носителей через базу:

$$\tau_\beta = \frac{1}{\omega_\beta} = R C_a \quad (17)$$

Здесь для граничной частоты в схеме с общим эмиттером  $\omega_\beta$  следует использовать выражение:

$$\omega_\beta = \frac{\omega_a}{|\beta + 1|}, \quad (18)$$

где  $\omega_a$  — граничная частота усиления по току в схеме с общей базой.

$$C_a = \frac{1}{R(M\alpha_0 - 1)\omega_a} \quad (19)$$

Итак для расчета  $C_m$  и  $C_a$  необходимо располагать значениями  $M$  и  $R$ . Эти значения находятся соответственно из выражений (7) и (12) в процессе расчета активной составляющей импеданса.

#### 4. Экспериментальная проверка теоретических расчетов

Среди отечественных типов транзисторов в качестве лавинных наиболее хорошо работают диффузионно-сплавные транзисторы П401—П403, П414—П415, П416—П416Б, П420—П423 и др. Указанные типы транзисторов имеют близкие параметры в лавинной области. Для проверки сделанного выше анализа были использованы транзисторы типа П416Б. Типовые параметры следующие:  $U_m = 50$  в,  $n = 3$ ,  $\varphi_t = 0,025$  в,  $\alpha_0 = 0,98$ ,  $I_{k0} = 1$  мкА,  $I_{s0} = 0,1$  мкА,  $C_c = 8$  пФ при  $U' = 5$  в,  $f_{max} = 120$  мГц,  $r_e C_c = 500$ . Поскольку для этих транзисторов  $f_a$  не нормируется, то  $f_a$  расчитывалась по формуле [6]:

$$f_a = \frac{30r_e C_c f_{max}^2}{\alpha_0} \quad (20)$$

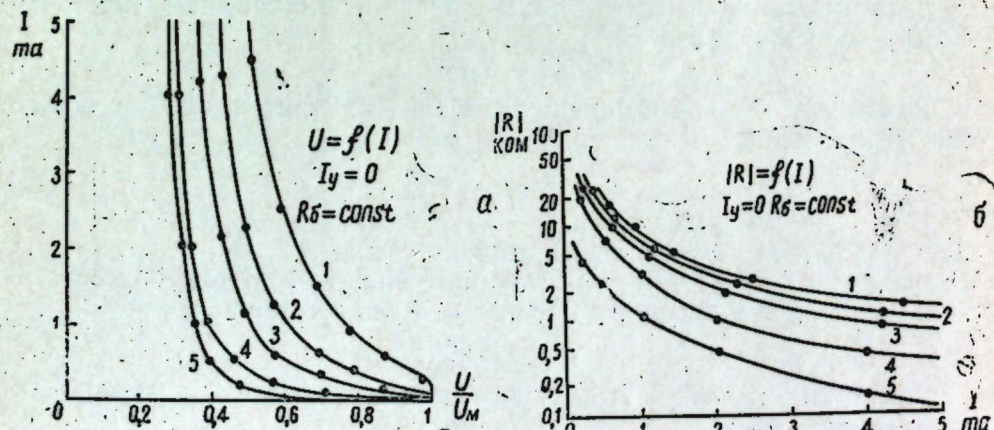


Рис. 2а — семейство вольтамперных характеристик транзистора П416Б в лавинной области при  $I_y=0$  и различных  $R_6=\text{const}$ , б — семейство зависимостей отрицательного дифференциального сопротивления от тока при различных  $R_6$ , номера кривых относятся к соответствующим значениям  $R_6$ : 1 —  $R_6=0,5$  ком; 4 —  $R_6=1$  ком; 3 —  $R_6=2$  ком; 4 —  $R_6=5$  ком; 5 —  $R_6=10$  ком

При указанных данных  $f_a = 224$  мГц. При расчетах емкости  $C_m$  учитывалось изменение емкости  $C_c$  с изменением напряжения на коллекторном переходе  $U$ . С этой целью подставляемые в (16) значения  $C_c$  перерасчитывались по известной формуле [6]:

$$C_c = C'_c \left( \frac{U'}{U} \right)^{\frac{1}{3}}, \quad (21)$$

где  $C'_c = 8$  пФ типовое значение емкости коллекторного перехода при напряжении на коллекторе  $U' = 5$  в;  $U$  — напряжение на коллекторе, определяемое из (5) при расчете в. а. х.

На рис. 2, а показано расчетное семейство в. а. х. лавинного транзистора П416Б для наиболее часто встречающегося случая  $I_y=0$  и при различных значениях  $R_6$ : 1.  $R_6=0,5$  ком, 2.  $R_6=1$  ком, 3.  $R_6=2$  ком, 4.  $R_6=5$  ком и 5.  $R_6=10$  ком.

Семейство кривых отрицательного сопротивления в функции от тока построено на рис. 2б при тех же условиях, что и для рис. 2 а. При расчетах использовались значения параметров транзистора при температуре  $+20^\circ\text{C}$ , которые указывались выше. Из рис. 2б видно, что лавинный транзистор может использоваться для получения отрицательных дифференциальных сопротивлений, изменяющихся в весьма широких пределах. Для экспериментальной проверки полученных выражений использовался метод компенсации отрицательной емкости  $C$  положительной образцовой емкостью  $C_0$ . Измерения проводились в схеме релаксационного генератора, описанного в [3]. В момент равенства  $C=C_0$  в схеме возникали незатухающие колебания. Результаты экспериментальных измерений емкости  $C$  даны на рис. 3. Отмечается хорошее совпадение данных расчета и эксперимента.

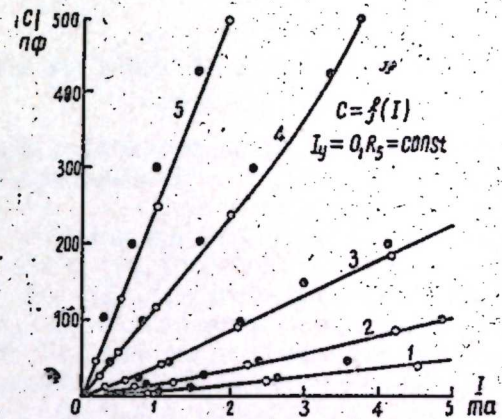


Рис. 3. Зависимость модуля полной отрицательной емкости  $C$  от тока при различных  $R_6$ : 1 —  $R_6=0,5$  ком; 2 —  $R_6=1$  ком; 3 —  $R_6=2$  ком; 4 —  $R_6=5$  ком; 5 —  $R_6=10$  ком  
Черными кружками показаны точки экспериментальных измерений  $C$ .

Черными кружками показаны точки экспериментальных измерений  $C$ . Отмечается хорошее совпадение данных расчета и эксперимента.

#### ЛИТЕРАТУРА

- Дьяконов В. П. Вольтамперная характеристика транзистора в лавинном режиме. Радиотехника и электроника, т. XIII, № 5, стр. 941—944, 1968. 2. Jack S. T. Huang Study of Transistor Switching Circuit Stability in the avalanche Region. JEEE Journal of solid-state circuits, vol. sc-2, № 1, march, 1967 p. p. 10—21. 3. Пикуль В. Г., Шац С. Я. Релаксатор на лавинном транзисторе с заземленным эмиттером и базой. «Радиотехника», № 11, стр. 57—61, 1963. 4. Clot J. Urgell J. Nouvelles formes de commutateur bistable utilisant l'effet d'avalanche sur un transistor. Compos. electron. Piece detachee. 1965, N 68, p. 3—7. 5. Hamilton D. J., Gibbons J. F., Shockley W., Physical principles of avalanche transistor pulse circuits, Proc. JRE, 1959, v. 47, № 6, p. 1102—1108. 6. Спирidonов Н. С., Верноградов В. И. Дрейфовые транзисторы. Изд-во «Сов. радио», 1964.

Поступило 5. III 1969

## ХУЛАСЭ

Транзисторун коллектор кечидинде јүкдашычыларын зэрбэли ионлашмасы эффекти бир сыра электрон схемләринде фајдалы тэтбиг едилмишdir. Мәгаләдә транзисторун зэрбэли ионлашма мөвчуд олдуу шәрайтдә импедансы верилмишdir. Импеданс ашағыдакы топланалардан: мәнфи мүгавимәт вә мәнфи тутумдан ибарәтдир. Бу топланаларын транзисторун ишчи чәрәjanындан аналитик функционал асылыглары мүәjjән едилмишdir. Бундан башга, мәнфи мүгавимәт саңесиндән етру транзисторун еквиалент схемләри верилмишdir.

Тәчрүбى гијмәтләр нәээри несабламаларла мугаисә олунмушдур.

Шамхал МАМЕДОВ, Э. Ш. МАМЕДОВ, А. Б. АГАРОНОВ,  
Д. А. РАДЖАБОВА

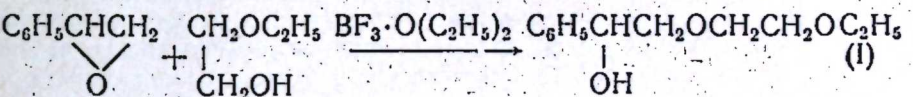
## ИССЛЕДОВАНИЕ В ОБЛАСТИ ЭФИРОВ ГЛИКОЛЕЙ

## Синтез и исследование простых и сложных эфиров 1-фенил-2(β-этокси)этоксиэтанола-1,

Ранее было показано, что при действии алифатических спиртов на окись стирола в присутствии эфирата фтористого бора легко получаютсяmonoэфиры фенилэтиленгликоля [1]. При исследовании на биологическую активность оказалось, что они обладают ярко выраженным инсектицидными свойствами. Так, например, 1-фенил-2-этоксиэтанол-1, известный под названием эфиран-439, в 0,25%-ной концентрации по действующему началу вызывает гибель кровяной тли на яблоне на 97%, а слиновой—96% [2].

В наших дальнейших исследованиях было интересным заменить эфирную группу в monoэфирах фенилэтиленгликоля на более сложную группу и изучить полученное соединение как с химической точки зрения, так и с биологической.

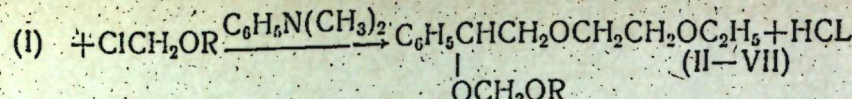
Для этой цели мы изучили реакцию присоединения этилового эфира этиленгликоля (этилцеллозольва) к окиси стирола в присутствии эфирата фтористого бора, которая протекает по следующей схеме:



При снятии ИК-спектров\* соединения (I) был обнаружен максимум с частотой 3600 см<sup>-1</sup>, что соответствует вторичному положению гидроксильной группы (см. рисунок).

Наличие гидроксильной группы в соединении (I) позволило провести с ней ряд химических превращений. Так, действием α-хлорметилалкиловых эфиров на monoэфир (I) в присутствии диметиланилина в условиях „щелочного“ метода синтеза эфиров [3] и при слабом нагревании получаются аллоксиметиловые эфиры 1-фенил-2(β-этокси)этоксиэтанола-1.

\* Спектры сняты в лаборатории Ф. Мамедова, за что выражаем сотрудникам большую благодарность.



$\text{R} = \text{CH}_3$ (II),  $\text{C}_2\text{H}_5$ (III),  $\text{n-C}_3\text{H}_7$ (IV),  $\text{n-C}_4\text{H}_9$ (V), изо- $\text{C}_4\text{H}_9$ (VI),  
 $\text{n-C}_5\text{H}_{11}$ (VII)

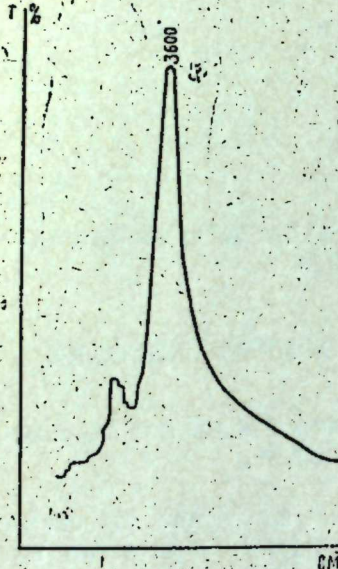


Рис. 1.

## ЭКСПЕРИМЕНТАЛЬНАЯ ЧАСТЬ

1-фенил-2-( $\beta$ -этокси) этоксиэтанол-1 (I). В колбу Эрленмейера приливается 70 г (0,77 гм) этилцеллозольва и 2 капли  $\text{BF}_3 \cdot \text{O}(\text{C}_2\text{H}_5)_2$ . При охлаждении колбы ледяной водой в нее по порциям добавляется 21 г (0,17 гм) окись стирола в течение 1 ч. По мере добавления окиси содержимое колбы все время перемешивают, берут 0,1—0,2 г КОН для нейтрализации катализатора и отгоняют избыток этилцеллозольва. Вакуумной разгонкой получают 22 г эфира (I).

Метоксиметиловый эфир 1-фенил-2-( $\beta$ -этокси) этоксиэтанола-1 (II). В реакционную колбу помещается 10 г (0,05 гм) моноэфира (I), 13 г (0,11 гм) диметиланилина и 50 мл эфира. Смесь при перемешивании охлаждается водяной баней до 10°C, после чего по каплям добавляется 8 г (0,1 гм)  $\alpha$ -хлордиметилового эфира. По окончании прибавления температуру реакционной смеси поднимают до 40°C и перемешивают 4 ч. Обрабатывают водой и делают эфирную вытяжку, которую затем последовательно промывают 5%-ным раствором  $\text{H}_2\text{SO}_4$ , 10%-ным  $\text{Na}_2\text{CO}_3$  и водой. Сушат над  $\text{Na}_2\text{SO}_4$ . После отгонки растворителя вакуумной разгонкой выделяют 5 г эфира (II). Аналогично получен ряд аллоксиметиловых эфиров (III—VII), константы которых приведены в таблице.

Ацетат 1-фенил-2-( $\beta$ -этокси) этоксиэтанола-1 (VIII). В реакционную колбу, снабженную ловушкой Дина—Старка, прибавляется 10 г (0,05 гм) моноэфира (I), 12 г (0,2 гм) уксусной кислоты и 100 мл бензола. Содержимое колбы перемешивается и температуру поднимают до 80—85°C, после чего добавляется 1—2 капли концентрированной  $\text{H}_2\text{SO}_4$ . После 5—6-часового перемешивания и выделения

## Свойства полученных соединений $\text{C}_6\text{H}_5\text{CHCH}_2\text{OCH}_2\text{CH}_2\text{OC}_2\text{H}_5$

OR

№ пп	R	Т. кип. (P, мм)	$n_{D}^{20}$	$d_4^{20}$	MR <sub>D</sub>		Найдено, % C H		Вычисле- но, % C H		Вы- ход, %
					найд.	выч.	C	H	C	H	
I	H	130—131 (2)	1,5010	1,0525	58,78	59,36	69,02	8,78	68,57	8,57	62
II	$\text{CH}_2\text{OCH}_3$	135—135 (3)	1,4850	1,0335	70,33	70,36	66,51	8,76	66,14	8,66	40
III	$\text{CH}_2\text{OC}_2\text{H}_5$	141—143 (3)	1,4790	1,0101	75,22	75,00	67,38	8,77	67,16	8,95	36
IV	$\text{CH}_2\text{OC}_3\text{H}_7$ (н)	157—157 (3)	1,4760	1,0036	79,54	79,57	68,39	9,49	68,08	9,22	30
V	$\text{CH}_2\text{OC}_4\text{H}_9$ (н)	160—161 (2)	1,4758	0,9892	83,92	84,29	68,74	9,40	68,92	9,64	60
VI	$\text{CH}_2\text{OC}_4\text{H}_9$ изо-	151—154 (3)	1,4730	0,9858	84,22	84,29	68,89	9,55	68,92	9,46	50
VII	$\text{CH}_2\text{OC}_5\text{H}_{11}$ (н)	170—170 (4)	1,4748	0,9813	88,89	88,84	70,25	9,57	69,90	9,38	32
VIII	$\text{CH}_3\text{CO}$	157—157 (8)	1,4849	1,0743	68,51	67,52	66,83	7,94	66,67	7,93	60
IX	$\text{CH}_3\text{CH}_2\text{CO}$	140—141 (5)	1,4832	1,0407	73,02	73,24	67,85	8,44	67,67	8,27	53
X	$\text{CH}_3(\text{CH}_2)_2\text{CO}$	150—151 (4)	1,4828	1,0306	77,57	77,99	68,35	8,69	68,57	8,57	40
XI	$\text{C}_4\text{H}_9\text{CO}$	161—163 (4)	1,4820	1,0015	83,69	82,80	69,51	8,94	69,39	8,84	61

необходимого количества реакционной воды в ловушке смесь обрабатывается водой и из водного слоя делается бензольная вытяжка. После сушки над  $\text{Na}_2\text{SO}_4$  и отгонки растворителя вакуумной разгонкой получают 8 г эфира (VIII).

Аналогично получены еще три сложных эфира (IX—XI), константы которых приведены в таблице.

## Выводы

1. Показано, что окись стирола в присутствии эфирата фтористого бора вступает в реакцию с этилцеллозольвом и образует моноэфир фенилэтиленгликоля с хорошим выходом.

2. Найдено, что в условиях „щелочного“ метода синтеза эфиров легко получаются ранее не описанные в литературе метокси-, этокси-, и-пропокси-, н-бутокси-, изо-бутокси-, н-пентоксиметиловые эфиры 1-фенил-2-( $\beta$ -этокси) этоксиэтанола-1.

3. Показано, что действием карбоновых кислот на 1-фенил-2-( $\beta$ -этокси) этоксиэтанол-1 в присутствии  $\text{H}_2\text{SO}_4$  получаются ацетат, пропионат, бутират, валерианата 1-фенил-2-( $\beta$ -этокси) этоксиэтанола-1, ранее не описанные в литературе.

## ЛИТЕРАТУРА

1. Мамедов Шамхал, Мамедов Э. Ш., Гаджизаде Ф. С. ЖХХ, 34, 2177. 1964.
2. Мамедов Шамхал, Мамедов Э. Ш., Аванесян М. А., Осипов О. Б., Гришина Е. Н. Авт. свид. СССР, № 162 000; бюлл. изобр., № 8, 1964.
3. Мамедов Шамхал. Изв. А зФАН СССР\*, № 4, 145, 1942.

Поступило 15. VII 1968

ХИМИЯ

М. А. АШИМОВ, М. А. МУРСАЛОВА, С. Е. КАНЗАВЕЛИ,  
С. А. БАБАЕВА

АЛКИЛИРОВАНИЕ БЕНЗОЛА ШИРОКОЙ ФРАКЦИЕЙ  
 $\alpha$ -ОЛЕФИНОВ (30–250°C) ПРОДУКТА КРЕКИНГА НОРМАЛЬНЫХ  
ПАРАФИНОВ ТРАНСФОРМАТОРНОГО МАСЛА

(Представлено академиком АН Азербайджанской ССР М. Ф. Нагиевым)

Быстро развивающееся промышленное производство и применение поверхностно-активных веществ привело к значительному загрязнению сточных вод и водоемов трудно разлагаемыми веществами [1].

Сравнительно быстрое разложение алкилбензолсульфонатов с нормальной боковой цепочкой, их лучшие моющие свойства связывает решение этой проблемы с использованием для алкилирования бензола олефинов с прямыми цепями и с двойной связью в  $\alpha$ -положении [2,3].

В связи с развитием в Азербайджане производства трансформаторного масла в виде побочного продукта карбамидной депарафинизации выделяется значительное количество мягких парафинов.

Синтез алкилбензолов в качестве сырья для получения биологически разлагаемого поверхностно-активного вещества азолята-А-2 на основе продуктов крекинга мягких парафинов, содержащих преимущественно нормальные  $\alpha$ -олефины, является предметом настоящего исследования.

Мягкий парафин с температурой плавления 19,5°C, выделенный из трансформаторного масла карбамидной депарафинизацией, был подвергнут крекингу в восходящем потоке теплоносителя [4].

Исходным сырьем для синтеза алкилбензолов послужила фракция крекинг-дистиллята, выкипающая до 250°C и содержащая непредельные углеводороды с 5–14 углеродными атомами.

Последняя выделялась из продуктов крекинга с выходом 30–35% на парафины и имела следующие физико-химические свойства: углеводородный состав, молекулярный вес—121,  $d_4^{20}$ —0,7686,  $n_D^{20}$ —1,4410, ароматических 15,7%, непредельных—70%, нафтенов и парафинов—14,3%.

Выбор исходного сырья с широким фракционным составом обоснован стремлением вовлечь амилены-гептилены в реакцию образования диалкилбензолов.

Последнее обусловлено тем, что синергетические смеси высокомолекулярныхmonoалкилбензолсульфонатов с диалкилбензолсульфо-

натами обладают высокой поверхностной активностью и моющим эффектом, превышающим таковые для отдельных компонентов [5,6].

Содержание олефинов в исходной фракции составляло 60–75%. Структурно-групповой состав непредельных углеводородов был определен методом инфракрасной спектрометрии на приборе ИКС-14.

Установлено, что непредельные углеводороды фракций крекинг-дистиллята состоят преимущественно из нормальных структур с двойной связью в  $\alpha$ -положении.

Количество  $\alpha$ -олефинов во фракциях, выкипающих до 140°C, достигает 90%, в более высококипящих фракциях оно несколько ниже.

Алкилирование бензола исходной фракцией крекинг дистиллята проводилось над дымящим  $AlCl_3$ , взятым в количестве 0,1 моля на 1 моль олефинов при температуре 25°C и продолжительности контакта 90 мин. Промотором реакции служила вода из расчета 0,3 моля на 1 моль  $AlCl_3$ .

При выборе оптимального соотношения олефинов и бензола исследовалась реакция алкилирования при эквимолекулярных соотношениях реагирующих компонентов, а также при избытке олефинов над бензолом в 0,1; 0,2; 0,3 и 0,4 моля. Большое значение имеет выбор температур выкипания целевых алкилбензолов, отражающейся на качестве синтезированных на их основе поверхностно-активных веществ и на рентабельности процесса в целом.

Максимальное использование исходных олефинов предопределяет пределы выкипания фракции алкилбензолов, включающей амильтетрадицилбензолы —185,—360°C.

В целях обоснованного выбора целевой фракции алкилбензолов синтезированный алкилат разгонялся на следующие фракции: до 185°C, 185–200, 200–340, 340–360°C и остаток.

Выходы отдельных фракций алкилата в расчете на исходные олефины приведены в табл. 1.

Таблица 1  
Выходы отдельных фракций алкилата при различных молярных соотношениях реагирующих компонентов

Молярное соотношение олефины: бензол	Температура выкипания фракций, °C				
	185–200	200–340	340–360	Остаток	185-КК
Выход, % от олефинов					
1:1	5,3	77,4	21,2	30,2	131,3
1,1:1	3,9	87,2	21,5	31,0	144,2
1,2:1	3,5	91,3	21,7	31,5	148,4
1,3:1	2,8	87,2	19,7	36,0	145,4
1,4:1	2,6	83,1	19,0	33,0	143,0

Из приведенных данных следует, что выход продуктов алкилирования (фракции 185-КК) равен 134–148% на олефины. Выход основной фракции 200–340°C при различных соотношениях реагирующих компонентов составляет 77–91%, фракции 340–360°C—19–22%, фракции 185–200°C—2,5–5% и остатка 30–38%.

С увеличением количества олефинов в реакционной смеси от 1 до 1,2 моля на 1 моль бензола выход фракции 200–340°C и 340–360°C возрастает, при дальнейшем увеличении количества олефинов выход этих фракций уменьшается.

При этом вследствие интенсификации побочных реакций и образования различных полиалкилзамещенных бензола выход остатка повышается.

На основании проведенных экспериментов оптимальным молярным соотношением олефинов и бензола следует считать 1:1.

Учитывая незначительный выход фракции 185—200°C и невысокую ценность для синтеза поверхностно-активных веществ амилбензолов, последние не были использованы в составе целевой фракции алкилбензолов.

При выбранных оптимальных соотношениях реагирующих компонентов выход фракции 340—360°C составляет 21—22% на олефины. В ее состав входят в основном алкилбензолы с 14—15 углеродными атомами в боковых цепях. Поверхностно-активные вещества, синтезированные на их основе, обладают высоким моющим эффектом, а также являются ценным компонентом в синергетических смесях.

Исходя из этого, в качестве целевых алкилбензолов нами выбрана фракция, выкипающая в пределах 200—360°C. Результаты исследования влияния количества  $\text{AlCl}_3$  на выход целевой фракции алкилбензолов представлены в табл. 2.

Таблица 2

Влияние количества катализатора  $\text{AlCl}_3$  на выход целевой фракции алкилбензолов 200—360°C

Условия опытов				Взято, г		Получено, %				Выход целевой фракции 200—360°C, % от олефинов			
Молярное соотношение		Температура реакции, °C	Продолжительность контакта, мин	Бензол	Фракция до 30—250°C	Вода	Фракция до 200°C	Фракция 200—360°C	Остаток	Потери	На олефины		
Олефины	Бензол												
Олефина	Вода												
1:1	1:0,1	0,3:1	25	90	19,3	50	3,3	0,1	22,7	53,8	19,3	4,2	98,6
1:1	1:0,2	0,3:1	25	90	19,3	50	6,6	0,2	22,2	57,0	17,0	3,8	93,0
1:1:1	1:0,1	0,3:1	25	90	17,5	50	3,3	0,1	17,0	60,7	19,2	3,1	108,7
1:1:1	1:0,2	0,3:1	25	90	17,5	50	6,6	0,2	17,0	62,1	18,3	2,7	103,4
1:2:1	1:0,1	0,3:1	25	90	16,1	50	3,3	0,1	16,0	62,6	18,9	2,5	113,0
1:2:1	2:0,2	0,3:1	25	90	16,1	50	6,6	0,2	11,5	68,2	18,8	1,5	111,0
1:3:1	1:0,1	0,3:1	25	90	14,9	50	3,3	0,1	15,3	61,1	20,6	3,0	106,9
1:3:1	1:0,2	0,3:1	25	60	14,9	50	6,6	0,2	12,6	64,2	21,3	1,9	101,8
1:4:1	1:0,1	0,3:1	25	90	13,8	50	3,3	0,1	14,6	27,4	22,7	5,4	102,1
1:4:1	1:0,2	0,3:1	25	90	13,8	50	6,6	0,2	12,5	60,6	22,4	4,5	92,1

При молярном соотношении олефинов и  $\text{AlCl}_3$  1:0,1 выход фракции 200—360°C равен 111% при 0,2 моля  $\text{AlCl}_3$ —113% на взятые олефины.

В случае использования большего количества катализатора потери углеводородов при образовании комплекса с  $\text{AlCl}_3$  увеличиваются.

Влияние температуры реакции исследовано в пределах 10—50°C, продолжительности контактирования реагентов—40—120 мин.

Установлено, что оптимальной температурой алкилирования является 25—30°C. При более низкой температуре часть олефинов остается невовлеченою в реакцию. При высоких температурах порядка 50°C в результате усиления побочных реакций значительно увеличен остаток.

С увеличением продолжительности контакта выход целевой фракции алкилбензолов возрастает, одновременно повышается количество остатка.

За оптимальную принимаем продолжительность контакта, 90 мин. После разгонки алкилата получены три фракции: целевая фракция алкилбензолов, начальная фракция алкилата и остаток. Целевая фракция алкилбензолов (200—360°C) содержит преимущественно ароматические углеводороды и является хорошим сырьем для синтеза на ее основе поверхностно-активных веществ. Начальная фракция (до 200°C), получаемая в количестве 16% на алкилат, может быть использована в качестве компонента бензинов.

Ароматическое основание остатка от алкилирования, выкипающего в пределах 360—550°C, позволяет использовать его для синтеза масляных присадок, деэмульгаторов, эмульгаторов и др.

## Выводы

1. Исследована реакция алкилирования бензола широкой фракцией (30—250°C) продуктов крекинга нормальных парафинов трансформаторного масла в присутствии  $\text{AlCl}_3$ .

2. Установлены оптимальные условия синтеза смесиmono-, ди- и триалкилбензолов (230—360°) сырья для получения биологически разлагаемых алкилбензольсульфонатов.

## ЛИТЕРАТУРА

- Smith R. Z. Chem. Prod. 1960, 23, 7, 313—315.
- Gaag E. Schweiz Arch Angew Wiss und techn., 1963, 29—5, 164—170.
- Pitter R. Chem. prumysl, 1963, 13, 6, 284—287.
- Алиев В. С. Тенев Д. Н., Штейншнейдер М. М. III Всесоюзный совещ. по синтетическим жирозаменителям, поверхностно-активным веществам и моющим средствам, 1965.
- Ашимов М. А., Мурсалова М. А., Мироненко В. Ф. "Азерб. хим. журнал", 1964, № 4.
- Ашимов М. А., Мурсалова М. А. и др. "Азерб. хим. журн.", 1964, № 2.

Поступило 24, I 1968

ИНХП

ХИМИЯ

В. О. РАПОПОРТ, В. Р. ГУРЕВИЧ, И. А. ГРИШКАН, Х. Г. ГАСАНОВА

ИССЛЕДОВАНИЕ РЕАКЦИИ ПОЛИМЕРИЗАЦИИ ЭТИЛВИНИЛОВОГО ЭФИРА МЕТОДОМ МНОГОФАКТОРНОГО ЭКСПЕРИМЕНТА

(Представлено академиком АН Азербайджанской ССР М. А. Далиным)

Процесс полимеризации алкилвиниловых эфиров широко изучен в ряде работ. В одних исследовалось влияние условий проведения реакции на свойства полимера [1–2], в других—область применения получаемых продуктов [3].

Однако результаты этих работ, выполненных на различных катализаторах и с разными мономерами, трудно сопоставимы между собой.

Целью нашей работы является изучение основных параметров, управляющих реакцией полимеризации этилвинилового эфира, их влияния на свойства и структуру полимеров.

Для сокращения объема экспериментальных работ и получения более точных оценок эффектов был применен метод многофакторного эксперимента.

Были выбраны следующие целевые функции: скорость реакции, молекулярный вес, непредельность, теплостойкость и кристалличность полимера.

В процессе полимеризации изучалось влияние температуры и времени реакции, концентраций мономера и катализатора, типа катализатора и типа растворителя на целевые функции.

Принятый дробный план  $2^{6-3}$  объемом в 16 опытов [4] позволил количественно определить эффекты каждой переменной и суммы двухфакторных взаимодействий. Результаты экспериментов показали, что в зависимости от параметров процесса получена широкая гамма полимеров, обладающих характеристической вязкостью от 0,72 до 2,0; точкой каплепадения от 90 до 160°C; от 1 до 3% непредельности и от 0 до 8,0% кристалличности.

Оценки факторных эффектов по дробному плану (таблица) показали, что на скорость реакции больше всего влияет концентрация катализатора, время полимеризации и тип катализатора. При увеличении времени реакции от 30 до 120 мин конверсия мономера увеличивается на 12,6%.

Характеристическая вязкость также зависит от времени протекания реакции; существенно оказывается и влияние концентраций моно-

	Наименование факторов	Уровни	Обозначения эффектов	Целевые функции				
				конверсия мономера, %	характеристическая вязкость	точка каплепадения, °C	непредельность	% перастированных групп в метилэтилкетоне
Главные эффекты	Температура реакции	+20°C	A	-6,4	0,078	3,2	0,00074	-1,00
	Время	-0°C	B	12,6	0,668	8,8	0,00168	0,20
	+120 мин	+30 мин	C	5,4	0,082	-11,2	0,00072	-1,74
	Концентрация катализатора	+2,0 г/л	D	-2,0	0,128	14,4	-0,01158	0,04
	-0,2 г/л	+100 об. %	E	-1,4	0,056	1,0	0,00212	1,08
	Концентрация мономера	-10 об. %	F	7,6	0,124	-13,8	0,00132	-0,14
	Тип растворителя	+бензол	BD+CE	-4,0	0,278	4,2	0,00314	-1,18
	-гептан	AD+EF	4,0	0,328	11,2	-0,00536	0,42	
	+эфират	AE+DF	3,0	-0,092	6,8	-0,01296	-1,92	
	-комплекс	AB+CE	0,4	-0,082	13,6	-0,00644	-0,66	
	Двухфакторные взаимодействия	AC+BF	-1,6	-0,182	-6,4	0,00824	1,80	
		CD+BE	7,2	0,030	3,8	-0,0050	0,04	

мера. Концентрация катализатора на молекулярный вес полимера не влияет.

Температура каплепадения, характеризующая теплостойкость полимера, зависит прежде всего от концентрации мономера и оказывается более низкой, если реакция проводится в присутствии эфирата комплекса.

Кроме перечисленных факторов, на скорость реакции, структуру и молекулярный вес полимера влияют так называемые взаимодействия—смешанное воздействие различных параметров. Существование взаимодействий свидетельствует о том, что исследованная область находится вблизи оптимума.

Взаимодействие между типом растворителя и типом катализатора может существовать, если растворитель экстрагирует из катализатора какие-то растворимые соединения, проводящие реакцию полимеризации.

ИК-спектральное исследование бензольных и гептановых вытяжек с катализаторами показало, что в раствор переходят неидентифицированные соединения с характеристическими полосами поглощения при 3100, 1800 и 1900  $\text{cm}^{-1}$ . Специальные опыты показали, что скорость реакции, катализируемой этими растворимыми соединениями, несопоставима со скоростью основной реакции полимеризации; следовательно, учитывать влияния взаимодействий (тип катализатора—тип растворителя), (концентрация катализатора—тип растворителя) (температура реакции—тип растворителя) не следует.

Полученные данные позволяют выявить основные "рычаги", регулирующие свойства полученных полимеров и сделать некоторые предположения, касающиеся механизма реакции.

Показано, что скорость реакции зависит от концентрации катализатора, а молекулярный вес—не зависит, что характерно для катализа ионными парами. Для этого случая характерно и то, что от

структуре противоиона (алюмосерной кислоты, либо эфирата алюмо серной кислоты) зависят активность и стереорегулирующие свойства катализатора.

## Выводы

- Показано, что реакция полимеризации этилвинилового эфира проводится недиссоциированными ионными парами.
- Оценено количественно влияние условий на скорость реакции, молекулярный вес, кристалличность и теплостойкость получаемых полимеров.

## ЛИТЕРАТУРА

- Okamoto S., T. Higashimura and T. Watanabe „Makromol. Chem.“, 50, 137, 1961.
- Loginder Lal, James E. Mc. Grath and G. S. Trick „P.J. Pol. Sci.“ A1, № 5, 795—811, 1967.
- Von Julian L. Azorlosa, „Adhesion“, № 12, 551—558, 1963.
- Налимов В. В., Чернова Н. А. Статистические методы планирования экстремальных экспериментов. М., 1965.

ВНИИолефин

Поступило 30. IV 1968

В. О. Рапорт, В. Р. Гуревич, И. А. Гришкан, Х. Г. Йесенова

### Етилвинил ефириниң полимерләшмәсінин чохфакторлу тәрүби метод илә тәддиги

#### ХУЛАСӘ

Етилвинил ефириниң алуминиумсулфат-сулфат туршусу вә ефират комплексләрендә полимерләшмәсі чохфакторлу тәрүби метод илә тәддиги едилмиш, мұхтәлиф хасселәрә малик олан полимер мәһсуларының кениш фраксијасы алынышдыры.

Ниссәли плана әсасән фактор еффектләри көстәрир ки, реаксија заманы диссоциација етмәмиш ион чүтләри катализатор ролуну оңайыр.

Параметрләрин, полимерләрин молекул чәкисинә, кристаллылығына вә истијә давамлылығына тә'сири мигдары мүәјжән едилмишdir.

АЗЭРБАЙЧАН ССР ЕЛМЛӘР АКАДЕМИЈАСЫНЫН МӘРҮЗӘЛӘРИ  
ДОКЛАДЫ АКАДЕМИИ НАУК АЗЕРБАЙДЖАНСКОЙ ССР

ТОМ XXV

№ 7

1969

ХИМИЯ

М. Р. МУСАЕВ, Э. Т. СУЛЕЙМАНОВА, Л. КАСУМОВ, М. И. МИРГАСАНОВА  
С. Д. МЕХТИЕВ

## О КОНДЕНСАЦИИ ИЗОПРЕНА И ПИПЕРИЛЕНА С ОКИСЬЮ МЕЗИТИЛА

Как известно, алкадиены с сопряженной двойной связью в молекуле способны взаимодействовать с различными непредельными соединениями, в том числе с непредельными кетонами, с образованием разнообразных аддуктов, находящих самостоятельное применение или представляющих интерес как ценные промежуточные соединения органического синтеза [1—5].

Одной из малоизученных и интересных реакций указанного типа является реакция взаимодействия изопрена и пиперилина с окисью мезитила, описываемая в настоящей статье.

#### ЭКСПЕРИМЕНТАЛЬНАЯ ЧАСТЬ

В качестве исходных веществ использованы изопрен 98—99%-ной степени чистоты, с темп. кип. 33,5—34°C,  $n_D^{20} = 1,4220$ ,  $d_4^{20} = 0,6805$ , пипериленовая фракция, выделенная из кубового остатка ректификации дивинила, с темп. кип. 39—45°C,  $n_D^{20} = 1,4240$ ,  $d_4^{20} = 0,6830$ , содержащая до 80% смеси цис- и транс-пиперилена, и окись мезитила марки х. ч. с темп. кип. 128—130°C,  $n_D^{20} = 1,4430$ ,  $d_4^{20} = 0,8647$ ,  $MR_D = 30,04$ .

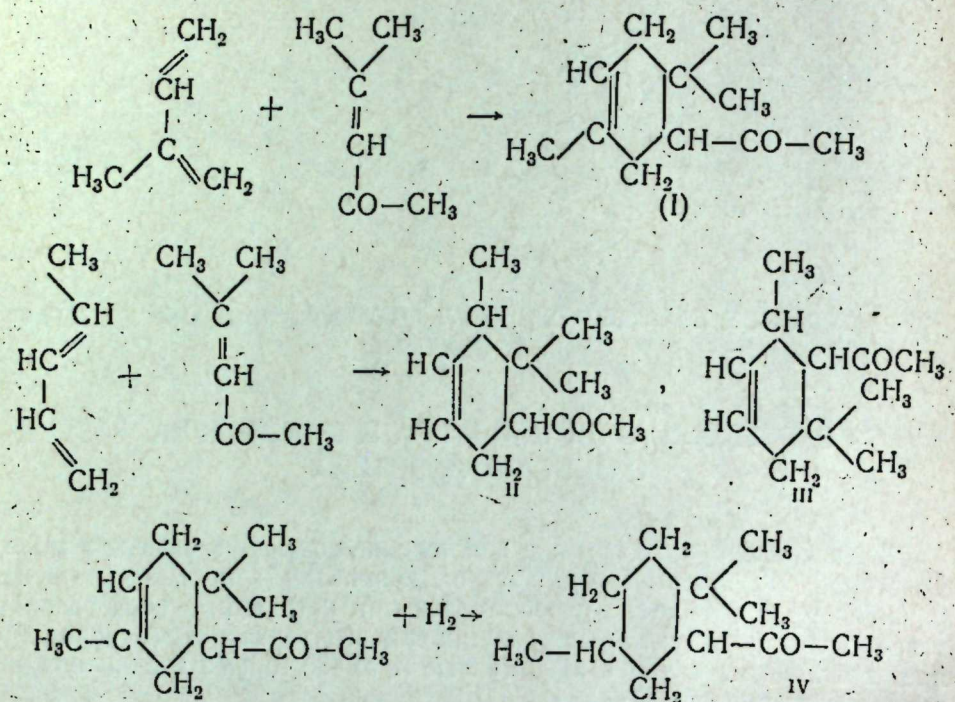
Реакция конденсации изопрена и пиперилена с окисью мезитила проводилась нагреванием взаимодействующих веществ в стальной ампуле при молярном соотношении реагирующих компонентов 1:1, температуре 200°C в течение 6 ч с добавкой гидрохинона.

Продукты реакций по окончании опытов подвергались разгонке с последующим определением физико-химических констант компонентов.

Проведенные эксперименты показали, что оба взятых в реакцию диена (изопрен и пиперилен) реагируют с окисью мезитила с образованием аддуктов с выходами порядка 10%.

С помощью газожидкостной хроматографии и спектроскопического анализа, а также гидрированием аддуктов в насыщенные кетоны с последующей идентификацией их доказано, что в описанных выше условиях проведения эксперимента изопрен взаимодействует с окисью мезитила с образованием 4,6,6-триметилацетилциклогексена-3 (1); транс-

пиперилен образует с окисью мезитила смесь изомеров 2,6,6-триметилацетилциклогексена-3 (II) и 5,6,6-триметилацетилциклогексена-3 (III) в соотношении 65 и 35%, соответственно:



Гидрирование аддукта, полученного взаимодействием изопрена с окисью мезитила (I) осуществлялось в проточной системе над катализатором никель на кизельгуре при температуре 100–120°C, объемной скорости 0,5  $\text{ч}^{-1}$  и привело к образованию 2,2,4-триметилацетилциклогексана (IV) (предварительным гидрированием окиси мезитила в метилизобутилкетон доказано, что при указанных условиях гидрирование протекает селективно по C=C-связи, не затрагивая карбонильной группы).

Физико-химические константы синтезированных продуктов приводятся в таблице.

#### Физико-химические константы синтезированных продуктов

Соединение	Темп. кип., °C	$d_4^{20}$	$n_D^{20}$	$MR_D$		Элементарный состав						
				найд.	выч.	С	Н	О	найд.	выч.	найд.	выч.
I	62–64/3 м.м.	0,9328	1,4750	50,0	50,4	78,5	79,5	11,1	10,8	10,4	9,7	
II+III	68–70/3 м.м.	0,9259	1,4740	50,3	50,4	79,6	79,5	11,5	10,8	9,2	9,7	
IV	74–75/19 м.м.	0,8392	1,4515	53,0	51,5	—	—	—	—	—	—	

Полученные продукты спектрофотометрировались на спектрофотометре UR-10 с призмой NaCl и LiF. Спектрограммы их приводятся на рис. 1.

Корреляция частот, представленных на спектrogramme I (рис. 1 а) показывает наличие в молекуле двойной связи ( $1620 \text{ см}^{-1}$ ) и карбонильной группы ( $1715 \text{ см}^{-1}$ ).

На спектrogramme IV (рис. 1 б) видна полоса, характерная для карбонильной группы ( $1715 \text{ см}^{-1}$ ); аналитическая полоса двойной связи в продукте гидрирования пропадает.

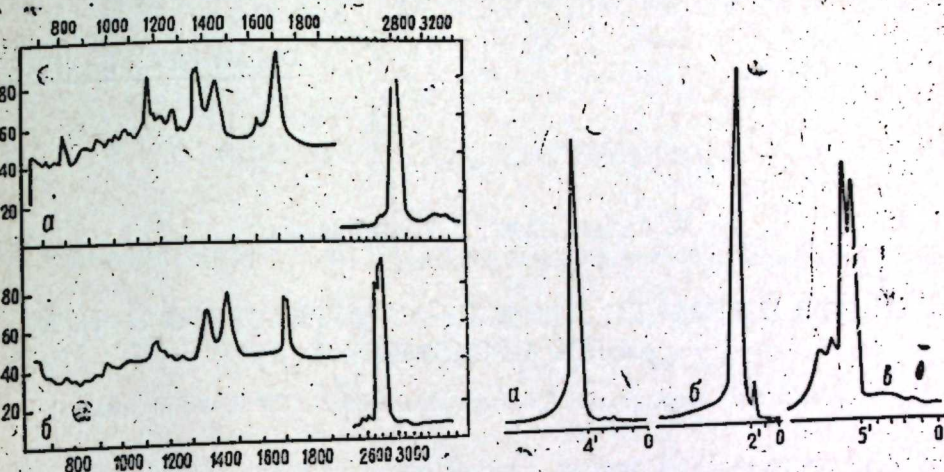


Рис. 1. ИК-спектры продукта конденсации изопрена с окисью мезитила (а—до гидрирования, б—после гидрирования).

Рис. 2. Хроматограммы продуктов конденсации изопрена с окисью мезитила (а—до гидрирования, б—после гидрирования) и пиперилена с окисью мезитила (в).

Газожидкостной хроматографический анализ продуктов реакции проводился на колонке длиною 3 м, диаметром 6 мм с использованием в качестве неподвижной фазы силиконового масла, при температуре 180°C с применением в качестве газоносителя азота со скоростью 38 мл/мин.

Полученные хроматограммы приводятся на рис. 2.

#### Выводы

1. Исследована реакция конденсации изопрена и пиперилена с окисью мезитила.

2. Установлено, что взаимодействие изопрена с окисью мезитила приводит к образованию 4,6,6-триметилацетилциклогексена-3.

Пиперилен взаимодействует с окисью мезитила с образованием смеси изомеров—2,6,6-триметилацетилциклогексена-3 и 5,6,6-триметилацетилциклогексена-3 в соотношении 65 и 35%.

#### ЛИТЕРАТУРА

1. Онищенко А. С. „Дисловый синтез“. Изд. АН СССР, 1953.
2. Петров А. А. ЖХХ, 11, 309, 1941.
3. Платэ А. Ф. Миревич Г. А. Изв. АН СССР, ОХН, 219, 1947.
4. Gault H., Labal L. Bull. Soc. Chim. France, 1097, 1952.
5. Waugh W. R., Pegg R. J. Am. Chem. Soc., 74, 5355, 1952.

Поступило 3. IV 1969

ОРГАНИЧЕСКАЯ ХИМИЯ

С. САДЫХ-ЗАДЕ, Л. Г. МАМЕДОВА

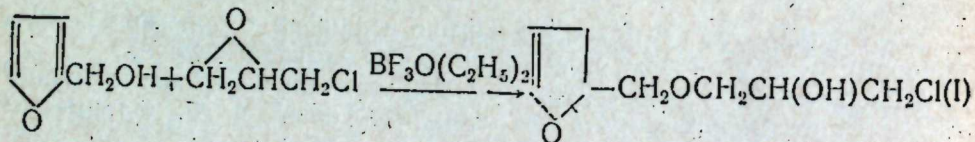
СИНТЕЗ И РЕАКЦИИ ГЛИЦИД  $\alpha$ -ФУРФУРИЛОВОГО ЭФИРА  
И ЕГО ПРОИЗВОДНЫЕ

(Представлено академиком АН Азербайджанской ССР А. М. Кулиевым)

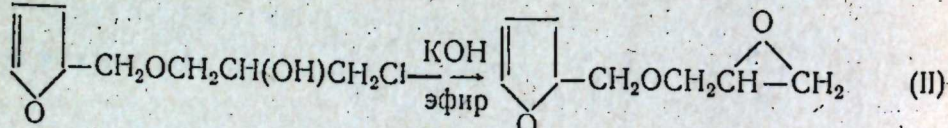
В литературе [1,2] описан способ получения термостойких и термореактивных смол путём конденсации фурфурилового спирта с эпихлоргидрином в присутствии фосфорной и хлористоводородной кислот. Автором указанных работ не удалось выделить из продуктов реакции и идентифицировать продукт 1-хлор-3- $\alpha$ -фурфурилоксипропанол-2 [1].

Представляется интересным изучить возможность синтеза [1] с последующим дегидрохлорированием его в глицид- $\alpha$ -фурфуриловый эфир. Показанный эфир, безусловно, может служить ценным мономером для получения различных полимерных продуктов.

Исследования показали, что при взаимодействии фурфурилового спирта с эпихлоргидрином в присутствии серной или соляной кислот, как указано в патенте [1,2], образуется только смолообразный продукт. Нам удалось привести указанную реакцию в сторону образования продукта [1] только в случае применения в качестве катализатора эфирата трехфтористого бора при комнатной температуре и перемешивании реакционной смеси в течение 8–10 дней:

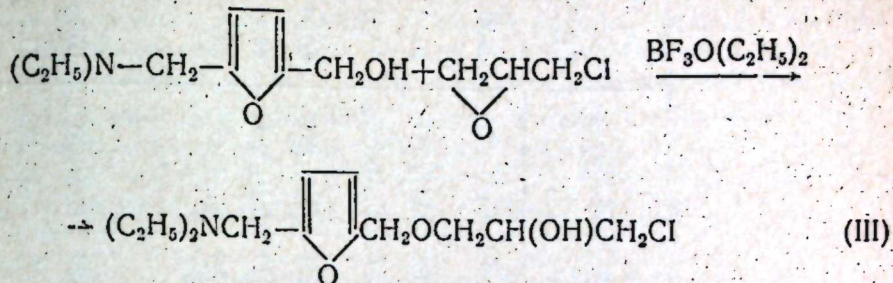


Действием едкого калия на полученный хлоргидрин (I) с 60%-ным выходом удалось получить глицид- $\alpha$ -фурфуриловый эфир (II):

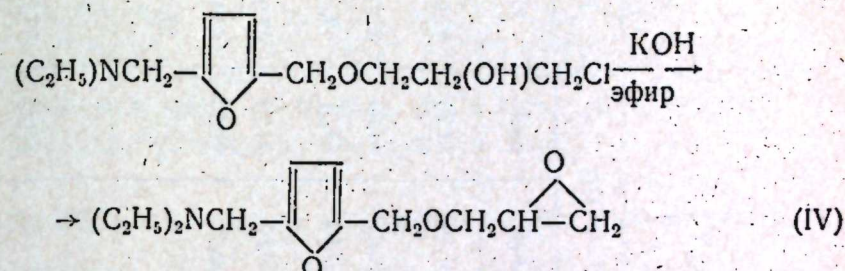


Показано, что замена атома водорода в фурфуриловом спирте, в положении 5, на диэтиламинометиленовую группу способствует увеличению его реакционноспособности в реакциях конденсации с эпихлоргидрином в найденных условиях.

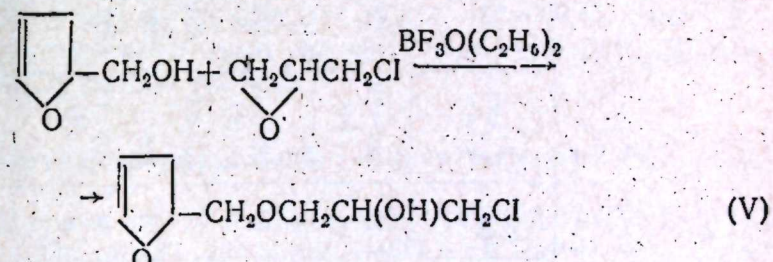
Так, при конденсации 5-N,N-диэтиламинометилфурфурилового спирта с эпихлоргидрином реакция завершается в течение 24 ч, а не за 8–10 дней, в случае конденсации фурфурилового спирта с эпихлоргидрином:



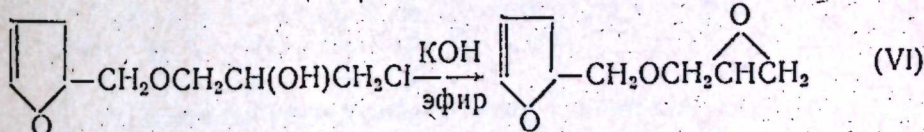
При дегидрохлорировании (III) образуются соответствующие окиси (IV)



Следует отметить, что тетрагидрофурфуриловый спирт в отличии от фурфурилового спирта мгновенно реагирует с эпихлоргидрином и приводит в основном к образованию (43%) 1-хлор-3- $\alpha$ -тетрагидрофурфурилоксипропанола-[2]



При дегидрохлорировании (V) с почти количественным выходом образуется соединение (VI):



Наличие окисного кольца в синтезированном соединении (II), (IV) доказано физическими и химическими методами. В ИК-спектрах вышеуказанных соединений найдены частоты 840, 1260  $\text{cm}^{-1}$ , характерные для эпоксидного кольца. При взаимодействии (II) со спиртами, аминами, кетонами [3] были получены соответствующие производные, свойства которых показаны в таблице.

## ЭКСПЕРИМЕНТАЛЬНАЯ ЧАСТЬ

### 1-хлор-3-*z*-фурфурилоксипропанола-2,(1)

Смесь 147 г (1,5 моля) фурфурилового спирта и 2-х капель эфира трехфтористого бора и 92,5 (1 моля) эпихлоргидрина переодически перемешивали в течение 10 дней при комнатной температуре до повышения величины  $n_D^{20}$  от 1,4710 до 1,4925. После отгонки невошедшего в реакцию фурфурилового спирта и эпихлоргидрина остаток (123) перегоняли под вакуумом. Выход 74 г (40%). Т. кип. 108–109° (1,5 мм),  $d_4^{20}$ —1,2362,  $n_D^{20}$ —1,4990.  $WR_D$ —45,28. Выч. 45,68. Найд. С—50,27; Н—5,80;  $C_8H_{11}ClO_3$ . Выч., %: С—50,40; Н—5,81.

### Фурфурилглицидный эфир (II)

К 40 г порошкообразного едкого калия и 100 мл эфира при перемешивании добавляли 53,6 г соединения (1). Содержимое колбы перемешивали 6 ч при кипячении эфира. После обычной обработки выделено 26,2 г (60%) соединения (II). Т. кип. 85,5–87°C (1,5 мм)  $d_4^{20}$ —1,1452,  $n_D^{20}$ —1,4861,  $MR$ —38,63. Выч. 38,74. Найд. %: С—62,61; 62,60, Н—6,46, 6,50  $C_8H_{10}O_3$ . Выч., %: С—62,32, Н—6,53.

### 5-(N,N)-диэтиламинометил -2-фурфурилглицидный эфир (IV)

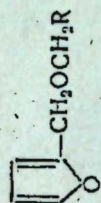
Смесь, состоящая из 31 г (0,15 моля) 5-N,N-диэтиламинометил-2-фурфурилового спирта, полученного по методике [4], 11,1 г (0,12 моля) эпихлоргидрина и 4 капли  $BF_3O(C_2H_5)_2$  перемешивали до повышения  $n_D^{20}$ —смеси от 1,4688 до 1,5150. К реакционной смеси добавили 28 г KOH в 150 мл влажного эфира и кипятили 6 ч. После обработки вакуумной разгонкой выделено 22,5 г. (IV). Выход 80% от теории. Т. кип. 112–113°C (1 мм).  $n_D^{20}$ —1,4730  $d_4^{20}$ —1,0088.  $MR$ —66,45; Выч. 65,80. Найд., %: С—64,80; 64,62 Н—9, 20; 9,12. N—6,24; 6,02,  $C_{12}H_{21}N_2O_3$ . Выч., % 6–65,27; Н—8,87; N—5,85.

### 1-(*a*)-тетрагидрофурфурилокси (-8-хлорпропанол-2 (V)

Смесь, состоящая из 125 г (1,2 моля) тетрагидрофурфурилового спирта, 83,25 г (0,9 моля) эпихлоргидрина, 5–6 капель  $BF_3O(C_2H_5)_2$  перемешивали в условиях синтеза 1 до повышения  $n_D^{20}$  от 1,4400 до 1,4780. Вакуумной разгонкой выделено 7,4 г соединения (V). Выход 43%. Т. кип. 95–97°C (1 мм),  $d_4^{20}$ —1,1817,  $n_D^{20}$ —1,4760.  $MR$ —4633; Выч. —46,62. Найд., % C—49,40; 49,58; Н—8,80; 7,88, Cl—18,32; 18,48,  $C_8H_5O_3Cl$ . Выч., % C—49,30, Н—7,69; Cl—18,20.

### Тетрагидрофурфуриловый эфир глицидола (VI)

Смесь, состоящую из 17,5 г (0,09 моля) тетрагидрофурфурилокси-3-хлорпропанола-2; 200 мл эфира и 9 г (0,16 моля) KOH перемешивали 3–4 ч после кипения эфира. Вакуумной разгонкой выделено 12 г (V). Выход 92%. Т. кип. 86–88°C (3 мм),  $n_D^{20}$ —1,4560,  $d_4^{20}$ —1,0787.  $MR$ —39,86. Выч. 39,67. Найд., %: С—60,56; 60,46; Н—9,06; 9,20.  $C_8H_{14}O_2$ . Выч., %: С—60,81; Н—8,86.



R	Выход, %	Т. кип. P, мм	$d_4^{20}$	$n_D^{20}$	MR			Найдено			Формула	Вычислено, %
					найд.	выч.	С	Н	/	/		
CH(OH)CH <sub>2</sub> OCH <sub>2</sub> H <sub>5</sub>	12	109–110 (2)	1,0952	1,4720	51,19	51,70	59,54	8,26	$C_{10}H_{10}O_4$	59,98	8,05	
CH(OH)CH <sub>2</sub> NH <sub>2</sub>	95	132(2)	1,1621	1,5040	43,62	44,25	35,74	7,82	$C_8H_{13}NO_3$	56,12	7,65	
CH(OH)CH <sub>2</sub> NHCH <sub>2</sub> CH=CH <sub>2</sub>	90	134–135 (2)	1,0795	1,4960	57,16	57,81	62,40	7,87	$C_{11}H_{17}NO_3$	62,53	8,11	
CH(OH)CH <sub>2</sub> N(CH <sub>2</sub> CH=CH <sub>2</sub> ) <sub>2</sub>	80	131,5(1)	1,0316	1,4930	70,79	71,73	67,38	8,64	$C_{14}H_{21}NO_3$	66,90	8,24	
CH(OH)CH <sub>2</sub> N(C <sub>2</sub> H <sub>5</sub> ) <sub>2</sub>	91	114,5(1)	1,0275	1,4780	62,61	63,23	63,13	9,29	$C_{12}H_{21}NO_3$	63,40	9,31	
—CH—CH <sub>2</sub>	31	125–137 (3)	1,0711	1,4680	58,70	58,85	63,75	7,80	$C_{13}H_{18}O_4$	63,69	8,01	
CH(OOCCH <sub>3</sub> )CH <sub>2</sub> N(CH <sub>2</sub> CH=CH <sub>2</sub> ) <sub>2</sub>	93	137(1)	1,0385	1,4810	80,35	80,90	66,03	8,23	$C_{16}H_{23}NO_4$	65,50	7,90	
CH(OCH <sub>2</sub> CH <sub>2</sub> CN)CH <sub>2</sub> N(C <sub>2</sub> H <sub>5</sub> ) <sub>2</sub>	73	157(2)	1,0313	1,4730	76,25	77,07	63,94	8,39	$C_{15}H_{24}NO_3$	64,20	8,59	

## Выводы

1. Найдены условия реакции конденсации- $\alpha$ -фурфурилового спирта с эпихлоргидрином в присутствии эфирата трехфтористого бора, приводящей к образованию 1-хлор-3- $\alpha$ -фурфурилоксипропанола-2, превращенного в глицид- $\alpha$ -фурфуриловый эфир.

2. Показано, что реакционная способность тетрагидрофурфурилового спирта в реакциях конденсации его с эпихлоргидрином значительно выше, нежели фурфурилового спирта.

## ЛИТЕРАТУРА

1. Герм. пат. 963556, 1957, С. А. 53, 20906, 1959. 2. Японск. пат. 10791, 1959; С. А. 54, 17970, 1960. 3. Малиновский М. С. Окиси олефинов и их производные; 130—290. Гостехиздат. 1961. 4. Верещагин Л. И., Кашкевич Р. И., Кошунов С. П. Хим. гетероц. соед., № 1, 12—13, 1967.

Сум. филиал ИНХП

Поступило 4. 1968

АЗЭРБАЙЧАН ССР ЕЛМЛЭР АКАДЕМИЯСЫНЫН МЭРҮЗЭЛЭРИ

ДОКЛАДЫ АКАДЕМИИ НАУК АЗЕРБАЙДЖАНСКОЙ ССР

том XXV

№ 7

1969

## ФИЗИЧЕСКАЯ ХИМИЯ

А. С. КАСУМОВА, К. М. ХАНМАМЕДОВ, А. М. АЛИЕВ

### ИССЛЕДОВАНИЕ ВЛИЯНИЯ ПРОПИТКИ РАСТВОРОМ ПЕНТАХЛОРФЕНОЛА НА ОСНОВНЫЕ ФИЗИКО-МЕХАНИЧЕСКИЕ СВОЙСТВА ДРЕВЕСИНЫ СОСНЫ

(Представлено академиком АН Азербайджанской ССР В. С. Алиевым)

Ценность древесины как строительного материала объясняется многими качествами: достаточно высокой прочностью, малой теплопроводностью, небольшим объемным весом, способностью легко подвергаться меланической обработке. Кроме того, стоимость древесины сравнительно невелика.

Перечисленные качества древесины являются предпосылкой широкого использования огромных лесных богатств нашей страны для нужд народного хозяйства.

Однако, несмотря на широкое применение древесины в строительстве, эффективность ее использования еще недостаточна. Наряду с перечисленными достоинствами древесина обладает и некоторыми недостатками, основным из которых является разрушение от действия гриба. Этот недостаток устраним посредством пропитки.

Влияние пропитки растворами ПХФ устанавливалось проведением параллельных исследований с соблюдением месторасположения в стволе дерева испытуемой натуральной и пропитанной древесины.

Нами исследовался ряд физических свойств натуральной древесины и древесины, пропитанной 1%-ным раствором пентахлорфенола в тяжелом нефтяном растворителе—влагопоглощение, водопоглощение, плотность, линейная и объемная усушка, а также ряд механических свойств—прочность древесины при сжатии вдоль волокон, при статическом изгибе.

Влагопоглощение древесины как натуральной, так и пропитанной определялось на образцах размером 30×30×10 мм согласно ГОСТу 11487-65.

Среднее значение влагопоглощения вычислялось по данным исследования 12 образцов.

Результаты исследования обрабатывались методом вариационной статистики. В табл. 1 приведены результаты влагопоглощения после 30 суток.

Из табл. 1 видно, что после пропитки влагопоглощение консервированной древесины в течение 30 суток уменьшается по сравнению с

натуральной древесиной на 42,6% при 1%-ном растворе ПХФ без разбавителя и на 36,5% в присутствии разбавителя.

Таблица 1

Влагопоглощение древесины сосны

Состояние древесины	<i>M</i>	<i>s</i>	<i>m</i>	<i>v</i>	<i>P</i>	Сравнит. влияние пропитки	Достоверность различия с натуральной
	%	%	%	%	%	%	$m_d = \frac{M_1 - M_2}{\sqrt{m_1^2 + m_2^2}}$
Пропитанная без применения разбавителя	9,08	0,96	0,28	10,58	3,09	57,4	$m_d = 18,1$
Натуральная	15,78	0,856	0,24	5,4	1,5	100	
Пропитанная в присутствии разбавителя	10,04	0,86	0,24	8,6	2,4	63,5	$m_d = 16,8$

Примечание. *M*—среднее арифметическое; *s*—среднее квадратичное отклонение; *v*—вариационный коэффициент; *m*—средняя ошибка среднего арифметического; *P*—показатель точности; *M<sub>1</sub>*; *m<sub>1</sub>*—данные натуральной древесины; *M<sub>2</sub>*; *m<sub>2</sub>*—сопоставимые одноименные величины.

На основании данных исследования строим кривые динамики влагопоглощения натуральной и пропитанной древесины (рис. 1).

Водопоглощение как натуральной, так и пропитанной древесины проводилось на образцах размером 30×30×10 мм соответственно ГОСТу 11488-65.

Таблица 2

Водопоглощение древесины сосны

Состояние древесины	<i>M</i>	<i>s</i>	<i>m</i>	<i>v</i>	<i>P</i>	Сравнит. влияние пропитки	Достоверность различия с натуральной
	%	%	%	%	%	%	
Пропит. без применения разбавителя	59,45	11,15	3,2	18,7	5	32,5	$m_d = 19,2$
Натуральная	183,88	16,76	5,58	9,1	3	100	
Пропит. в присутствии разбавителя	78,25	9,34	2,71	11,8	3,4	42,3	$m_d = 16,9$

В табл. 2 приводятся результаты водопоглощения на 60-е сутки, обработанные методом вариационной статистики.



Рис. 1.

где: 1—натуральная древесина;

2—пропитанная раствором ПХР в присутствии разбавителя;

3—пропитанная раствором ПХФ без разбавителя.

На основании данных исследований строим кривые динамики водопоглощения натуральной и пропитанной древесины сосны (рис. 2).

Из графика видно, что водопоглощающая способность пропитанной древесины значительно уменьшается по сравнению с натуральной.

Например, в течение 60 суток водопоглощение натуральной древесины сосны составляет 183,88%, а пропитанной в 1%-ном растворе ПХФ без разбавителя—59,45% (т. е. в 3,09 раза меньше), в присутствии разбавителя—78,25% (т. е. 2,3 раза меньше, чем натуральной).

Коэффициент объемной усушки. Образцы для определения усушки древесины как натуральной, так и пропитанной, изготавливались в виде призм размером 20×20×30 мм, причем соблюдалось условие, чтобы годовые слои на торцовых поверхностях были параллельны одной паре противоположных граней и перпендикулярны другой. Испытание велось соответственно ГОСТу 11490-65, при диапазоне влажности от 10 до 0%.

Результаты исследования обработаны методом вариационной статистики.

Таблица 3

Коэффициент объемной усушки древесины сосны

Состояние древесины	<i>M</i>	<i>s</i>	<i>m</i>	<i>v</i>	<i>P</i>	Сравнит. влияние пропитки	Достоверность различия с натуральной
	%	%	%	%	%	%	
Пропитанная без разбавителя	0,310	0,1530	0,0480	6,1	1,8	52,4	$m_d = 24$
Натуральная	0,605	0,039	0,0074	6,4	1,2	100	
Пропитанная в присутствии разбавителя	0,410	0,0379	0,0066	9,2	1,6	68,3	$m_d = 19$

Из табл. 3 видно, что пропитанная древесина обладает по сравнению с натуральной меньшей способностью изменять свои объемные размеры.

Причина этого явления, безусловно, связана с уменьшением гигроскопичности древесины, пропитанной маслянистыми нефтепродуктами.

Плотность. Определение велось на образцах размером 20×20×30 мм, соответственно ГОСТу 11491-65 в абсолютно сухом состоянии.

Результаты исследования обрабатывались методом вариационной статистики, что показано в табл. 4.

Таблица 4

Плотность древесины сосны

Состояние древесины	<i>M</i>	<i>s</i>	<i>m</i>	<i>v</i>	<i>P</i>	Сравнит. влияние пропит., %	Достоверность различия с натуральной
	$\text{кг}/\text{м}^3$	$\text{кг}/\text{м}^3$	$\text{кг}/\text{м}^3$	%	%	%	
Пропитанная без разбавителя	862	24,5	5	2,8	0,5	195	$m_d = 69$
Натуральная	445,47	20,6	3,55	4,6	0,8	100	
Пропитанная в присутствии разбавителя	813	34,2	6	4,2	0,7	186	$m_d = 52$

Из таблицы видно, что плотность пропитанной древесины увеличилась. Это объясняется способностью древесины поглощать масло.

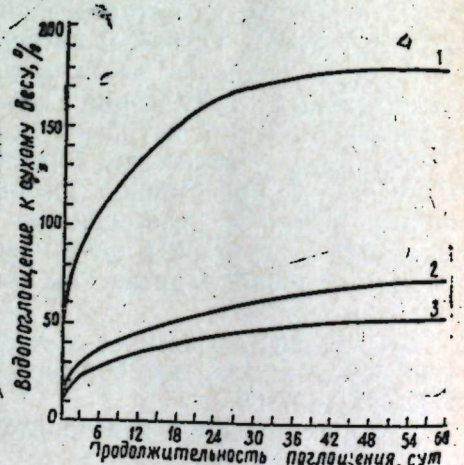


Рис. 2.

Сжатие вдоль волокон. Испытание проводилось на образцах размером  $20 \times 20 \times 30$  мм соответственно ГОСТу 11492-65.

Результаты исследования обрабатывались методом вариационной статистики.

Таблица 5

Предел прочности при сжатии вдоль волокон древесины сосны

Состояние древесины	<i>M</i>	$\sigma$	<i>m</i>	<i>v</i>	<i>P</i>	Сравнит. влияние пропит.	Достоверность различия с натуральной
	кГ/см <sup>2</sup>	кГ/см <sup>2</sup>	кГ/см <sup>2</sup>	%	%	%	%
Пропитанная без разбавителя	456	21,09	8,6	4,6	1,8	108,5	
Натуральная	420	39,7	11,8	9,4	2,8	100	$m_d = 2,4$
Пропитанная в присутствии разбавителя	421	24,5	8,16	5,8	1,9	100,2	$m_d = 0,2$

Как видно из таблицы, пропитка оказывает положительное воздействие на сжатие вдоль волокон. Это объясняется уменьшением ее гигроскопичности.

Предел прочности при статическом изгибе. Определение ведется на образцах размером  $20 \times 20 \times 30$  мм соответственно ГОСТу 11494-65. Годовые слои на торцовых поверхностях параллельны одной паре противоположных граней и перпендикулярны другой. Изгиб проводился в тангенциальном направлении.

Результаты исследования обрабатывались методом вариационной статистики.

Таблица 6

Предел прочности при статическом изгибе древесины сосны

Состояние древесины	<i>M</i>	$\sigma$	<i>m</i>	<i>v</i>	<i>P</i>	Сравнит. влияние пропит.	Достоверность различия с натуральной
	кГ/см <sup>2</sup>	кГ/см <sup>2</sup>	кГ/см <sup>2</sup>	%	%	%	%
Пропитанная без разбавителя	733	70,5	22,1	9,61	3	110,2	$m_d = 1,8$
Натуральная	665,5	85,8	28,6	12,9	4,3	100	
Пропитанная в присутствии разбавителя	727,5	126,8	42,26	17,47	5	109	$m_d = 1,2$

Как видно из табл. 6, предел прочности при статическом изгибе пропитанной древесины увеличивается по сравнению с натуральной.

Это объясняется тем, что при изгибе разрушение происходит за счет деформации сжатых волокон, но так как показатель прочности при сжатии вдоль волокон улучшается, следовательно, и при изгибе происходит улучшение показателя прочности.

Таким образом приходим к заключению, что пропитка раствором пентахлорфенола на базе тяжелых нефтепродуктов в основном оказывает благоприятное воздействие на основные физико-механические свойства древесины сосны.

А. С. Гасымова, Г. М. Ханмаммадов, Э. М. Элиев

Шам ағачы одунчағының физики-механики хассасында пентахлорфенол мәілүлүк һопдурулмасының тә'сиринин тәдгиги

## ХУЛАСЭ

Мәгаләдә одунчагын әсас физики-механики хассасында рүтубәттүндө, суһопма, хәтти вә һәчми гурдууб-жыышма, лифләр бою сыйылмада мәһкәмлик һәлді вә статик әйилмәсінин өјрәнилмәсіндән алған рәгемләр верилмишdir. Бунунла бәрабәр, тәбии вә пентахлорфенол мәілүлүк һопдурулмуш одунчагын нәм вә суһопма дәйишмәләринин динамикасының мүгаисә графики көстәрилмишdir. Һәмчинин, шам ағачы одунчагының жаһарыда гејд едилән хассасында һопдурманың мүсбәт тә'сирі өјрәнилмишdir.

РЕГИОНАЛЬНАЯ ГЕОЛОГИЯ

Р. А. АЛЛАХВЕРДИЕВ

О ГРЯЗЕВУЛКАНИЧЕСКИХ ПРОЯВЛЕНИЯХ  
НА ПЛОЩАДИ ШЕЙТАНУД (ЦЕНТРАЛЬНЫЙ КОБЫСТАН)

(Представлено академиком АН Азербайджанской ССР А. Д. Султановым)

Грязевулканические проявления получили широкое распространение на Шейтанудской площади. Все грязевые вулканы расположены в сводовой полосе складки и приурочены к продольному широтному разрыву. На геологической карте здесь нами выделены 4 большие группы грязепроявлений. Описание их начнем с запада на восток.

Первая группа расположена на расстоянии 1,7 км к западу от тригонометрического пункта. Обособленно от сплошного поля развития грязевых вулканов расположены три вулкана, имеющие высоту в 2, 1,2 и 0,5 м с диаметрами соответственно 6, 4 и 2 м. Выделяют жидкую грязь серого цвета. К востоку от них на большой территории, покрытой сопочной брекчиею, располагается множество сопок, сальз и грифонов.



Рис. 1. Группа грязевых сопок.

1. Вулкан высотой в 3 м, диаметр около 26 м. Выделяет жидкую грязь по трем жерлам диаметром в 0,3 м.

2. 3 вулканчика высотой в 2–2,5 м, диаметром основания до 20 м, жерла 30 см. 2 из них не действуют, третий слабо выделяет жидкую грязь.

3. Множество мелких сопок высотой до 20 см, диаметром основания 40 см, жерла—10 см.

4. Обособленно выделяется потухшая сопка высотой 7 м, диаметром основания 40 м.

5. Группа сопок высотой от 1 до 1,5 м, диаметром 4–5 м; в настоящее время прекратили свою деятельность.

6. Группа мелких грифончиков, диаметрами жерла до 3 см, все они действуют.

7. Одна бездействующая сопка высотой 1,5 м, диаметром основания 7 м, окружена 8 мелкими сопочками 0,3–0,4 м высоты, диаметром 0,5–1 м. Диаметры жерл—2–5 см.

8. Группа сопок высотой до 1,3, диаметром жерл до 4 см; действуют.

9. Вулкан высотой 3 м, диаметром основания в 30 м с тремя сопками, из которых действует лишь одна с диаметром жерла 0,5 м.

10. В виде гряды протягиваются 9 сопок высотой 1,5–2 м, диаметром основания—4 м, жерла—4 см. Все они действуют за исключением одной.

11. Три потухших вулкана высотой 3 м, диаметром основания до 8 м. Рядом с ними расположен другой, высотой 3 м, диаметром основания 40 м. Жерло его имеет 40 см в диаметре.

12. Группа, состоящая из трех потухших вулканов высотой 3 м, диаметром от 10 до 20 м. Их окаймляют сопки высотой до 20 см.

13. Отчетливо возвышается потухший вулкан высотой 6 м, диаметром основания 30 м.

Вторая группа. Это сопочное поле расположено в 1,5 км к востоку, юго-востоку от тригонометрического пункта Джуан. Оно усеяно многочисленными грязевыми сопками, часть которых выделяет мутный ил вместе с водой и пузырьками газа. Среди них выделяется потухшая сопка высотой 3 м, диаметром основания 20 м.

Третья группа. Находится в 0,5 км восточнее предыдущей.

1. В самой крайней западной части этого сопочного поля фиксируется сопка высотой 1 м, диаметром основания 4 м. Жерло его имеет 4 см в диаметре. Рядом с ней расположены еще две потухшие сопки размером вдвое меньше предыдущей.

2. Сопка высотой 5 м, диаметром 50 м, которую окружают 5 мелких сопок, выделяющих мутный ил и воду.

3. Сопка высотой 3 м, диаметром основания 15 м, диаметром жерла 40 см. Выделяет мутный ил вместе с водой. Чуть севернее расположены две сопки высотой 1,5 м, диаметром 8 м, из которых действует лишь одна.

4. Самая большая сопка высотой до 10 м, диаметром основания 60–80 м. Ее окружают 9 сопок, из которых 5 действуют. Диаметры их жерл—0,3 м.

5. Поле распространения 12 мелких сопок высотой до 12 см, диаметрами до 0,3 м. Все они выделяют воду и газ.

6. 13 сопок высотой 0,5 м, диаметром основания до 3 м, жерла которых достигают в диаметре от 10 до 30 см.

7. Три потухших сопки высотой 1 м, диаметром основания 4 м.

8. Действующая сопка высотой 2 м, диаметром 6 м, окруженная тремя сопками, также выделяющими газ и воду.

9. Потухший вулканчик высотой 3,5 м. Рядом с ним сопка высотой 0,5 м, действует.

10. 8 сопок, не превышающих 0,5 м высоты и 2 м в диаметре. Часть из них действует.

11. Потухшая сопка высотой 2,5 м, диаметром 8 м, окруженная двумя мелкими сопками.

12. Две потухших сопки высотой 0,8 и 5 м и диаметрами соответственно 5 и 4 м.

13. Потухшая сопка 4 м, диаметром 12 м, рядом с ней расположены 4 сопки высотой от 1,1 до 1,3 м диаметрами до 1,3 м.

14. Действующая сопка высотой 6 м, диаметром 15 м, из узкого жерла диаметром в 10 см выделяются мутный ил серого цвета с водой.

Четвертая группа. На расстоянии 400 м, к северо-востоку от предыдущей группы проявлений, расположена действующая грязевая сопка высотой в 6 м, диаметром основания 20 м, с узким жерлом в 12 см в диаметре. У ее подножия 7 действующих сопок с диаметрами жерл от 10 до 40 см и 4 потухших—по 0,1 м в высоту. Следует отметить, что только здесь нами было обнаружено выделение пленок нефти, вследствие чего образовались сантиметровой мощности кирзоватые натеки.



Рис. 2. Выделение грязи.

Таким образом все эти грязевулканические проявления фиксируются в опущенной по грабену сводовой полосе структуры, сложенной на данном участке отложениями диатома и верхнего майкопа. Поэтому неудивительным является и то, что в серой массе сопочной брекчии присутствуют разноцветные остроугольные включения, напоминающие по составу диатомовые, майкопские и коунские породы. Все эти проявления приурочены к продольному присводовому разрыву. „Корни“ их связаны с майкопскими и коунскими отложениями (по данным анализа сопочной брекчии и газа, сделанных по нашей просьбе Ф. Г. Дадашевым). Помимо сопочных брекчий, на площади широкое распространение получили межпластовые брекчии, приуроченные к подошве акчагылы, продуктивной толще меотиса. Это указывает на цикличность проявления грязевого вулканизма в среднем и нижнем плиоцене, а также после майкопа—вначале меотиса. Наиболее мощные извержения, по-видимому, происходили после майкопа—вначале меотиса, так как брекчии, подстилающие меотис, имеют наибольшую мощность, дости-

гая в некоторых пунктах 135 м, в то время как мощность брекчии, перекрывающих продуктивную толщу и point, колебается в пределах от 32 до 80 м. Вышеизложенное является одним из доказательств того, что в процессе роста складки происходили активные тектонические подвижки, способствующие в различные периоды времени развитию интенсивной грязевулканической деятельности.

## ЛИТЕРАТУРА

1. Агабеков М. Г. Геологические исследования в пределах юго-восточной части планшета П-2 Бозтапа Центрального Кобыстана. Фонд Ин-та геологии АН Азерб. ССР, 1953.
2. Аллахвердиев Р. А. К тектонике Шейтанудской складки (Центральный Кобыстан). „ДАН Азерб. ССР“, 1964, № 6.
3. Ахмедов Г. А. Геология и нефтеносность Кобыстана. Азнефтеиздат, 1957.
4. Мамедов Б. Б. Шейтануд. Геологический отчет ГПТ за 1954 г. Баку, 1956.
5. Салаев С. Г. Олиоцен-миоценовые отложения юго-восточного Кавказа и их нефтегазоносность. Изд-во АН Азерб. ССР, 1961.
6. Якубов А. А. Грязевые вулканы Азербайджана и их связь с нефтеносностью. Изд-во АН Азерб. ССР, 1948.

Институт геологии

Поступило 7. XI 1967

## ТЕКТОНИКА

Б. А. БУДАГОВ

## ПОГРЕБЕННЫЕ СТРУКТУРЫ И ИХ РОЛЬ В ФОРМИРОВАНИИ РЕЛЬЕФА ЗАПАДНОГО ПОБЕРЕЖЬЯ КАСПИЙСКОГО МОРЯ

(Между Дербентом и Кильязинской косой)

(Представлено академиком АН Азербайджанской ССР А. А. Якубовым)

Прикаспийская низменность, расположенная между гор. Дербентом на севере и Кильязинской косой на юге, протягивается на 200 км. В структурном отношении она в основном находится в пределах Кусаро-Дивичинского передового прогиба. Южная оконечность низменности расположена на юго-восточной периферии Тенги-Бешбармагского антиклиниория и Хизинского синклиниория, а на севере в ее пределы входят линейные антиклинальные поднятия третичных складок Дагестана, находящихся в передовом прогибе.

В пределах Самуро-Дивичинской низменности рядом исследователей геофизическим методом установлено около 15 погребенных структур (Р. Н. Абдуллаев, Х. Д. Джапаров, 1962).

Погребенные поднятия, каждое из которых в той или иной форме находят свое отражение в рельефе, сосредоточены в основном в Самурской и Хачмасской группах [рис. 1, 2].

1. К Самурской группе относятся следующие погребенные поднятия: Южно-Ширванское, Ширванское, Восточно-Ширванское, Ялминское, Тельское, Западно-Худатское и Худатское. Границу между Южно-Ширванским и Ширванским погребенным поднятием в рельефе отделить трудно, т. к. они составляют почти единую полосу. Эти поднятия особенно хорошо выражены в рельефе при перпендикулярном пересечении их долиной р. Самур, между пунктом Зоготскот—с. Ходжаказмаляр и с. Казарткам и Оруджоба.

В результате интенсивного поднятия между Южно-Ширванским, Ширванским и Северо-Ширванским погребенными поднятиями деформированы речевые террасы и террасовые отложения.

Так, например, 22-метровая терраса, развитая на осевой линии Северо-Ширванского поднятия, к северу и к югу понижается до 14 м, а 19-метровая терраса Ширванского поднятия деформирована до 17 м.

Деформированность речных террас хорошо прослеживается по отложениям, из которых они сложены. Галечниковая серия 22-метровой речной террасы вдоль осевой линии приподнята до 9 м над урезом,

а по крыльям его они возвышаются над руслом до 2–3 м. Ширванская группа погребенных поднятий на правом берегу р. Самур выражена в рельефе в виде ряда локальных низких террас (5; 3,5; 2; 1 м). Она продолжает растя, что доказывается наличием формирующихся молодых террас (2,1 м), не успевших покрыться растительностью.

К востоку от Ялминского погребенного поднятия, ближе к берегу Каспийского моря, в рельефе прекрасно выражено поднятие, именуемое нами Тельским. В центральной своей части оно образует древний бар высотой 30 м. У подошвы этого останцевого поднятия (бара) развита +5-метровая морская равнина. Деформированность галечниковых пластов на его осевой части достигает от крыла к осевой линии 15–40°.

Западно-Худатское и Худатское погребенные поднятия развиты между долиной р. Кусарчай и ст. Леджет. В районе с. Палыхыбса и ст. Кусарчай, где расположена южная оконечность Худатского погребенного поднятия, протоки р. Кусарчай заметно углубляются (до 15 м у с. Марданоба). Этим районам присущи выходы грунтовых вод в виде родников и заболоченных участков. Вдоль западной части

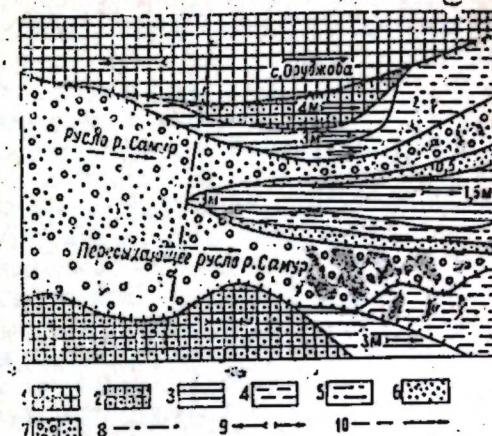


Рис. 1. Схема русла р. Самур в районе пересечения Восточно-Ширванского погребенного поднятия (между с. Оруджоба и Казарткам):

Речные террасы: 1—22 м; 2—4 м; 3—3 м; 4—2 м; 5—1 м; 6—формирующиеся поймы 0,5 м; 7—русло р. Самур: а—пересыхающее; б—действующее; 8—осевая линия погребенного поднятия; 9—направление деформированных террас; 10—направление течения реки. Составил Б. А. Будагов, 1965.

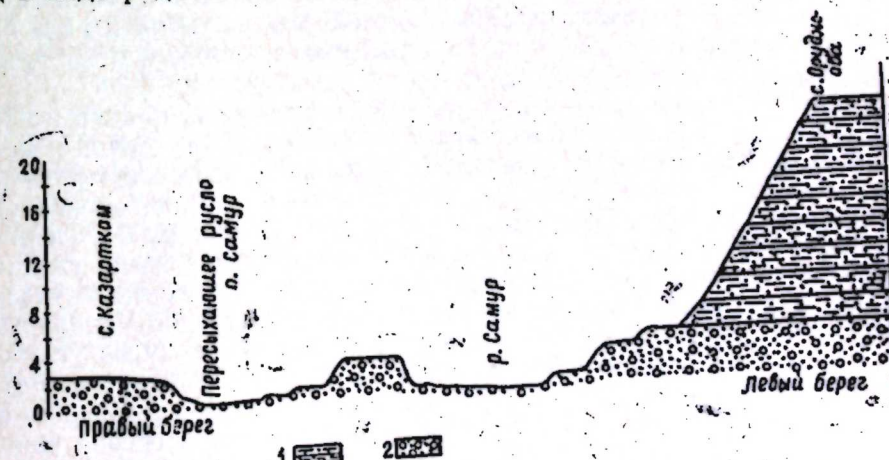


Рис. 2. Поперечный профиль русла р. Самур по осевой линии Восточно-Ширванского погребенного поднятия между с. Казарткам и Оруджоба: 1—глины, суглинки, пески; 2—галечник и песок. Составил Б. А. Будагов, 1965.

Западно-Худатского погребенного поднятия расположены ахмазы. Последние, по-видимому, образованы в результате роста северного крыла вышеназванного поднятия.

Вдоль восточной оконечности Худатского погребенного поднятия наблюдаются возвышенные участки с абсолютной отметкой 50–55 м. Худатские погребенные поднятия приурочены к стыку конусов выноса рек Самур и Кусарчай. В районе этих погребенных поднятий образуются овраги. Долина одного из них на левом борту р. Зардагульчай достигает 1 км.

2. Хачмасская группа погребенных поднятий расположена в районе конусов выноса рек Кусарчай—Вельвеличай.

Зизикское погребенное поднятие расположено в вершинной части конусов выноса р. Кудиалчай у с. Зизик, где глубина вреза достигает 12 м. К востоку от с. Петропавловка она уменьшается до 4 м.

К северо-востоку от с. Зизик у с. Петропавловки, между двумя протоками р. Кудиалчай, появляется приподнятый участок, как это наблюдалось в долине р. Самур, между сс. Казарткам и Оруджоба. Юго-восточная оконечность этого погребенного поднятия доходит до р. Агчай, а к северо-западу оно протягивается в сторону с. Ашагахч. Глубина вреза в долине р. Агчай на этом участке достигает 6,5 м, т. е. на 4 м больше, чем в крыльевых частях погребенного поднятия.

Западно-Хачмасское погребенное поднятие расположено в средней части конуса выноса р. Кудиалчай. Осевая линия его проходит западнее сс. Ергюч—Кымыл—Алексеевка. Глубина вреза протоков к западу и востоку от этой линии заметно уменьшается. Разница составляет 6–8 м. Севернее погружения Западно-Хачмасского погребенного поднятия проходит р. Кусарчай, а по южной части погружения—один из притоков р. Карабай (р. Ахчай). У с. Учгюнкишлага глубина вреза в районе погребенного поднятия достигает 11 м, а ниже он уменьшается до 3 м.

Хачмасское погребенное поднятие расположено между реками Карабай и Кусарчай, т. е. приурочено к подошве конусов выноса этих рек. На северном продолжении Хачмасского погребенного поднятия расположено Худатское.

При пересечении осевой линии погребенного поднятия глубина вреза рек Кусарчай, Кудиалчай, Карабай, Агчай, Чагаджукчай и ряда протоков увеличивается на 3–4 м, по сравнению с западной и восточной частями.

Одним из ярковыраженных в рельефе погребенных поднятий является Восточно-Чархинское, расположенное между р. Кусарчай и Вельвеличай. Осевая линия его проходит примерно через сс. Карабайлы-Саяд—Красный хутор—Хорахоба. При пересечении южной оконечности Восточно-Чархинского погребенного поднятия долина р. Вельвеличай у с. Карабайлы образует коленчатый изгиб. Глубина вреза увеличивается до 8 м, что на 6 м больше к югу и северу от этого участка долины. При перпендикулярном пересечении Восточно-Чархинского погребенного поднятия долина р. Чагаджукчай у с. Кеймураз углубляется до 9 м, р. Карабай у с. Ильчи—7 м, у с. Араб—11 м и т. д. В северной оконечности этого погребенного поднятия в долине р. Кусарчай образуется изгиб. Вследствие активного роста осевой полосы вышеназванного погребенного поднятия на западных склонах его наблюдаются ахмазы, заболоченные участки или покинутые русла рек (у сс. Гюлоглан, Кеймураз, Саяд и др.).

В юго-восточной оконечности Восточно-Чархинского погребенного поднятия протягивается Кушчинское погребенное поднятие, названное М. А. Мусеевым, Х. А. Велиевым и С. С. Самедовым (1965) Агзыбирским, оно пересекает конусы выноса рек Шабранчай, Дивиччай и Гильгильчай. Северная часть Кушчинского поднятия расположена

севернее с. Хилилли, а южная—южнее р. Гильгильчай. Последняя образует коленчатый изгиб, где глубина вреза достигает 11 м. К северо-западу от изгиба, т. е. у железнодорожного полотна глубина вреза равна 1,5 м, а к юго-востоку от с. Тагай она уменьшается до 6 м.

Сизанская погребенное поднятие, выделенное Р. А. Абдулаевым и Х. Д. Джадаровым (1962) под морем, по нашему мнению, находит свое продолжение на суше в районе сс. Агасибейли и Б. Гамья. Долина р. Атакай при пересечении северной оконечности этого поднятия образует врез глубиной 8 м. Но к западу от этого участка врез равен 2, а к востоку—3–4 м.

Ситалчайское погребенное поднятие расположено к западу от Кильязинской косы. Оно пересекается р. Вегвер, а на северо-западе р. Тугчай и рядом оврагов.

На правом берегу р. Тугчай к востоку от железной дороги развит ряд оврагов протяженностью 1–2 км и глубиной 2–4 м. При пересечении северной части погребенного поднятия глубина вреза р. Тугчай достигает 5–6 м, к востоку она уменьшается до 4 м, а к западу до 2,5 м. Благодаря росту вышеназванных поднятий, имеющих общее направление с север-северо-запада на юг-юго-восток, долины многочисленных протоков рек при пересечении их увеличивали глубину вреза на 8–10 м и больше. Кроме того на склонах речных долин, пересекающих растущие погребенные поднятия, заметно увеличиваются расчленения за счет разрушения глинистого карста.

Рост погребенных поднятий способствовал деформации террас, появлению ряда локальных террас, перестройке протоков рек, увеличению глубин расчленения и т. д.

Благодаря наличию погребенных поднятий, а также выноса аллювиальных отложений многочисленными реками (особенно р. Самур), береговая линия моря между устьями рек Рубасчай и Атакай далеко выдается к востоку, а низменность в районе конуса выноса р. Самур, где сосредоточено основное количество погребенных поднятий, имеет максимальную ширину (40 км).

Погребенные поднятия развивались также на дне Каспийского моря, о чем свидетельствует древний (Хвалынский) бар, сохранившийся в осевой линии Тельского поднятия.

Возраст деформированных террас отдельных участков равнин совпадает с верхнехвалынским и новокаспийским веками. Они продолжают расти и в настоящее время, о чем свидетельствует перестройка протоков в ряде мест, появление регressive оврагов, формирование новых пойм и т. д.

Геоморфологическая выраженность погребенных поднятий в рельефе дает возможность оконтурить их на поверхности низменности, что имеет большое значение в картировочном бурении.

Многие из погребенных поднятий, протягивающиеся с северо-запада на юго-восток, расположены один за другим и составляют отдельные зоны поднятий.

#### ЛИТЕРАТУРА

1. Абдулаев Р. Н., Джадаров Х. Д. Геолого-геофизическая характеристика Приарканинского нефтеносного района Азербайджана. Баку, 1962.
2. Будагов Б. А. Об откопанном рельефе и погребенных структурах Северо-Восточного Азербайджана. Вопросы региональной палеогеографии. Уфа, 1966.
3. Мусеев М. А., Велиев Х. А., Самедов С. С. Строение подводного склона западного побережья Каспия. Уч. зап. АГУ, серия геол.-географ. наук, № 5, 1965.

Институт географии

Поступило 10. VI 1968

**Басдырылмыш структурлар вә онларын Хәзәр динизинин  
гәрб һиссәси саһијләринин әмәлә кәлмәсindә ролу**

(Дәрбәнд вә Киләзи дили арасында)

**ХУЛАСӘ**

Хәзәр әтрафы овалыг Хәзәр дәнизи бою Дәрбәнд шәһәри иле Киләзи дили арасында 200 км мәсафәдә узаныр. Бу овалығын релефинин әмәлә кәлмәсindә вә кенишләнмәсindә мүһум рол ојнамыш басдырылмыш структурлар ики група бөлүнүр. Самур групуна Самур җаянын кәтирмә конусу үзәриндә, она перпендикулјар олараг иншиаф етмиш Чәнуби Ширвановка, Ширвановка, Шәрги Ширвановка, Ялама, Тел, Гәрби-Худат вә Худат басдырылмыш структурлары дахидир. Хачмаз групуна Зизик, Гәрби Хачмаз, Хачмаз, Шәрги Чархы, Гушчу, Сијәзән вә Ситалчај басдырылмыш структурлары аиддир.

Тәдгигатлар нәтичәсindә мүәjjән едилмишdir ки, басдырылмыш галхмалар мүшәнидә едилән јерләрдә чај жатаглары дәринләшир, чај терраслары деформасија утрајыр, чајларын жатағы дәјишир, ерозија вә денудасија просесләри сүр'әтләнир. Басдырылмыш галхмаларын чохлуғу, фәаллығы вә еләчә дә Самур җаянын кәтирдији материаллар нәтичәсindә дүзәнлик Рубасчајла Атачај арасында шәргә дөгрү ирәлиләмишdir.

**МИНЕРАЛОГИЯ**

Ч. Д. ДЖАФАРОВ, Т. С. МАМЕДОВ

**ФОТОГОНИОМЕТРИЧЕСКОЕ ИССЛЕДОВАНИЕ  
КРИСТАЛЛОВ ГРАНАТА ИЗ ДАШКЕСАНСКОГО  
МЕСТОРОЖДЕНИЯ**

(Представлено академиком АН Азербайджанской ССР М. А. Кашиевым)

Исследования показали для граний морфология кристаллов граната из Дашкесанского месторождения Азербайджанской ССР следующие простые формы: {110}, {211}, {111}, {210}, {221}, {100} и {321}. Габитусными формами являются {110}, {211} и их комбинации (Кашкай, 1965, Кашкай, Джагаров, Мамедов, 1968). Однако некоторые особенности морфологии этих кристаллов гониометрией уловить не удавалось. Но одним из методов изучения тонкой скульптуры граней кристаллов является фотогониометрия. Расшифровка фотограмм более подробно изложена в статье В. А. Мокиевского и Ч. Д. Джагарова (1963).

В настоящей статье делается первая попытка применить фотогониометрический метод к исследованию кристаллов граната из Дашкесанского железорудного месторождения.

Согласно наших фотограмм, различные габитусные формы граната из одного или из ряда месторождений одного типа, отличающиеся деталями скульптурных особенностей, показывают различные световые узоры. Наряду с этим, сходные фотограммы отличаются друг от друга и некоторыми тонкими деталями.

На всех без исключения фотограммах весьма отчетливо проявляется симметрия кристаллов. Если на кристаллах пирита видно отсутствие плоскостей симметрии вдоль  $L_3$ , осей  $L_4$  и т. д. (Мокиевский, Джагаров, 1960), то на фотограммах граната (рисунок) видно присутствие осей  $L_4$ ,  $L_3$ ,  $L_2$  и плоскостей симметрии. Результаты фотогониометрического исследования кристаллов граната из различных участков указанного месторождения сведены в таблицу—рисунок. Наличие граней, дающих непрерывные световые полосы, связано с постепенным изменением формы кристалла в процессе его образования.

Как показали исследования, в зависимости от степени развития ступенек роста на гранях кристаллов, интенсивность проявления световых узоров и их конфигурация на различных фотограммах различна. Яркие световые сигналы от граней {110} и {211} и четкие полосы, соединяющие эти грани, получаются при отражении от гладких блестящих поверхностей и от граней, покрытых ступеньками роста различной интенсивности.

Таблица—Рисунок

Фотограмма кристалла, состоящего из плоскогранного ромбо-додекаэдрического  $\{110\}$  габитуса, при ориентировке по  $L_4$  обнаруживает четыре небольшие четкие точки-кружки (таблица—рисунок, 1). Фото-

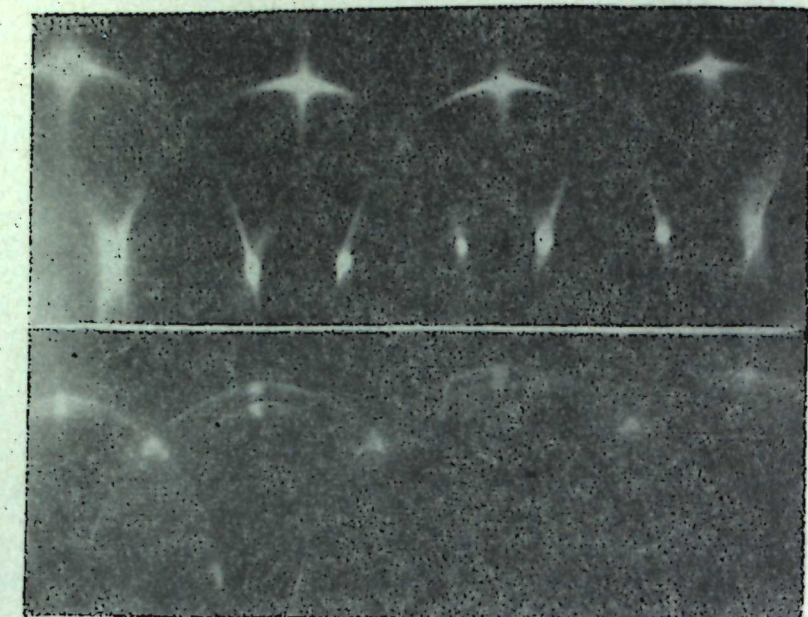


Рисунок — Фотограммы кристаллов граната:  
А—по  $L_4$  — кристалл  $\{211\}$  габитуса с формами растворения  $\{111\}$ ; и  $\{221\}$ ;  
Б—по  $L_4$  — кристалл с равномерно развитыми гранями  $\{110\}$  и  $\{211\}$ ; В— фотография растворенной грани  $\{111\}$ .

грамма, полученная от кристалла тетрагон-триоктаэдрического габитуса характеризуется яркими точками-кружками от граней  $\{211\}$  и равномерно распространенными дугообразными\* световыми полосками,

\* Напомним, что дугообразные линии, полученные на фотограммах, в действительности являются прямыми. Полученные дуги связаны с тем, что съемка производится на цилиндрическую поверхность.

№ № п/п	№ кристалла	Габитусные фор- мы в порядке убывания	Сtereографическая проекция
1	3/127	$\{110\}$	
2	3/45	$\{110\}$ $\{211\}$	
3	3/168	$\{110\}$ $\{211\}$	
4	3/157	$\{211\}$ $\{110\}$	
5	3/98	$\{211\}$	
6	3/90	$\{211\}$ и формы растворе- ния $\{111\}$ , $\{221\}$	

соединяющими эти грани (таблица-рисунок, 5.) На таких кристаллах обычно штриховка распространена равномерно и проявлена менее интенсивно.

На другой фотографии зафиксированы световые сигналы с кристалла, представляющего собой комбинацию {211} из небольших плоских гранок {110}. В этом случае сигналы световых полосок распространены неравномерно, т. е. ширина полосок от ярких точек-кружков граней {211} к точкам грани {110}, постепенно суживаясь около последней, приобретает нитеобразный характер (таблица-рисунок, 4). На таких кристаллах грани {211} покрыты штриховкой различной интенсивности, а грани {110} гладкие. Из этой фотографии видно, что грани {110} имеют тенденцию к исчезновению (неравномерное проявление световых сигналов от различных граней {110}), тем самым вызывающее понижение симметрии фотографии. Такое нарушение симметрии фотографии связано с искажением формы реального кристалла в процессе образования, являющееся следствием влияния симметрии среды (Шафрановский, 1954, Джадаров, 1966).

Обращает на себя внимание раздвоение световых сигналов от граней и полос. Наиболее четко это раздвоение видно на приведенных фотографиях (рисунок Б).

Раздвоение световых полос и точек-кружков в литературе (Мокиевский, Шафрановский, 1952, Митрофанова, 1955) объясняется тем, что образовавшиеся грани в конечном этапе своего роста переломлены и каждая половина этих граней в свою очередь изогнута.

На Дашкесанском месторождении встречаются, подвергшиеся в некоторой степени растворению, кристаллы ромбододеаэдрического {110} и тетрагон-триоктаэдрического {211} габитуса. В таких кристаллах слои перемещаются от вершины выхода  $L_3$  и соответствующих ребер — к центру грани (рисунок, В). При этом на кристаллах образуются восьмивершинники растворения :111:, отвечающие выходам нормалей соответствующих граней форм роста. В области растворения возникают извилистые линии слоев и появляются округлые формы растворения. На фотографиях от таких граней световых сигналов обнаружить не удается, а на соседних гранях роста (в данном случае на гранях {211}, возникают световые узоры, носящие радиально-лучистый характер (таблица-рисунок, 6).

На фотографии (рисунок, А) приводится пример частично растворенного кристалла тетрагон-триоктаэдрического габитуса. Здесь отмечаются световые сигналы, идущие в направлении от {211} к {111} и {221}. Как правило, области такого растворения характеризуются пустыми участками. В другой половине кристалла, не подвергшейся растворению, этих световых сигналов и пустых участков обнаружить не удается.

Опыты Мокиевского и Шафрановского (1952) по растворению алюмокалиевых квасцов показали, что грани выращенных кристаллов (в виде октаэдра), почти нацело образованных этими гранями {111}, после погружения в раствор (температура которого на 0,2—0,3°C выше температуры насыщения) слабо закругляются наряду с ребрами. От такого кристалла световая картина для грани {111} представляет шесть световых полосок, кончающихся поблизости от места октаэдрического сигнала. Важно, что световые сигналы для самих граней отсутствуют.

Наши наблюдения и экспериментальные данные показывают, что в результате растворения проявляется тенденция к разрыву световых полос, а расстояние между конечными точками этих лучей находятся в прямой зависимости от степени растворения граней кристаллов.

Таким образом следует, что световые узоры, полученные от кристаллов растворения, по конфигурации отличаются от кристаллов роста пустыми участками, связанными формами растворения в областях выходов нормалей соответствующих граней форм роста (рис. 1, А). В отношении таких деталей фотогониометрия является надежным методом в исследовании природных и искусственных кристаллов.

## ЛИТЕРАТУРА

- Джадаров Ч. Д. Искаженные формы кристаллов и их значение для определения направления движущихся минералообразующих растворов. Мин. сб. Львов. геол. общ.-ва, № 20, вып. IV. 1966.
- Кашкай М. А. Петрология и металлогенesis Дашкесана и других железорудных месторождений Азербайджана. Изд-во "Недра", М., 1965.
- Кашкай М. А., Джадаров Ч. Д., Мамедов Т. С. О граний морфологии гранатов Дашкесанского месторождения и закономерностях их распространения в пространстве. "ДАН Азерб. ССР", № 3, 1968.
- Мокиевский В. А., Шафрановский И. И. Новые опыты растворения кристаллов алюмокалиевых квасцов. Сб. "Кристаллография". Ленингр. горн. ин-та, 1952.
- Мокиевский В. А., Джадаров Ч. Д. Перспективы фотогониометрического исследования кристаллов со сложной поверхностью. Зап. Всес. минер. об-ва, ч. 92, вып. 1, 1963.
- Митрофанова К. В. Новые данные по фотогониометрии алмаза. Зап. Всес. минер. об-ва, ч. 94, вып. 2, 1955.
- Шафрановский И. И. Внешняя симметрия реальных кристаллов и симметрия питающей среды. Зап. Всес. минер. об-ва, ч. 84; вып. 3. 1954.

Институт геологии

Поступило 10. IV 1968

Ч. Ч. Чәфәров, Т. С. Мәммәдов

Дашкесән мә'дәни гранат кристалларының фотогониометрик тәдгиги

## ХУЛАСӘ

Мәгаләдә фотогониометрик үсулун Дашкесән мә'дәни гранат кристалларына илк дәфә тәтбиғ олунмасындан бәһс едилмишdir. Бир-бириндән үзләринин гурулуш деталлары илә фәргләнән характеристикалары формалары вә онларын комбинацијалары мұхтәлиф конфигурацијалар фотограмлар вермишdir.

Бүтүн фотограмларда кристалларын симметријасы (симметрија-охлары  $L_4$ ,  $L_3$ ,  $L_2$  вә симметрија мұстәвіләри) ачыг мүшәнидә олунур. Мүәյҗәнән едилмишdir ки, фотограмларын симметријасыны гејри-бәрабәр жајылыш ишыг сигналлары илә характеристикалары олунан гејри-симметрик кристаллар позур. Ишыг сигналларының (үзләрдән экс олунмуш) вә шүа хәтләринин икиләшмәсі үзләрин сымасы илә әлагәләндирцилir. Һәмчинин һәллолмаја мә'руз галмыш кристалларын фотограмлары көстәрик ки, һәлл олмуш һиссәләр шүа хәтләринин сымасы вә бош саңәләрлә характеристикалары едилir.

ГЕОЛОГИЯ НЕФТИ

А. Б. СУЛТАНОВ, Р. М. ДАДАШЕВ, У. Ш. МЕХТИЕВ

**ХАРАКТЕРИСТИКА КОЛЛЕКТОРОВ СВИТЫ  
VII ГОРИЗОНТОВ (СВИТА „ПЕРЕРЫВА“)  
ПРОДУКТИВНОЙ ТОЛЩИ МЕСТОРОЖДЕНИЯ  
САНГАЧАЛЫ-МОРЕН-О. ДУВАННЫЙ-О. БУЛЛА**

(Представлено академиком АН Азербайджанской ССР Ш. Ф. Мехтиевым)

Открытие богатейшей залежи нефти и газа в свите VII горизонтов продуктивной толщи на площади Сангачалы-море—о. Дуванный—о. Булла выдвинуло Бакинский архипелаг в число наиболее перспективных нефтегазоносных районов республики. В связи с этим изучение литологии и коллекторских свойств нефтегазомещающих пород этой площади приобретает особое значение как для корреляции разреза месторождения, так и для выбора правильного направления разведочных работ.

В настоящей статье нами сделана попытка изучить коллекторские свойства песчано-глинистых пород продуктивной толщи месторождения Сангачалы-море—о. Дуванный—о. Булла, которое в тектоническом отношении представляет собой брахиантклинальную складку, осложненную одним крупным продольным и несколькими поперечными разрывами, делящими ее на отдельные обособленные блоки.

В геологическом строении месторождения принимают участие отложения современного и древнего Каспия, ашеронского и акчагыльского ярусов и продуктивной толщи.

Выявленные промышленные запасы нефти и газа приурочены к свите VII горизонтов и VIII горизонту (НКП свита) продуктивной толщи. Благоприятными каротажными и керновыми данными характеризуются V горизонт и ПК свита.

Особый интерес представляет литология и коллекторские свойства пород свиты VII горизонтов продуктивной толщи, которая является основным объектом разработки месторождения. По данным исследований она в основном представлена обломками кремнистых, эфузивных, карбонатных и глинистых пород (48–76%). Содержание полевых шпатов колеблется от 7,0 до 43,0%. Кварц присутствует в небольших количествах (1,0–10%), лишь в очень редких случаях содержание его доходит до 45%. Литолого-коллекторские свойства отложений свиты VII горизонтов рассматриваемого месторождения изучены по

данним 128 образцов пород, отобранных в 32 скважинах. Цементирующими веществами являются глинистый, глинисто-известковый и известковый материалы. Породы-коллекторы по классификации Л. В. Пустовалова представлены глинисто-алевритовыми песками, супесями, глинистыми алевритами, песчаными суглинками и хлодолитами.

Таблица 1  
Средний гранулометрический состав различных типов пород  
по свите VII горизонтов

Тип породы	Количество определений	Гранулометрический состав, %			
		>0,25 м.м.	0,25–0,1 м.м.	0,1–0,01 м.м.	<0,01 м.м.
Крупнозернистый песок	2	11,1	62,1	13,5	13,3
Глинисто-алевритовый песок	13	9,3	46,3	29,0	15,4
Супесь	20	7,5	32,2	40,3	20,0
Алеврит	28	0,2	12,8	60,7	26,3
Песчаный суглинок	5	1,0	22,7	42,7	33,6
Хлодолит	15	6,3	27,5	35,3	30,9
В целом по породам	83	4,8	27,1	44,0	24,1

Согласно этой таблицы песчаная фракция пород изменяется от 13,0 до 73,2%, составляя в среднем по всем породам 31,9%. Содержание алевритовых разностей преобладает над песчаными и в среднем составляет 44,0%. Глинистая фракция несколько меньше, колебляясь от 13,3 до 33,6%, составляет в среднем 24,1%.

Пористость пород изменяется от 6,0 до 25,4% и в среднем равна 16%.

Проницаемость этих пород колеблется от нескольких до 382 м дарси, составляя в среднем 118 м дарси. Это говорит о том, что породы свиты VII горизонтов продуктивной толщи месторождения Сангачалы-море—о. Дуванный—о. Булла относятся к среднепроницаемым.

Карбонатность пород варьирует от 5,0 до 26,7% и в целом по породам равна 12,6%.

Кроме того, установлено, что коллекторские свойства пород как свиты VII горизонтов, так и других свит и горизонтов продуктивной толщи заметно улучшаются в юго-восточном направлении. Это связано в основном с увеличением песчанистости в этом направлении. Общее улучшение коллекторских свойств в юго-восточном направлении является обнадеживающим признаком при поисках залежей нефти и газа в пределах северо-восточной части Бакинского архипелага.

Полученные данные позволили построить графики зависимости пористости и проницаемости от карбонатности и гранулометрического состава пород.

Связь между пористостью и карбонатностью с учетом содержания в породе глинистой фракции (размер зерна < 0,01 м.м.) по данному месторождению изучена с помощью корреляционных таблиц, итоги которых приведены в табл. 2. Из этой таблицы видна вполне определенная закономерность изменения пористости от карбонатности и глинистости пород, т. к. с увеличением как карбонатности, так и глинистости пористость пород заметно уменьшается. Причина этой зависимости заключается в том, что с возрастанием карбонатов и глинистых частиц происходит уменьшение поровых каналов. На основе данных табл. 2 был построен график зависимости пористости от карбо-

натности, который является наглядным подтверждением выявленной зависимости (рис. 1 а). Анализируя график, можно отметить, что при увеличении карбонатности от 2,5 до 32,5% пористость снижается на 18%, т. е. с 23 до 5%.

Таблица 2

Изменение пористости в зависимости от карбонатности и глинистости

Интервал	Среднее	Пористость при S IV, %				Средняя пористость, %
		0—20	20—40	40—60	60—80	
0—5	2,5	23	—	—	—	23
5—10	7,5	22	21	14	5	18
10—15	12,5	17	14	9	—	15
15—20	17,5	12	11	9	—	11
20—25	22,5	—	9	—	—	9
25—30	27,5	7	—	—	—	7
30—35	32,5	—	5	—	—	5

Известно, что если порода состоит из однородных идеально сферических зерен, то теоретически величина ее пористости не будет зависеть от размера отдельных зерен породы. В этом случае пористость породы изменяется в зависимости от характера упаковки шаров. Однако для естественных горных пород наблюдается некоторая связь между пористостью и величиной зерен породы (при условии их однородности). Пористость естественной породы изменяется не столько от абсолютного размера зерна, сколько от их взаимного расположения и окатанности.



Рис. 1. Зависимость пористости (а) и проницаемости (б) от карбонатности: 1—фактическая кривая; 2—сглаженная кривая.

влияющих на пористость, является неравномерность размера частиц горной породы. Наибольшая величина пористости характерна для пород, имеющих зерна одинакового размера. С включением зерен, отличающихся другими размерами, пористость понижается.

По имеющимся данным, на треугольнике смеси нами было изучено влияние неоднородности размеров зерен на пористость породы. При этом были использованы анализы с карбонатностью менее 20%. Треугольник смеси нами был разделен на 8 участков. Причем, каждому участку соответствует определенный тип пород, которым свойственна своя величина пористости. Как видно из рис. 2, наименьшей пористостью (<10%) обладают породы, в которых содержание фракций песка, алевритов и глин в среднем равно—30—40%, т. е. суглинки и хли-

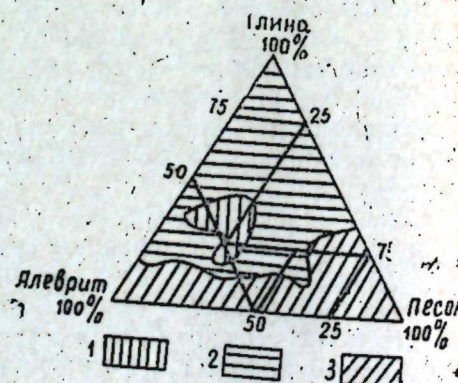


Рис. 2. Зависимость пористости от гранулометрического состава для месторождения Сангачалы-море — о. Дуванный — о. Булла. 1—<10%; 2—10—20%; 3—>20%.

долиты. Наибольшая пористость присуща более однородным породам: чистым пескам, алевритам, супесям, причем чистые пески обладают самой высокой пористостью (>20%).

Таблица 3

Пористость и проницаемость различных типов пород свиты VII горизонтов продуктивной толщи

Тип породы	Пористость, %		Проницаемость, мдарси	
	Количество определений	Среднее	Количество определений	Среднее
Разнозернистый песок	9	21	8	236
Супесь	16	18	10	185
Алеврит	21	16	12	81
Хлодолит	18	14	10	75
Суглинок	5	10	4	27
Глина	4	5	3	2
В целом по породам	73	16	47	118

Для исследования зависимости проницаемости от карбонатности нами составлена табл. 4 и построен график, изображенный на рис. 16. На основании этих данных наблюдается определенная зависимость проницаемости от карбонатности. Как видно из рис. 16 с увеличением карбонатности от 2,5 до 22,5% проницаемость уменьшается от 332 до нескольких миллидарси.

Таблица 4

Изменение проницаемости в зависимости от карбонатности

Интервал карбонатности	Середины интервалов карбонатности, %	Средняя проницаемость по интервалам карбонатности, мдарси
0—5	2,5	332
5—10	7,5	214
10—15	12,5	51
15—20	17,5	12
20—25	22,5	3

На изменение проницаемости породы, наряду с карбонатностью, большое влияние оказывают фракции, составляющие породу-коллектор. Графически эту зависимость наглядно иллюстрирует треугольник линий равной проницаемости, изображенный на рис. 3. При этом из построения исключались анализы с карбонатностью выше 20%. Отсюда видно влияние абсолютного размера зерен на проницаемость, а именно: с увеличением абсолютного размера зерен проницаемость также значительно увеличивается. На величину проницаемости влияет также отсортированность породы, хотя и в меньшей степени! Если обратиться к данным табл. 3, то станет заметным закономерное уменьшение проницаемости у пород, обладающих меньшим размером зерен.

Таким образом, для песчано-алеврито-глинистых коллекторов свиты VII горизонтов продуктивной толщи месторождения Сангачалы-море — о. Дуванный — о. Булла установлено, что на изменение пористости главным образом влияет присутствие карбонатного цемента и неоднородные

родность размера зерен, слагающих породу, а на проницаемость в основном оказывает влияние карбонатность и абсолютный размер частиц. Как видно, особенно большое влияние на изменение проницаемости оказывает цементация пород, а в первую очередь карбонатов как цементирующее вещества. Значительная цементация сильно уменьшает или даже вовсе уничтожает первоначальную проницаемость песчаной породы.

Кроме зависимости пористости и проницаемости от гранулометрического состава и карбонатности прослежена также некоторая связь непосредственно между пористостью и проницаемостью.

Как видно из табл. 5 с увеличением пористости от 10 до 26% проницаемость увеличивается от 8 до 350 *мдарси*.

Данные исследования коллекторских свойств пород и зависимости между ними по месторождению Сангачалы-море—о. Дуваний—о. Булла могут служить для предварительной оценки коллекторских свойств пород новых разведочных площадей, расположенных на акватории Бакинского архипелага. Кроме того, кривые зависимостей позволяют пользоваться ими в дальнейшем

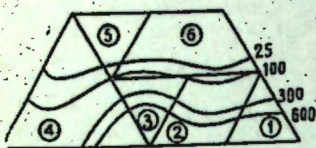


Рис. 3. Зависимость проницаемости (*мдарси*) от гранулометрического состава месторождения Сангачалы-море—о. Дуваний—о. Булла: 1—крупнозернистый песок; 2—глинисто-алевритовый песок; 3—супесь; 4—алеврит; 5—песчаный суглинок; 6—хлорит.

Зависимость между пористостью и проницаемостью пород

Интервал пористости, %	Середины интервалов пористости, %	Средняя проницаемость по интервалам пористости, <i>мдарси</i>
8—12	10	8
12—16	14	17
16—20	18	146
20—24	22	179
24—28	26	350

для определения пористости и проницаемости образцов, определение которых зачастую затруднено вследствие специфической методики исследования.

Институт геологии

Поступило 26. II. 1969

А. Б. Султанов, Р. М. Дадашов, У. Ш. Меңдијев

Сангачал (дэний), Дуванны вэ Булла адалары нефт ятагларынын VII һоризонт коллекторларынын сэчијјеси

#### ХУЛАСЭ

Мэгалэдэ Сангачал, Дуванны вэ Булла нефт ятагларынын VII һоризонтуун гум-алеврит-кил сухурларынын коллектор хассэлэрин дэн бэс едилмишdir.

Минераложи чэһэтдэн VII һоризонту тэшкүл едэн сухурлар эффективив, карбонат вэ кил сухурлары гырынтыларындан (48—76%), чөл шпатларындан (7—43%) вэ аз мигдарда кварсдан ибарэтдир.

Л. В. Пустоваловун тэснифатына көрэ коллектор сухурлар килли-алевритли гумлардан, гумлучалардан (супеслэрдэн), килли алевритлэрдэн, гумлу килличэлэрдэн вэ хлидолитлэрдэн ибарэтдир, Бундан башга, мұхтәлиф сухурларын орта гранулометрик тәркиби тәсвири едилмишdir.

Орта несабла сухурларын мәсамәлилиji 16%, кечиричилиji 118 миллидарси, карбонатлылығы 12,6%-дир.

Мэгалэдэ сухурларын мәсамәлилик вэ кечиричилиjинин карбонатлылыг вэ гранулометрик тәркиблә әлагәси графики верилмишdir. Мүәжжән едилмишdir ки, гумларын вэ алевритләрин мәсамәлилиjине карбонат сementин вэ сухуру тэшкүл едэн дәнәләрин бирчинсли олмасынын тә'сири вардыр. Кечиричилик исә карбонатлылыг вэ сухур дәнәләринин өлчүләри илә әлагәдардыр.

РЕГИОНАЛЬНАЯ ГЕОЛОГИЯ

А. А. АЛИ-ЗАДЕ, О. И. РЫБИНА

САРМАТСКИЕ ПРЕДСТАВИТЕЛИ *REPLIDACNA*  
В АЗЕРБАЙДЖАНЕ

В сарматских отложениях юго-западной Румынии, в Сочени, в пределах Банатских гор, Е. Екелиусом в 1944 г. установлен новый подрод *Replidacna*. Представители этого подрода имеют своеобразное строение замочного аппарата и отличаются от всех известных представителей семейства *Cardiidae* не только сармата, но и других стратиграфических единиц третичной системы. По Е. Екелиусу у представителей *Replidacna* кардинальные и боковые зубы загибаются кверху параллельно плоскости раздела двух створок раковины, разрастаются, выходя за пределы замочного края. Зубы часто срастаются с замочным краем, который также изгибается кверху. Этот процесс может заходить так далеко, что зубы, отклонившиеся кверху и замочный край полностью сливаются и образуют широкую изогнутую пластинку.

Представители подрода *Replidacna* в неогеновых отложениях юга СССР впервые были обнаружены А. А. Али-Заде в акчагыльских отложениях Туркмении, а затем в Азербайджане.

Приступая к изучению сарматских отложений Азербайджана в 1968 г., нами в первый же год работы в Прикаспийско-Кубинской геологической области, на горе Чахмах, в среднесарматских отложениях в числе других характерных форм были обнаружены раковины *Replidacna*, среди которых удалось установить виды, которые определены Е. Екелиусом в его монографии „Sarmat und Pont von Soceni (Banat)“ (1944).

*Replidacna* встречены нами в серых песчанистых глинах, залегающих ближе к кровле среднего сармата. В коллекции среднесарматской фауны нами определены следующие виды *Replidacna* с горы Чахмах: *Replidacna carasi* Jek., *R. levicostata* Jek., *R. alpocensis* Jek.

Ниже приводим краткое описание всех изученных нами видов.

*Replidacna carasi* Jekelius

Таблица, рис. 1—2.

1944. *Replidacna carasi* Jekelius, стр. 106, табл. 37, фиг. 1—13.  
Лектотип. АзНИИ по добыче нефти.

Типичное местонахождение. Прикаспийский район. Гора Чахмах.

Описание. Раковины маленькие, слабовыпуклые, передние и задние поля несколько крыловидно расширенные. Киль довольно отчетливый. Макушка небольшая, слабовыдающаяся. Впереди нее располагается отогнутый вверх, вытянутый в длину почти прямой замочный край.

Поверхность раковины покрыты 9—10 тонкими треугольного сечения ребрами, из которых 6—7 находятся на переднем и 3 на заднем полях. Все ребра несут на себе следы шипов. Ребра на переднем поле далеко отстоят друг от друга. Ширина межреберных промежутков увеличивается в направлении к килю. Внутренняя поверхность створок в примакушечной части гладкая. Замочный край в левой створке отогнут вверх. Прямо перед макушкой имеется один кардинальный зуб, загнутый кверху. На некоторых экземплярах *R. carasi*, описанных Екелиусом из сарматских отложений Сочени, этот зуб плоско расширен и сливается с расширенным замочным краем. Кроме того, по Е. Екелиусу в левой створке имеется также передний, зачастую расширенный и загнутый кверху боковой зуб. В правой створке имеется 1—2 кардинальных зуба, которые у более взрослых экземпляров расположены параллельно плоскости раздела створок и выдаются над макушкой.

Кроме того, в левой створке имеется мощный передний боковой зуб, сильно загнутый кверху и один задний, более или менее недоразвитый боковой зуб. Описание замочного края правой створки взято по Е. Екелиусу, так как в нашем распоряжении имеются лишь левые створки.

Сходство и различие. *Replidacna carasi* наиболее близко подходит к тому экземпляру этого вида, который у Е. Екелиуса показан в его работе (1944) на табл. 37, под номером 3. Е. Екелиус сравнивает эту форму с *Cardium politioanei*, описанным им из сарматских отложений Сочени и с *Cardium subfittoni*. От первого вида *R. carasi* отличается гораздо более плоской, менее неравносторонней с прямым замочным краем раковиной. Кроме того, у *R. carasi* типичный для этого подрода замок. От *Cardium subfittoni* *R. carasi* отличается как характером замка, так и вторичными ребрами, которые всегда бывают гладкими, без шипов, в то время, как у *C. subfittoni* все ребра несут шипы.

Местонахождение и распространение. Встречаются в среднесарматских слоях Прикаспийского района (гора Чахмах).

*Replidacna levicostata* Jekelius

Таблица, рис. 3—4.

1944. *Replidacna levicostata* Jekelius, стр. 107, табл. 37, фиг. 14—18.

Лектотип. АзНИИ по добыче нефти.

Типичное местонахождение. Прикаспийский район. Гора Чахмах.

Описание. Раковины небольшие, выпуклые, удлиненно-округло-четырехугольной формы, с несколько расширенными передним и задним полями. Замочный край прямой. Макушки небольшие. Киль округлый, хорошо выраженный.

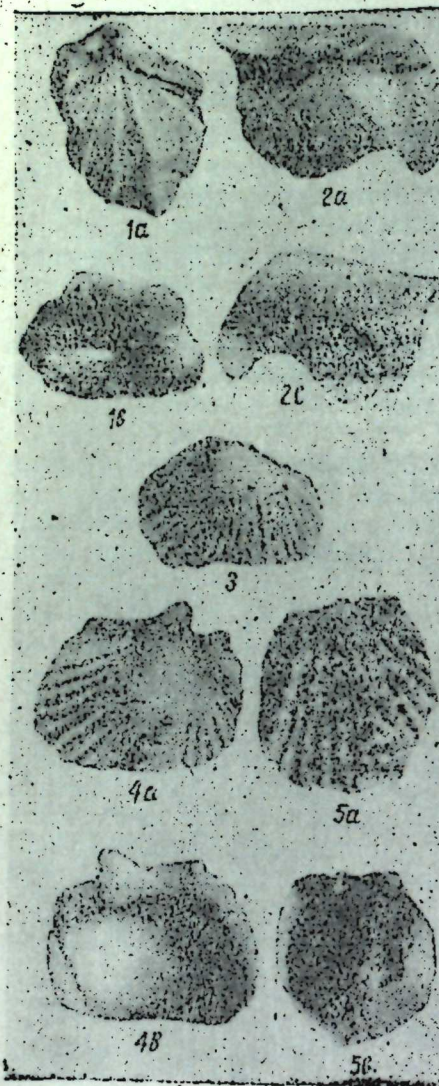
Поверхность покрыта 21—22 ребрами, из которых 7 расположены на заднем поле и 14—15 на переднем. Ребра переднего поля плоско-округлые с межреберными промежутками, равными ширине ребер, по направлению к макушке делаются незаметными. Задние ребра также округлые, сильно уплощенные. Последнее ребро заднего поля,

идущее вдоль замочного края, несет на себе слаборазвитые шипы. Замочный край изогнут кверху. Прямо, впереди макушки, на правой створке имеется один крупный, сильно развитый и еще один небольшой, лежащий впереди него, кардинальные зубы. Продолжение замочного края правой створки обломано.

В левой створке замочный край изогнут кверху, особенно в передней его части и образует гладкий валик. Один кардинальный зуб, также отклонившийся кверху, совершенно сливается с замочным краем. Боковые зубы не сохранились. Внутренняя поверхность гладкая.

**Сходство и различие.** *Replidacna levicostata* Jek. обнаруживает сходство с *Replidacna azerbaijanica* n. sp., (in litt.) из среднего сармата Прикаспийского района Азербайджана, от которой отличается меньшим количеством ребер и строением замочного аппарата.

**Местонахождение и распространение.** Встречается в песчано-глинистых отложениях среднего сармата Прикаспийского района (гора Чахмак).



### *Replidacna alpocensis* Jekelius

Таблица, рис. 5.

1944. *Replidacna alpocensis* Jekelius стр. 108, табл. 38, фиг. 1—18.  
Лектотип. АЗНИИ по добыче нефти.

**Типичное местонахождение.** Прикаспийский район. Гора Чахмак.

**Описание.** Раковина маленькая, округло-четырехугольной формы, слабовыпуклая, почти равносторонняя. Замочный край прямой. Макушка небольшая, тупая. Киль острый. Впереди от него располагаются 15 узких круглых ребер, из них 8 главных, покрытых бугорками. Между ними имеются 7 более слабых ребрышек, которые до макушки не доходят. На них также заметны бугорки, но более слабые, а неко-

торые из них вообще лишены их. На заднем, слабовогнутом поле, проходит 4 округлых, слаборазвитых ребра, без бугорков.

Замок правой створки состоит из одного довольно мощного заднего и одногоrudimentарного переднего кардинального зубов. Боковые зубы не сохранились. Внутренняя поверхность гладкая. Замок левой створки по Е. Екелиусу состоит из мощного переднего иrudimentарного заднего кардинальных зубов, а также из одного переднего латерального зуба.

**Сходство и различие.** *R. alpocensis* Jek. почти ничем не отличается от *R. alpocensis*, описанной Е. Екелиусом из сарматских отложений Сочени. Оба вида имеют типичный для этого подрода одинаково построенный замок. Кроме того, уплощенное переднее поле раковины с хорошо выраженным килем и сравнительно узкие ребра с бугорками остаются типичными для всех экземпляров этого вида. Однако следует отметить, что наш экземпляр от типа отличается несколько сильнее развитыми кардинальными зубами на правой створке.

Е. Екелиус сравнивает *R. alpocensis* с *R. aureliana* Jek., от которой вышеизложенная форма отличается большим количеством ребер и их характером.

**Местонахождение и распространение.** Встречается в среднесарматских отложениях Прикаспийского района (гора Чахмак).

### ЛИТЕРАТУРА

1. Jekelius E. Sarmat und Pont von Soceni (Banat). Memorile Institutului Geologic al Romaniei. Vol V. 1944.
2. Али-Заде А. А. Акчагыл Туркменистана, т. II. Изд. „Недра“, М., 1967.

АЗНИИ нефтедобычи

Поступило 26. II 1969

Э. Э. Элизадэ, О. И. Рыбина

Азэрбајҹанын Сармат чөкүнүләриндә раст кәлән  
*Replidacna* јарымчининиң нұмајәндәләри һағында

### ХУЛАСӘ

Мәгаләдә *Replidacna* јарымчининиң уч нұмајәндәсинин палеонтологи тәсвири верилмишdir. Ыемин нөвләр Хәзәрjanы-Губа қеоложи вилајетинде Чахмаг дағынын Сармат чөкүнүләриндә раст кәлмишdir. Бу јарымчинс биринчи дәфә 1944-чү илдә Е. Јекелиус тәрәфиндән Румынијанын Сармат чөкүнүләриндә—Соченидә Банат дағлары этрагы саһәдә тапталыш вә тәсвири едилмишdir.

Иемин јарымчинс биринчи дәфә Э. Э. Элизадэ тәрәфиндән ССРИ-нин чәнубида Неокен чөкүнүләриндә, Туркмәнистанын, даһа соңра Азэрбајҹанын ағчакыл сүхурларында ашара чыхарлымышды. Бу јарымчининиң нұмајәндәләринин фототәсвири мәгаләдәкі палеонтологи чәдвәлдә верилмишdir.

ФИЗИОЛОГИЯ РАСТЕНИЙ

З. С. АЗИЗБЕКОВА, С. Г. ГУСЕЙНОВА

ИЗМЕНЕНИЕ СОДЕРЖАНИЯ КАЛИЯ И ФОСФОРА В ЛИСТЬЯХ  
И КОРНЯХ ХЛОПЧАТНИКА В ЗАВИСИМОСТИ ОТ УСЛОВИЙ  
ПИТАНИЯ НА РАЗНОКАЧЕСТВЕННОМ ЗАСОЛЕНИИ

(Представлено академиком АН Азербайджанской ССР М. Г. Абуталыбовим)

Калий играет большую роль в жизни растений. Довольно много физиологических и физико-химических функций исследователи связывают с наличием калия в организме. Например, калий принимает участие в образовании и накоплении углеводов, которые в свою очередь влияют на азотный обмен растений. По данным Okamoto Saburo (1966) недостаток калия вызывает уменьшение сырого и сухого веса, количества общего и нерастворимого азота. В. Л. Курсанов (1962) указывает на то, что калий принимает участие в синтезе пептидных связей при образовании белковых молекул. И, возможно, поэтому при калийном голодании тормозится синтез белка.

По данным Greenway (1963), независимо от уровня питания засоление повышало содержание хлора и понижало содержание калия, а при низком уровне питания высокая концентрация засоления вызывала выделение калия в среду. По данным Корбетта, Госмана (1958), Дейкхорма (1958) хлориды способствуют понижению содержания таких жизненно важных элементов минерального питания как фосфор, азот и калий. «Физиологическая недостаточность» этих питательных веществ в засоленных почвах, по мнению Ковды (1947), объясняется, во-первых, высокой концентрацией солей в почве, поникающей диссоциацию и ведущей к выпадению части соединений из раствора в осадок и, во-вторых, высоким осмотическим давлением почвенного раствора, затрудняющего поступление последних в ткани растений.

Необходимо отметить, что на разнокачественном засолении вопросу изменения поступления одних ионов в зависимости от количества другого иона удалено очень мало внимания. Поэтому мы задались целью изучить влияние разнокачественного засоления и повышенного уровня минерального питания на содержание фосфора и калия в листьях и корнях хлопчатника, выращенного в условиях вегетационного домика в почвенной культуре. Результаты проводимых исследований приведены в таблице, судя по которой, соли разного качества по-разному действуют на распределение и накопление калия и фосфора в листьях и корнях хлопчатника. Причем, сульфатные соли способст-

Содержание общего фосфора и калия в листьях и корнях хлопчатника на разнокачественном почвенном засолении, % на сухое вещество

Качество засоление	Варианты опыта	Органы растений	Фазы развития							
			Ранняя фаза		Бутонизация		Цветение		Плодоношение	
			Фос-фор	Калий	Фос-фор	Калий	Фос-фор	Калий	Фос-фор	Калий
Хлоридное засоление	Контроль — почва не засолена+ нормальный нафтель	Листья Корни	5,8 3,4	5,75 7,25	5,35 3,0	4,25 4,45	4,0 2,5	5,30 6,9	2,75 3,35	4,15 3,25
	0,7% засоление+ нормальный нафтель	Листья Корни	1,75 2,18	4,0 4,56	1,4 2,0	3,35 3,55	1,15 2,83	2,98 1,89	1,25 1,55	3,49 2,67
	0,7% засоление+ двойной нафтель	Листья Корни	2,25 3,1	5,94 5,25	1,64 2,78	5,34 4,98	1,29 2,87	3,8 1,79	1,27 1,71	3,16 2,48
	0,7% засоление+ тройной нафтель	Листья Корни	2,2 2,75	6,94 6,25	1,78 2,79	4,82 4,28	1,49 2,86	3,59 2,46	1,45 2,28	3,7 4,15
	0,7% засоление+ нормальный нафтель	Листья Корни	3,05 2,49	4,35 4,89	1,76 2,35	3,72 4,05	1,5 3,18	3,28 2,24	1,06 2,1	3,81 2,98
	0,7% засоление+ двойной нафтель	Листья Корни	2,56 3,45	6,18 5,59	1,98 3,15	5,67 5,18	1,32 3,19	4,2 2,15	1,56 2,16	3,48 2,84
	0,7% засоление+ тройной нафтель	Листья Корни	2,54 3,05	7,0 6,75	2,1 3,19	5,05 4,63	1,79 3,17	4,07 2,79	1,96 2,65	4,0 4,48
	0,7% засоление+ нормальный нафтель	Листья Корни	1,35 1,78	3,62 4,17	0,96 1,55	2,97 3,12	0,75 2,43	2,56 1,52	0,87 1,14	3,05 2,25
Сульфатное засоление	0,7% засоление+ двойной нафтель	Листья Корни	1,74 2,7	5,5 4,8	1,23 2,35	4,87 3,84	0,87 2,42	3,34 1,34	0,87 1,28	2,66 2,0
	0,7% засоление+ тройной нафтель	Листья Корни	1,8 2,3	6,54 5,7	1,35 2,39	4,44 3,53	1,09 2,45	3,18 2,0	1,04 1,82	3,26 3,79
Карбонатное засоление	0,7% засоление+ нормальный нафтель	Листья Корни	1,35 1,78	3,62 4,17	0,96 1,55	2,97 3,12	0,75 2,43	2,56 1,52	0,87 1,14	3,05 2,25
	0,7% засоление+ двойной нафтель	Листья Корни	1,74 2,7	5,5 4,8	1,23 2,35	4,87 3,84	0,87 2,42	3,34 1,34	0,87 1,28	2,66 2,0
	0,7% засоление+ тройной нафтель	Листья Корни	1,8 2,3	6,54 5,7	1,35 2,39	4,44 3,53	1,09 2,45	3,18 2,0	1,04 1,82	3,26 3,79

вуют более интенсивному накоплению как фосфора, так и калия. Например, в период раннего развития растений листья при сульфатном засолении при внесении в почву нормального нафтеля содержат 3,5%, при хлоридном — 1,75, а при карбонатном — 1,35, соответствующий контрольный вариант содержит 5,8% фосфора. Известно, что каждый элемент (в том числе калий и фосфор) поступает прежде всего в потребляющие органы растений. Так поглощенный калий и фосфор быстро поступают в надземные органы (как потребляющие органы). Избыток его накапливается в корнях (Е. И. Ратнер, 1950). При недостатке же их корни обедняются как калием, так и фосфором раньше, чем все другие органы. Поэтому первым признаком калийной недостаточности в растении следует считать обеднение калием корней. Например, в ранней фазе развития в корнях при сульфатном засолении почвы в применении нормального нафтеля фосфора даже меньше, чем в листьях

несмотря на то, что почти во всех других вариантах содержание его в корнях больше, чем в листьях.

Повышение уровня минерального питания способствует накоплению калия в органах хлопчатника, в частности в листьях. Особенно большим содержанием калия отличаются листья до фазы бутонизации. К фазе образования репродуктивных органов содержание калия уменьшается. Аналогично изменяется и содержание фосфора, но в меньшей степени. В период образования репродуктивных органов процентное содержание калия и фосфора падало.

Необходимо отметить, что из результатов наших исследований следует, что особенно неравномерное распределение элементов минерального питания замечается в ранние фазы развития хлопчатника. Эти различия, постепенно нарастают, в последующие фазы развития растений, достигают своего максимума к периоду формирования репродуктивных органов.

Помимо всего, повышение уровня минерального питания, повышая поступление питательных веществ, способствует увеличению вегетативной массы, что играет решающую роль в формировании урожая. При повышении уровня минерального питания, когда наступает избыточное поступление калия в растения, содержание его увеличивается. Например, при сульфатном засолении в период раннего развития с нормальным нафтелем в почве содержание фосфора в корнях равняется 2,49%, а при внесении двойного нафтеля его содержание увеличивается до 3,45%.

Из таблицы следует, что калия в растениях содержится несколько больше, чем фосфора. Максимальное количество его такое же, как и фосфора в период раннего развития, затем содержание его уменьшается.

### Выводы

1. Сульфатное засоление способствует более интенсивному накоплению как фосфора, так и калия. Несколько меньше его накапливается при хлоридном засолении, где вместе с тем нарушается распределение этих элементов по органам растения. Минимальное количество калия и фосфора замечаем при карбонатном засолении.

2. Уровень питания хлопчатника является одним из важнейших факторов, определяющих высоту урожая, способствуя увеличению вегетативной массы растения.

3. Повышение уровня минерального питания способствует повышению содержания таких жизненно важных элементов минерального питания, как калий и фосфор.

### ЛИТЕРАТУРА

1. Куреанов А. Л. Внутренняя организация физиологических процессов у растений и новые принципы в растениеводстве. Вест. АН СССР, № 9, 1962.
2. Ковда В. А. Происхождение и режим засоленных почв. Изд-во АН СССР, 1947.
3. Ратнер Е. И. Сб. „Проблемы ботаники”, вып. 1, 427, 1950.
4. Удовенко Г. В. Влияние калия и хлора на рост, поглощающую способность и синтезирующую деятельность корневой системы. „Физиология растений”, 13, № 5, 1966.
5. Okamoto Saburo, Oji Joshiro. Влияние минерального питания на изменение обмена веществ в корнях растений, 1966.
6. Grenway H. Влияние засоленного субстрата на растения. Влияние засоленных субстратов на рост и поглощение ионов у ячменя при засолении хлористым натрием, 1963. Austral J. Biol. 16, № 3.
7. Corbett E. G., Gaustaf H. W. Maine Farm Res, v. 6 № 2. 1959.
8. Dijkshoorn W. J. Agric Sci., v. 6, № 2. 1958.

З. С. Элизбэрова, С. Н. Үүсеинова

Мүхтәлиф дузлуулугда бечәрилән памбыг биткисинин јарлаг вә көкүндә гида шәраптиндән асылы олараг калиум вә фосфор мигдарының дәжишмәси

### ХУЛАСЭ

Мүхтәлиф кејфијәтли дузларын памбыг биткиси органларында калиум вә фосфорун топланмасына, пајланмасына тә'сири Өјрәнилмишdir.

Тәдгигатлар нәтичәсендә мә'лум олмушдур ки, сульфат дузлары һәмин элементләрин топланмасына мүсбәт тә'сир едир, карбонат дузлары бу элементләрни дахил олмасы вә пајланмасына манечилик төрәдир, хлор дузлары исә аралыг мөвгә тутур. Харичи мүнитдә гида маддәси чох олдугда дузун кејфијәтиндән асылы олмајараг фосфор вә калиумун биткијә дахил олмасы вә пајланмасы сүр'этләнир ки, буда биткиләрин физиологи вәзијәтини Яаҳшылашдырыр.

БИОМЕТРИЯ

Д. М. ЗАФЕРМАН, Б. Г. КАПЛАН

МАТЕМАТИЧЕСКАЯ ФОРМАЛИЗАЦИЯ ИНТУИТИВНЫХ  
ОЦЕНОК КОАГУЛИРУЮЩЕЙ СПОСОБНОСТИ КРОВИ  
ПО БИОХИМИЧЕСКИМ И ТРОМБОЭЛАСТОГРАФИЧЕСКИМ  
ПОКАЗАТЕЛЯМ С ПРИМЕНЕНИЕМ АНАЛИЗА  
ПО ГЛАВНЫМ КОМПОНЕНТАМ

(Представлено академиком АН Азербайджанской ССР В. Р. Волобуевым)

Коагулирующая способность крови (КСК) — важнейший фактор, определяющий вероятность тромбообразования или кровотечения. Оценка степени КСК необходима для установления дозировок лекарственных средств, влияющих на свертываемость. Нами предпринята попытка осуществить подготовительный этап для вывода формул дозировок лекарственных средств.

На тромбообразование влияет не только степень КСК, но и характер потока крови, состояние внутренней поверхности сосудов [1, 2]. Эти факторы связаны друг с другом и с показателями степени КСК, которые дают возможность судить о вероятности тромбообразования или кровотечения.

Непосредственная оценка вероятности требует ряда наблюдений по каждому сочетанию показателей КСК. Но практически нет и двух больных с одинаковыми сочетаниями показателей. Реальное решение задачи состоит, на наш взгляд, в следующем: предположить, что большая часть интуитивных оценок степени КСК в целом на основе совокупности отдельных объективных показателей — оценок, данных высококвалифицированными врачами, близка к истине, что ошибки распределены нормально и вывести соответствующую расчетную формулу.

Исходные данные были предоставлены группой врачей Астраханского Государственного медицинского института под руководством проф. Э. Ш. Халфена — инициатора настоящей работы. Оценкам КСК при гипокоагуляции были присвоены значения —400, —300, —200, —100, при норме 0, при гиперкоагуляции 100, 200, 300, 400.

В качестве критерия относительной значимости показателей КСК принята величина

$$\rho_{yx_i} \cdot \frac{\sigma_y}{\sigma_{x_i}}, \quad (1)$$

где:  $\sigma_y$  — среднее квадратичное отклонение  $y$  (КСК),  
 $\sigma_{x_i}$  — среднее квадратичное отклонение  $i$ -го показателя;  
 $\rho_{yx_i}$  — частный коэффициент корреляции.

После ранжирования по (1) из 13 показателей было отброшено 4 незначимых. При исследовании (1) обнаружены "зоны нечувствительности"  $y$  к  $x$ : в интервалах  $x_1 = 9 \div 11$ ,  $x_2 = 9 \div 13$ ,  $x_3 = 80 \div 120$ ,  $x_4 = 6 \div 8$ ,  $x_5 = 80 \div 100$ ,  $x_6 = 180 \div 220$ ,  $x_7 = 30 \div 70$ ,  $x_8 = 50 \div 145$ ,  $x_9 = 5 \div 9$  подтверждена гипотеза  $\bar{y} = 0$ .

Для вывода уравнений по данным пассивного эксперимента обычно применяется метод наименьших квадратов. В [3] отмечен основной недостаток метода: даже если уравнение в целом значимо, коэффициенты регрессии часто оказываются незначимыми. Поэтому ввиду невозможности активного эксперимента нами применен анализ по главным компонентам [4, 5]. Принято нормирование вида:

$$z_i = \frac{x_i - \bar{x}_i}{\sqrt{ND_i}} \quad (2)$$

где:  $D_i$  — дисперсия  $i$ -го показателя,  $N$  — количество наблюдений. При таком нормировании матрица ковариаций становится корреляционной.

Пусть  $a_i = a_{1i}, a_{i2}, \dots a_{in}$  — собственный вектор матрицы, принадлежащий собственному значению  $\lambda_i$ . Уравнение регрессии по главным компонентам имеет вид:

$$y = b_0 + \sum_{i=1}^n b_i u_i = b_0 + \sum_{j=1}^k \sum_{i=1}^n b_i z_{ij} z_i, \quad (3)$$

где  $k = n$  лишь при использовании всех главных компонентов, иначе  $k < n$ . При отбрасывании последних главных компонентов, начиная с  $(m+1)$ -го, доля учтенной дисперсии  $y$  составит:

$$\delta = \frac{\lambda_1 + \lambda_2 + \dots + \lambda_m}{\lambda_1 + \lambda_2 + \dots + \lambda_m + \lambda_{m+1} + \dots + \lambda_n}; \quad (4)$$

При этом в суммах (3) будет отброшено столько последних слагаемых, сколько отброшено последних главных компонентов. Получаемое приближение к модели процесса связано с риском появления систематической ошибки за счет того, что с "шумом" может уйти часть цennой информации. Отсюда — критерий выбора количества отбрасываемых последних главных компонентов, вносящих наибольшую дисперсию в коэффициенты регрессии (дисперсия  $b_i$  5 равна  $D\{b_i\} = \frac{\sigma^2\{y\}}{\lambda_i}$ ), где

$\sigma^2\{y\}$  — ошибка эксперимента; чем больше индекс  $i$ , тем меньше  $\lambda_i$  [6] и больше,  $D\{b_i\}$  в то время как наибольшая доля изменения  $y$  заключена в первых главных компонентах.

Нами получено уравнение вида:

$$y = \sum_{i=1}^5 (a_i x_i + a_{ii} x_i^2) + \sum_{j=7}^9 a_j x_j + f(x_6), \quad (5)$$

где:  $x_1$  — разность между фактическим значением толерантности плазмы к гепарину и ближайшей границей "зоны нечувствительности". При разности в сторону гиперкоагуляции  $x_1$  берется со знаком +, в сторону гиперкоагуляции со знаком -. Внутри зоны (включая границы)  $x_1$  приравнивается нулю;  $f(x_6)$  (по Гормсену):

$x_2$  — то же по тромбоэластографическому показателю  $R$ , мм,  
 $x_3$  — то же по времени рекальцификации, сек (по Хаэллу),  
 $x_4$  — то же по свободному гепарину, сек (по Пиптеа),  
 $x_5$  — то же по протромбиновому индексу, % (по Квику и Б. А. Кудряшову),

$x_6$  — то же по времени фибринолиза, мин (по Ковалевскому),  
 $x_7$  — то же по гепариновому времени, сек (по Н. З. Абросимову),  
 $x_8$  — то же по тромбопластической активности, усл. ед. по П. Д. Улининой и Б. А. Кудряшову),  
 $x_9$  — то же по времени свертывания (по Ли и Уайту).

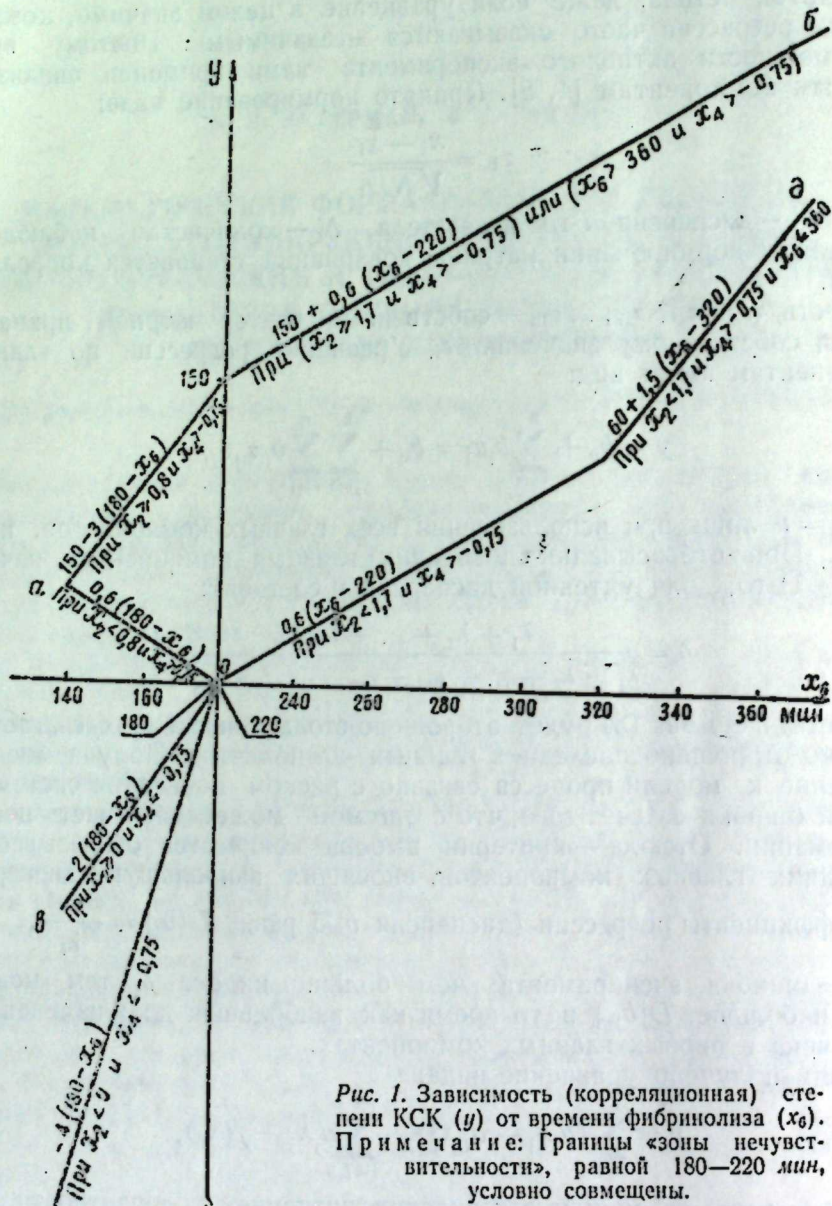


Рис. 1. Зависимость (корреляционная) степени КСК ( $y$ ) от времени фибринолиза ( $x_6$ ). Примечание: Границы «зоны нечувствительности», равной 180–220 мин, условно совмещены.

$f(x_6)$  определяется по графику, представленному на рисунке. Уравнения регрессии по отдельным участкам  $f(x_6)$  согласуются с биологической трактовкой фибринолитической активности: при росте КСК

срабатывает защитная реакция и время фибринолиза падает, но затем защитный механизм слабеет и начинает расти (участок  $oba$  на рисунке). При расстройстве системы  $f(x_6)$  существенно меняется (участки  $ov$ ,  $og$ ,  $od$ ). На рисунке указаны условия, при которых следует рассматривать ту или иную часть  $f(x_6)$ .

Время фибринолиза не коррелировано ни с одним из других показателей; парные коэффициенты корреляции между другими показателями заключены в основном в пределах от 0,3 до 0,75.

Коэффициенты при  $x_1, \dots, x_5$  и при квадратах этих показателей получены путем регрессионного анализа по первым 6 главным компонентам выборки, в которой  $x_7, \dots, x_9$  находились в «зоне нечувствительности». Эти компоненты учитывают по [4] более 99% общей дисперсии  $y$  в выборке. Прочие коэффициенты (5) найдены по выборкам типа однофакторного эксперимента. Значения коэффициентов (в скобках — доверительные интервалы при 1%-ном уровне значимости):

$$a_1 = 40 (4,3); \quad a_{11} = 1,9 (0,3); \quad a_2 = 19,8 (2,4); \quad a_{22} = -0,9 (0,08)$$

$$a_3 = \begin{cases} 1,4 (0,2) & \text{при } x_3 \geq -50; \\ 0,5 (0,1) & \text{при } x_3 < -50; \end{cases} \quad a_{33} = \begin{cases} 0,02 (0,004) & \text{при } x_3 \geq -50; \\ 0 & \text{при } x_3 < -50; \end{cases}$$

$$a_4 = 27 (2,9); \quad a_{44} = 3,1 (0,26);$$

$$a_5 = \begin{cases} 0,8 (0,2) & \text{при } x_5 \geq -30; \\ -1,1 (0,2) & \text{при } x_5 < -30; \end{cases} \quad a_{55} = \begin{cases} 0 & \text{при } x_5 \geq -30; \\ -0,07 (0,01) & \text{при } x_5 < -30; \end{cases}$$

$$a_7 = \begin{cases} 5 (1,2) & \text{при } x_7 > 0 \text{ и } x_2 \leq 0; \\ 20 (5) & \text{при } x_7 > 0 \text{ и } x_2 > 0; \\ 0,5 (0,1) & \text{при } x_7 \leq 0; \end{cases}$$

$$a_8 = \begin{cases} 26 (8) & \text{при } x_8 > 0; \\ 7 (1,5) & \text{при } x_8 < 0; \end{cases} \quad a_9 = \begin{cases} 100 (10) & \text{при } x_9 > 0; \\ 10 (2) & \text{при } x_9 < 0; \end{cases}$$

Относительно узкие доверительные интервалы позволяют выдвинуть гипотезу о том, что коэффициенты отражают соотношения между значимостями влияния показателей на степень КСК. В 73% случаев степень КСК по (5) отличалась от предварительных оценок не более, чем на 50 единиц (при «шкале» от -400 до +400, т. е. 800 единиц). Дальнейший клинический анализ показал, что в остальных случаях были ошибки в исходных оценках.

Таким образом (5) может быть принято в качестве расчетной формулы для определения степени КСК.

#### ЛИТЕРАТУРА

- Чазов Е. И. Тромбозы и эмболии в клинике внутренних болезней. Медицина, М., 1966.
- Халфен Э. Ш., Орлова Н. П., Кучерова Г. П., Сучкова Е. Н. О клиническом значении исследования протромбиновой активности и некоторых биохимических показателей при наклонности крови к тромбообразованию. Терапевтический архив, 1967, № 7.
- Налимов В. В., Чернова Н. А. Статистические методы планирования экстремальных экспериментов. «Наука», М., 1965.
- Radhakrishna Rao. The Use and Interpretation of Principal Component Analysis in Applied Research. Sankhyā. The Indian Journal of Statistics, Ser. A, V. 26, p. 4, Dec. 1964.
- Петerson И. Применение метода главных компонентов для описания технологических процессов с коррелированными входными параметрами. Изв. АН ЭССР, серия физ.-мат. и техн. наук, 1965, № 4. 6. Anderson T. Введение в многомерный статистический анализ. Физматгиз, 1963.

Азгосмединститут им. Н. Нариманова

Поступило 23. IV 1968

МОЛЕКУЛЯРНАЯ БИОЛОГИЯ

Р. Д. ГУСЕЙНОВ

РЕЦЕПТОРНАЯ СПЕЦИФИЧНОСТЬ ПРИ ВЗАИМОДЕЙСТВИИ  
БАКТЕРИЙ ГРУППЫ *ESCHERICHIA COLI*  
С „ТЕНЯМИ“ ФАГА T4

(Представлено академиком АН Азербайджанской ССР А. А. Кулиевым)

Беловые оболочки или „тени“ T-четных фагов способны адсорбироваться и убивать только чувствительные клетки, т. е. они сохраняют тот спектр лизического действия, который присущ соответствующим интактным фаговым частицам. Имеются основания считать, что клеточная оболочка бактерий, а именно ее липопротеидный и липополисахаридный слои содержат участки, которые играют роль рецепторов для органов адсорбции фага, а спектр лизического действия определяет специфичность этих рецепторов [10, 11]. Найдены мутанты *E. coli*, которые приобрели устойчивость к какому-нибудь из фагов T-серии. Оказалось, что в их клеточных оболочках не содержится некоторых, определенных для данного мутанта соединений, которые обязательно имеются у чувствительных бактерий [12, 13]. Поэтому этим соединениям приписывается та рецепторная активность, которая определяет специфическое соединение по типу „ключа и замка“ участков оболочки с рецепторами хвостового отростка фага. Роль последних выполняют концы длинных нитей и, возможно, зубцы базальной пластинки хвостового отростка.

Далее известно, что некоторые мутанты фага T4 и T6 адсорбируются на клетке-хозяине только в присутствии обязательного кофактора l-триптофана [14]. В ряде работ показано, что в присутствии l-триптофана происходит освобождение длинных нитей отростка от связи с хвостовым чехлом. Следует отметить, что в недавней работе Симона и Андерсона [8] получены факты, согласно которым в случае фага T4 (штамм, нуждающийся в l-триптофане) добавление триптофана приводит к быстрой ориентации хвостовых нитей и фага в целом относительно оболочек бактерий.

Нами изучались условия проявления „killing“-действия „теней“ фага T4. В результате обнаружено, во-первых, что мутант бактерии *E. coli* B/4, устойчивый к фагу T4, после кратковременной обработки этилендиаминтетраацетатом (ЭДТА) приобретает чувствительность в отношении „killing“-действия „теней“ фага T4. Во-вторых, оказалось, что „тени“ фага T4 штамма, нуждающегося в l-триптофане, в отличие

от интактного фага, не требуют триптофана для „killing“-действия на чувствительные бактерии.

В работе использовались фаг T4 (штамм, нуждающийся в l-триптофане) и бактерии *E. coli*, штаммы B, B/2, B/4. Концентрат фага T4 получали по методу Сванстрома и Адамса [9]. Мутанты *E. coli* B/2 и B/4 получали путем высева на чашку бактерий *E. coli*. В совместно с соответствующим фагом и последующего 3-кратного пересева полученных резистентных форм на свежий агар. „Тени“ фага T4 готовили по методике, применявшейся Андерсоном [3]. Титр фага и число жизнеспособных бактерий определяли по методикам, описанным у Адамса [1]. Во всех опытах использовалась бактериальная суспензия в соответствующей смеси для адсорбции, полученная после 3-кратного подращивания клеток в мясо-пептонном бульоне до концентрации  $4 \times 10^8$  кл./мл. Использовались перекристаллизованные соли NaCl и ЭДТА; применялся dl-триптофан (Calbiochem) в концентрации 0,04%. Для приготовления бактерий, обработанных ЭДТА, осадок клеток *E. coli* B/4 ресуспенсировали в 0,2 объема МПБ, к суспензии добавляли 0,7 объема 0,01M раствора ЭДТА в 0,1 трис-буфере pH с 0,2 M NaCl и инкубировали смесь 3 мин при 37°C. Затем смесь центрифугировали и осадок клеток отмывали и ресуспенсировали в исходном объеме той же среды, но без ЭДТА, pH 7. Полученную суспензию обрабатывали в течение 10 мин при 37°C „тенями“ фага T4 и определяли количество жизнеспособных бактерий.

Типичные данные по выживаемости бактерий представлены в табл. 1, в которой для сравнения приводятся также данные по чувствительности бактерий *E. coli* B и B/2 к „теням“ фага T4.

Таблица 1

„Killing“-действие „теней“ фага T4 на предварительно обработанные клетки *E. coli* B/4

Среда для предварительной обработки бактерий (инкубация 3 мин. 37°C)	Штамм бактерий	Титр бактерий после предварительной обработки $\times 10^5$	Титр предварительно обработанных бактерий после инкубации с „тениями“ (10 мин 37°C) $\times 10^5$
NaCl + трис	B	3 500	150 $m = 10$
· + ·	B/2	5 000	250 $m = 10$
· + ·	B/4	4 000	4 000 $m = 20$
· + · + ЭДТА	B/4	4 500	1 $m = 20$

*m*—число фаговых эквивалентов на клетку.

Из данных таблицы следует, что препараты „теней“ фага T4 эффективно убивают чувствительные клетки *E. coli* B и B/2, но не действуют на резистентные клетки *E. coli* B/4. Однако эти резистентные клетки после инкубации в растворе трис-ЭДТА приобретают высокую чувствительность к „теням“ фага T4, так что при множественности 20 фаговых эквивалентов за 10 мин погибают практически все клетки.

Далее изучалась потребность „теней“ фага T4 в l-триптофане. Как показали наши опыты, „тени“, полученные осмотическим шоком из фага T4, который для инфицирования чувствительных клеток нуждается в триптофане, не обнаруживает потребности в этом кофакторе для проявления „killing“-действия на чувствительные бактерии. Типичные результаты опытов даны в табл. 2. Видно, что „killing“-эффект „теней“ в отсутствие триптофана сохраняет обычно наблюдаемые черты взаимодействия с клеткой, а именно, он имеет место только в

отношении чувствительных бактерий, не проявляясь на резистентных клетках *E. coli* B/4. Кроме того, "killing"-эффект полностью подавляется ЭДТА, т. е. в том случае, когда необратимая адсорбция "теней" не сопровождается срабатыванием механизма нормального сокращения хвостового чехла [5,2]. Следует считать, что процедура осмотического шока приводит к активации нитей хвостового отростка, которая должна быть аналогична наблюдавшейся при действии триптофана.

Таблица 2

Зависимость "killing"-действия "теней" фага T4 от кофактора адсорбции L-триптофана

Условия обработки и тип бактерий* (инкубация 10 мин 37°C)	К-во жизнеспособных клеток до обработки "тениями" × 10 <sup>5</sup>	К-во жизнеспособных клеток после обработки "тениями" × 10 <sup>5</sup>
<i>E. coli</i> B + "тени" T4	3 500	25
"+" + "+" + трипт.	3 500	15
"+" + "+" + ЭДТА	3 500	3 500
<i>E. coli</i> B/2 + "тени" T4	4 000	50
"+" + "+" + трипт.	4 000	40
<i>E. coli</i> B/4 "тени" T4	4 000	4 000
"+" + "+" + трипт.	4 000	4 000

\* Среда для обработки бактерий "тениями": 20% МПБ в 0,14 М NaCl 0,04% dl-триптофана+0,01 М ЭДТА.

Если исходить из общепринятой схемы взаимодействия фага со специфическими рецепторами чувствительной бактерии, то обнаруженный факт появления чувствительности у клеток *E. coli* B/4 к "тениям" фага T4 при обработке в растворе трис-ЭДТА означает, что при этом клетки *E. coli* B/4 приобретают нормальную рецепторную активность. Такой вывод находится в противоречии с общепринятым представлением о рецепторах к фагу и их утрате при мутации B→B/4.

Факт появления чувствительности у резистентных клеток к фагу T4 можно объяснить различным образом.

Во-первых, можно предположить, что рецепторная функция определяется комплексом из неспецифического компонента, присутствующего как в исходном, так и мутантном штамме, и дополнительных химических факторов или окружения, изменяющих рецепторную специфичность при мутации B→B/4.

Во-вторых, можно считать, что в результате исчезновения части липополисахаридного слоя [7] изменяется проницаемость оболочки бактерии для веществ, присутствующих в шокате и оказывающих ингибирующее действие на клетку.

Согласно первому предположению различные штаммы бактерий должны отличаться друг от друга тем, что их неспецифические рецепторные места окружены разными химическими соединениями. Это, возможно, и проявляется в том, что в оболочках мутантов, резистентных к тем или иным фагам, не обнаруживается некоторых химических соединений, которые имеются у исходных штаммов бактерий [12, 13].

Представление о неспецифичности собственно рецепторов не противоречит данным по АПФ-активности (АПФ-агент, подавляющий фаг различных слоев клеточной оболочки [10, 11]), так как нельзя утверждать, что процедура фракционирования различных слоев оболочки

приводит к отделению самих рецепторов от окружающих их химических компонент данного слоя. Согласно этим данным рецепторы фага T4 локализованы в липополисахаридном слое бактериальной оболочки. В работе Лайва [7] показано, что с помощью ЭДТА из этого слоя экстрагируется до 45% липополисахаридов. В соответствии с высказанным предположением такой эффект ЭДТА должен приводить к утрате тех химических компонентов, которые переводят неспецифические рецепторы *E. coli* B/4 в неактивную форму.

Если справедливо второе предположение, согласно которому появление чувствительности у *E. coli* B/4 к "тениям" T4 обусловлено изменению проницаемости под влиянием обработки трис-ЭДТА, то бактерицидными агентами, убивающими клетку, могут служить как внутренние белки, так и полiamины, освобождаемые из фаговой головки процедурой осмотического шока.

В настоящее время приводятся исследования по проверке сделанных предположений.

В отношении данных об отсутствии потребности "теней" фага T4 в триптофане можно сказать следующее. Как известно, активация фага триптофаном сопровождается резким увеличением его чувствительности к тиолэстеразной активности ряда соединений, действие которых вызывает такие же изменения в хвостовом отростке, какие наблюдаются при его контакте с оболочкой бактерии [6]. Этот факт сам по себе свидетельствует о том, что раскручивание хвостовых нитей необходимо не только для прикрепления их к оболочке бактерий, но влияет и на состояние хвостового чехла, подготавливая его к последующему сокращению при контакте с клеточной оболочкой. Ту же роль можно приписать и наблюдаемому нами активирующему действию осмотического шока. В связи с этим интересно было бы исследовать в модельных экспериментах влияние отсоединений нитей от хвостового чехла на его сократительную способность.

#### ЛИТЕРАТУРА

1. Адамс М. "Бактериофаги" ИЛ, 1961.
2. Гершанович В. Н., Авдеева И. В., Бурд Г. И., Зуев В. А. Влияние ионов Mg<sup>++</sup> спермина и ЭДТА на синтез галактозидазы и жизнеспособность клеток *E. coli* B, обработанных "тениями" T2\*. "Микробиология", 35, 132, 1966.
3. Barrington L. F., Kozloff L. M. Action of bacteriophage on isolated host cell walls\*. J. Biol. Chem., 223, 615, 1956.
4. Barrington L. F., Kozloff L. M. Action of T2r+ bacteriophage on the host-cell membranes\*. Sci 120, 110, 1956.
5. Dukes P. P., Kozloff L. M. Phosphatases in bacteriophage T2, T4 and T5. J. Biol. Chem., 234, 534, 1959.
6. Frank Gr. B. Evidence for an essential role for calcium in excitation-contraction coupling in skeletal muscle. Proc. Roy Soc ser. B, 160, 504, 1960.
7. Kellenberger E., Arber W. Die Struktur des schwanzes des phagen T<sub>2</sub> und T<sub>4</sub> und des Mechanisms der irreversiblen adsorption Z. Naturforsch, 10b, 698, 1955.
8. Kozloff L. M., Lute M. Action of complexes of the zinc group metals of the tail protein of bacteriophage T2r+. Nature, 176, 1169, 1955.
9. Kozloff L. M., Lute M. Viral invasion III. The release of viral nucleic acid from its protein covering. J. Biol. Chem., 228, 537, 1957.
10. Kozloff L. M., Lute M. Calcium content of bacteriophage T2. Bio. chem. et biophys. Acta, 37, 420, 1960.
11. Kozloff L. M., Lute M. A contractile protein in the tail of bacteriophages T2. J. Biol. Chem., 234, 539, 1959.
12. Simon L. D., Anderson T. F. The infection of *E. coli* by T<sub>2</sub> and T<sub>4</sub> bacteriophages as seen in the electron microscope: I. Attachment and Penetration. Virology 32, 279, 1967.
13. Structure and function of the basalplate\*. Virology, 32, 298, 1967.
14. Swanson M., Adams M. H. Agar layer method for production of high titer phage stocks. Proc. Soc. Exptl. Biol. Med. 78, 332, 1951.
15. Wall R., Kozloff L. M. The nucleosid triphosphate content of bacteriophage. J. Biol. Chem., 237, 1953, 1962.

Поступило 8. IV 1969

Институт общей генетики  
АН СССР

T4 фагы „көлкә“синин *Escherichia coli*  
бактерија групу илэ гаршылыглы специфик  
репектор тэ'сирлэри

## ХУЛАСЭ

*E. coli* груп бактеријасы мүхтэлиф штамларынын T4 фагы „көлкәси“ илэ гаршылыглы тэ'сирлэрини шэрэти өјренилмишдир. Мүэjjэн едилмишдир ки, *E. coli* B/4 бактеријасынын мутанты илэ гыса мүддэт етилендиаминтетрасетатла ишлэдилдикдэн сонра T4 фагына давамлы олмагла онун „көлкә“синин „killing“ тэ'сиринэ гарши һэссаслашыр.

Бундан башга айдынлашдырылмышдыр ки, интакт фагадан фэргли олараг T4 фаганын „көлкә“си һэссас бактеријаларын „killing“ тэ'сирүүчүн L-триптофон тэлэб етмийр.

АГРОХИМИЯ

И. А. ИБРАГИМОВ

### ЭКОНОМИЧЕСКАЯ ЭФФЕКТИВНОСТЬ ФОРМ АЗОТНЫХ УДОБРЕНИЙ ПОД ХЛОПЧАТНИК

(Представлено академиком АН Азербайджанской ССР Д. М. Гусейновым)

В условиях социалистического земледелия для повышения урожая сельскохозяйственных культур есть большие возможности.

Огромное значение имеет применение минеральных удобрений в широком масштабе.

В настоящее время недостаточно определить агрономическую эффективность удобрений, важно знать их экономическую эффективность.

В экономике нашей республики хлопководство играет главную роль. В целях повышения урожая и качества хлопка-сырца необходим правильный режим питания.

А. В. Соколов (1957) указывает, что изменяя состав, количество и скорость поступления питательных элементов в растения, можно увеличить или уменьшить рост, развитие, соотношение между генеративными и вегетативными органами, а также изменить химический состав и качество урожая.

В минеральном питании растений ведущее место принадлежит азотным удобрениям.

Азот является одним из основных элементов, необходимых для жизни растений. Он требуется растительным организмам для синтеза белков, что является основой жизнедеятельности всего живого.

Хлопчатник, как и другие высшие растения, поглощает азот непосредственно из почвы, в основном в виде его минеральных, легко доступных соединений. Как известно, такими соединениями в почве являются аммиачный, нитратный и амидный азот.

В связи с этим в промышленности производятся различные формы азотных удобрений: амидная — мочевина, мочевино-формальдегидные удобрения; нитратная — нитрат кальция; аммиачная — сульфат аммония; аммиачно-нитратная — нитрат аммония и др.

Агрономическую и экономическую эффективности различных форм азотных удобрений изучали в Муган-Сальянской и Кировабад-Казахской зонах Р. К. Гусейнов (1960—1966) и Ф. Г. Ахундов (1964).

В Средней Азии эффективность различных азотных удобрений под хлопчатник изучали М. А. Белоусов (1957—1960), Г. И. Яровенко

(1959—1963), Г. Я. Губанова (1960), М. С. Канаш (1960), И. И. Мадраимов, П. В. Протосов, Г. И. Яровенко (1967).

В зависимости от типа почв, метеорологических условий, сорта растений и агротехники, агрономическая и экономическая эффективность применяемых удобрений различна. С этой целью мы изучали в основном типы почв Мильско-Карабахской зоны, агрономическую и экономическую эффективность различных форм азотных удобрений под хлопчатник.

Полевые опыты проводились на давно орошающей светло-каштановой почве в колхозе им. Н. Нариманова Мирбаширского и на сероземно-луговой в колхозе им. Джапаридзе Агджабединского районов.

Мы определяли экономическую эффективность применяемых удобрений по методике М. А. Коровкина, А. С. Шевченко, С. М. Москаленко, И. М. Баранова и т. д. (Экономическая оценка эффективности применения химических продуктов в сельском хозяйстве).

С целью выявления экономической эффективности изучаемых удобрений нами были учтены затраты, связанные с их применением, а также затраты на выращивание прибавочного урожая (имеются в виду затраты на погрузку, перевозку, выгрузку, внесение удобрений вручную и стоимость удобрений, также на сбор, сушку, погрузку, выгрузку и т. д.).

Чистую прибыль учитывали по полученной прибавке урожая хлопка, сырца по государственным закупочным ценам за вычетом всех затрат, связанных с применением азотных удобрений, также по выращиванию добавочного урожая.

Данные полевых опытов и математическая обработка показаны в таблице.

Учет экономической эффективности форм азотных удобрений показал, что от внесения карбамида на давно орошающей светло-каштановой почве получен дополнительный чистый доход 667,21 руб. от сульфата аммония—432,40, от кальциевой селитры—238,70, от аммиачной селитры—485,42, от МФУ—378,80 руб., а на сероземно-луговой почве от внесения мочевины получен дополнительно чистый доход—611,88 руб. от сульфата аммония—409,20, от кальциевой селитры—208,33, от аммиачной селитры—430,09, от МФУ—351,92 руб. с гектара по сравнению с внесением только фосфорных и калийных удобрений.

Следовательно в колхозе им. Н. Нариманова затрата одного рубля на удобрение окупается в виде чистого дохода: от мочевины—4 руб. 86 коп., от сульфата аммония—4 руб. 32 коп., от кальциевой селитры—2 руб. 40 коп., от аммиачной селитры—4 руб. 65 коп., от МФУ—5 руб. 50 коп.

А в колхозе им. Джапаридзе чистый доход от затраты одного рубля на удобрение несколько выше, чем в колхозе им. Н. Нариманова и составляет: для мочевины—4 руб. 80 коп., для сульфата аммония—4 руб. 33 коп., для кальциевой селитры—2 руб. 43 коп., для аммиачной селитры—4 руб. 53 коп., для МФУ—5 руб. 50 коп.

Наибольшая экономическая эффективность среди испытуемых форм азотных удобрений получена на обеих исследуемых почвах при внесении МФУ, мочевины, затем аммиачной селитры и сульфата аммония.

Площадь хлопчатника в колхозе Н. Нариманова Мирбаширского района составляет 400 га, а в колхозе им. Джапаридзе Агджабединского района—500 га.

В обоих колхозах на высоком агротехническом уровне и на фоне  $P_{90} K_{60}$  можно получить дополнительно чистый доход от внесенной

**Экономическая эффективность азотных удобрений под хлопчатник  
(давноорошаемая светло-каштановая почва)**

№ пп	Показатели	Схема опыта					
		Без удобрений	$P_{90} K_{60}$ ( $\text{ф.} \cdot \text{га}^{-1}$ )	Фон + $N_{\text{Na}}$	Фон + $N_{\text{Ca}}$	Фон + $N_{\text{MfU}}$	Фон + $N_{\text{Na}}$ + $N_{\text{Ca}}$
1	Внесение азотных удобрений, кг/га (в действ. началах)	90	90	90	90	90	90
2	В туках, кг/га	409	692	195	264	236	236
3	Стоимость 1 т удобрения	35,0	43,0	105,0	48,90	72,0	72,0
4	Стоимость удобрения, внесенного на 1 га	14,30	29,70	20,40	13,0	17,0	17,0
5	Стоимость перевозки, подготовки и внесения удобрения	4,90	8,30	2,34	3,16	2,50	2,50
6	Затраты на уборку, сушку и перевозку дополнительного урожая	79,70	48,80	114,35	88,52	66,0	66,0
7	Итоги затрат по азоту	98,90	86,80	137,09	104,38	68,50	68,50
8	Полученный урожай с 1 га, ц	34,00	29,1	47,50	35,4	32,0	32,0
9	Прибавка урожая от азота	12,65	7,75	19,15	14,05	10,65	10,65
10	Выручка от реализации дополнительного урожая	531,30	325,50	804,30	590,10	477,30	477,30
11	Получено чистого дохода	432,40	238,70	667,21	485,42	378,80	378,80
12	Экономическая эффективность на 1 руб. дополнительных затрат	4,37	2,75	4,86	4,65	5,5	5,5
	Сероземно-луговая						
1	Внесение азотных удобрений, кг/га (в действ. началах)	90	90	90	90	90	90
2	В туках, кг/га	409	692	195	264	236	236
3	Стоимость 1 т удобрения	35,0	43,0	105,0	48,90	72,0	72,0
4	Стоимость удобрения, внесенного на 1 га	14,30	29,70	20,40	13,0	17,0	17,0
5	Стоимость перевозки, подготовки и внесения удобрения	4,90	8,80	2,34	3,16	2,50	2,50
6	Затраты на уборку, сушку и перевозку дополнительного урожая	75,60	43,47	104,53	78,75	61,38	61,38
7	Итоги затрат по азоту	94,80	81,47	127,32	94,91	63,88	63,88
8	Полученный урожай с 1 га, ц	32,1	27,0	37,7	32,6	30,0	30,0
9	Прибавка урожая от азота	12,0	6,9	17,6	12,5	9,9	9,9
10	Выручка от реализации дополнительного урожая	504,0	289,80	739,20	525,0	415,80	415,80
11	Получено чистого дохода	409,20	208,33	611,88	430,09	451,92	451,92
12	Экономическая эффективность на 1 руб. дополнительных затрат	4,33	2,43	4,80	4,53	5,50	5,50

Примечания.  
1— $N_{\text{Na}}$  — сульфат аммония  
2— $N_{\text{Ca}}$  — кальциевая селитра  
3— $N_{\text{MfU}}$  — мочевина  
4— $N_{\text{Na}}$  — аммиачная селитра  
5— $N_{\text{Ca}}$  — мочевино-формальдегидное удобрение

мочевины—250 084—284 940 руб; от сульфата аммония—172 960—204 500 руб; от аммиачной селитры—194 168—215 000 руб., а от МФУ—151 520—189 400 руб.

## ЛИТЕРАТУРА

1. Азотные удобрения. Материалы географ. сети опытов по изучению эффективности форм минеральных удобрений под ред. Ф. В. Турчина и И. Г. Кондратьева. Изд-во "Колос", М., 1966. 2. Коровкин М. А., Шевченко А. С., Москаленко С. М., Баранов И. М. и др. Методики научных исследований. М., 1965. 3. Тихонирова В. Я. Сравнительное влияние мочевиноформальдегидного удобрения и аммиачной селитры на условия азотного питания, урожай и качество льна-долгунца. Изд-во МГУ, 1968. Автореферат.

Институт почвоведения и агрохимии

Поступило 18. VII 1968

И. А. Ибраимов

## Мүхтэлиф азот күбрәләринин памбыг биткиси алтында иттисади еффектлији

### ХУЛАСЭ

Мұасир вахтда күбрәләрин агрономик еффектлијинин өјрәнилмәсінде жаңашы олараг иттисади еффектлијинин арашдырылмасы да вачибидир. Бу мәгсәдлә республиканын әсас памбыгчылыг зонасы олан Милдараабағын әсас тип торпагларында мүхтэлиф азот күбрәләринин агрономик еффектлији илә бәрабәр иттисади еффектлији дә өјрәнилмишdir.

Тәрчүбәләрдә азот күбрәсинин нектара 90 кг тә'сирдичи маддә һесабы илә беш формасындан: карбамид, МФУ (мочевина-формалдеин) калсиум нитрат, аммониум сульфат вә аммониум нитратдан истифадә едилмишdir.

Тарла тәрчүбәләринин вә ријази һесабламаларын нәтижәсіндә Р<sub>90</sub> К<sub>60</sub> фондуңда гәдимдән суварылан ачыг шабалыды торпаг типинде карбамид верилмәсіндән 667,21 манат, аммониум нитрат тә'сиринде 485,42 манат, МФУ ишләдилдикдә 378,80 манат вә аммониум сульфат верилмәсіндән 432,40 манат халис кәлир элдә едилмишdir. О бириләрә иисбәтән аз кәлир калсиум нитрат верилмәсіндән алымышдыр(208,33 манат). Бу ганунаујғулуг боз-чәмән торпаг типинде дә өзүнү көстәрмишdir.

Әлавә мәңсүл үчүн хәрчләнән бир манатын иттисади еффектлији һәр ики торпаг типинде МФУ верилән вариантдакы кими 5,5 манат-дыр.

АЗӘРБАЙЧАН ССР ЕЛМЛӘР АКАДЕМИЈАСЫНЫН МӘРҮЗӘЛӘРИ

ДОКЛАДЫ АКАДЕМИИ НАУК АЗЕРБАЙДЖАНСКОЙ ССР

ТОМ XXV

№ 7

1969

## АРХИТЕКТУРА

Ф. ГАДИРОВ, К. МАМЕДЗАДЕ

## АЙДЫНБУЛАГСКАЯ БАШНЯ

(Представлено академиком АН Азербайджанской ССР А. А. Ализаде)

На расстоянии 20 км северо-восточнее Варташена, в сел. Айдынбулаг находится четырехугольная башня, которая была обнаружена авторами статьи в 1966 г. во время археологических разведывательных поездок по городам и селам северной части Азербайджана.

Башня выполняла функции наблюдательного пункта в общей цепи оборонительных сооружений Кабалинского магала.

От башни сохранились северная и восточная стены с разрушенными закругленными выступами.

В плане она имеет квадратную форму, углы укреплены контрфорсами в виде закругленных выступов, имеющих три четверти окружности. Каждая сторона башни 8,8 м длины.

Внутреннее пространство башни, по имеющимся гнездам на восточной стене, членилось на три яруса, из которых ни один не сохранился.

Сохранившихся на уровне междуэтажных перекрытий последующих ярусов гнезда в стенах говорят о том, что конструктивно они представляли собой плоские деревянные перекрытия. Каким было самое верхнее перекрытие башни—непосредственно кровля,—сказать трудно, поскольку от него не сохранилось никаких следов.

В разрушенном состоянии башня имеет высоту 10,5 м. Высота первого этажа 4 м, второго—2,8, а третьего—2,6.

Толщина стены в нижней части (в основании) равна 1,2 м, а на верхней—80 см. Диаметр башни внизу 1,4, а наверху—1,2 м.

Дверной проем расположен на восточной стене. В последующих этажах имеются узкие оконные проемы.

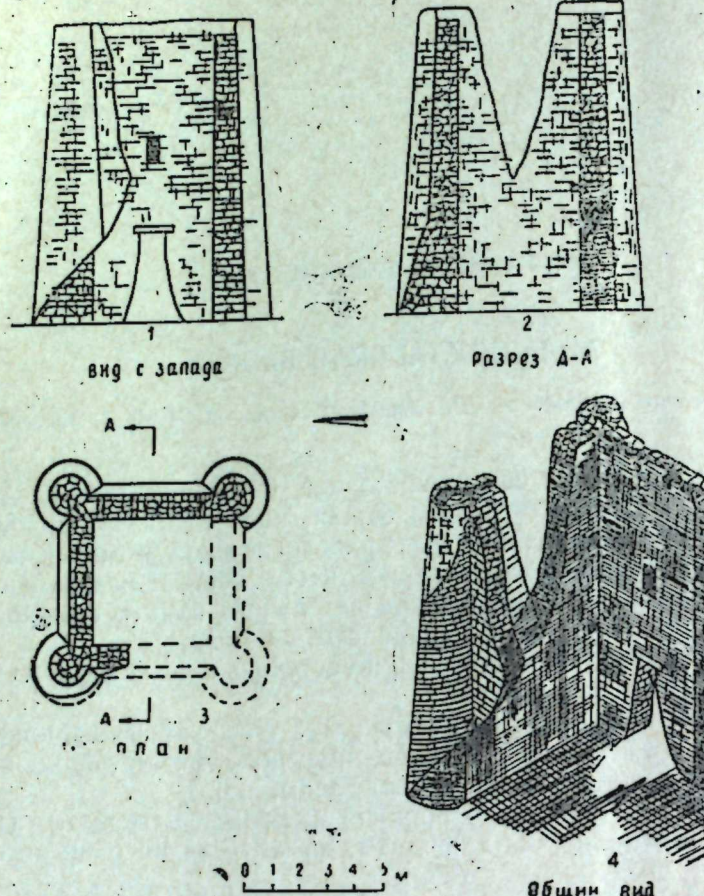
Как происходил подъем на верхние этажи, трудно сказать. Но аналогичные примеры<sup>1</sup> показывают, что он мог осуществляться при помощи приставных лестниц. Следы бойниц имеются.

Апшеронские башни показывают, что водоснабжение осуществлялось при помощи колодца, вырытого на территории самого укрепления. В некоторых ярусах башни через всю толщу стены проходит

1. М. А. Усейнов, Л. С. Бретаницкий, А. В. Саламзаде. История архитектуры Азербайджана. М., 1963, стр. 154; Л. С. Финкельштейн, Д. М. Шарифов. Замок в сел. Мардакяны. ААЭН. М.—Баку, 1917, стр. 80.

небольшое отверстие—сток, через которое отводились наружу нечистоты, сливалась вода. Во время обследования отверстий в стенах башни не обнаружено, не обнаружен также колодец.

Это еще раз подтверждает, что башня имела значение наблюдательного пункта.



Четырехугольная башня в с. Айдынбулаг Варташенского р-на:  
1—вид с запада; 2—разрез А—А; 3—план; 4—общий вид.

Стены башни сложены из бута и облицованы грубо отесанными камнями. Здесь, как и на ашеронских башнях, для кладки облицовки характерны частые сквозные тычковые камни крупных размеров. Эта особенность обусловила исключительную прочность и монолитность облицовочной кладки.

Как показало обследование, для дверной перемычки, междуэтажных перекрытий, а также для скрепления стен применялись древесные породы—арчан<sup>2</sup>.

Характерно, что древесина арчан нашла большое применение и в памятниках архитектуры Средней Азии.

Известно немало случаев многовековой службы арочных бревен, брусьев и досок в архитектурных памятниках: в мавзолее Султана

<sup>2</sup> Арчан—древовидный можжевельник, растет преимущественно на склонах гор. Древесина арчи розовато-коричневого тона, мелкослойная, хорошо режется; отличается исключительной сопротивляемостью к червоточине и глинистым грибковым заболеваниям.

Санджара в Древнем Мерве (XII в.), Медресе Улугбека в Бухаре (XV в.) и мн. др.<sup>3</sup>

На башне нет никакой надписи. Поэтому точную датировку установить трудно. По композиционно-планировочному решению, а также по конструктивным элементам она имеет аналогию с Ашеронскими оборонительными сооружениями, датируемыми XII—XIII вв.

Выразительный архитектурный образ и расположение над широким горизонтом окружающей местности предгорного района Большого Кавказа делает башню одним из интересных памятников Азербайджана средневекового периода. Она представляет большую историко-архитектурную ценность.

Институт истории

Поступило 9. I 1969

Ф. Гэдиров, К. Меммэдзадэ

### Айдынбулаг гүлләси

#### ХУЛАСЭ

Айдынбулаг гүлләси, Варташен району Айдынбулаг кәндинин шималында, дүзәнликдә јерләшишdir. Формача дөрдкүч олан бу гүлләни тәрәфләри 8,8 м-дир. Џэр күичундә јарымдаирәв бүрчләр вардыр. Диварларынын галынылығы ашағыда 1, 2, јухары һиссәдә 0,8 м, бүрчләринин диаметри исә ашағы һиссәдә 1,4, јухарыда 1,2 м-дир.

Айдынбулаг гүлләси 10,5 м һүндүрлүкдә үчмәртәбәли тикнитидән ибарәтdir. Бириңи мәртәбәсінин шәрг диварында дүзбучаг формалы гапы јери вардыр. Гүлләниң јххары мәртәбәләринә анчаг нәрдиванла галхмаг мүмкүндүр.

Бу айдәнин тикилмәсіндә чај даши, кирәч мәһлүлүү вә арчан ағачындан истифадә едилмишdir.

Гәбәлә маһалынын мудафиә истеһкамларындан бири олан бу гүллә орта әсрләрдә (тәхминән XII—XIII) шәһәри харичи тәhlükәләрдән горумаг үчүн мушаһидә мәнтәгеси мәгсәди дашымышдыр.

<sup>3</sup> Н. М. Бачинский. Резное дерево в архитектуре Средней Азии. М., 1947. стр. 31, прим. 1.

ЕТНОГРАФИЯ

Г. Ч. ЧАВАДОВ

„ОРТАГЛЫГ“ ГАРШЫЛЫГЛЫ ІАРДЫМ ФОРМАСЫНА ДАЙР

(Азэрбајчан ССР ЕА академики Ә. С. Сүмбатзадә төгдим етмишидир)

Экинчилик<sup>1</sup> алэтләри, хүсусилә торпағын шумланмасы илә бағлы олан гаршылыглы Іардым формаларынын этнографик чәһәтдән өјрәнилмәси тәдгиг едилән дөврүн ичтиман-игтисади мұнасибтләринин арашдырылмасы вә бу просесслә әлагәдар мұтәрәгги адәт ән'әнәләрин тәдгиги үчүн бөյүк әһәмијәти варды.

Экинчиликклә әлагәдар олан гаршылыглы Іардым формаларына мұхтәлиф вахтларда бир сыра тәдгигатчылар тохунсалар да, онлары әсил мәнијәтиинин айынлашдырылмасы һамыја мүжәссәр олмамышдыр. Лакин Э. Әләкберов [3], Г. Гарагашлы [5], А. Робакидзе [6], П. Гугушвили [4] вә башгалары әкинчиликдә мөвчуд бу әмәк бирләшмәләринин өз инкишафында ики әсас мәрһәлә кечирдијини, јәни әvvәлчә әкинчиләрин бир-бириң көстәрдикләри гаршылыглы Іардым формасында тәшәккүл тапдырыны, сонракар исә онларын өз әvvәлки мәзмунуу дәжишәрәк кәндилләри истисмар алтина чөврилдикләрини гејд етмишләр. Бу мүддәенан дөгрүлүгу Азэрбајчанын шимал-шәрг зонасынын материаллары илә дә тәсдиг олуңур.

Етнографик материаллар көстәрир ки, шум аләти вә гошгу гүввәсими айрылыгда тәшкіл едә билмәјен җохсул айләләр өз торпаг саһәләринин шумламаг үчүн бирләшмәләр Іарадырылар. Беләликлә шум аләти, ону һәрәкәтә кәтире билән гошгу һејванлары вә ишчи гүввәси тәшкіл едилерди. Бу исә бир айленин ejni вахтда көрәчәни иши даңа тез ичра етмәсина имкан верирди. К. Маркс һәмин бирләшмәләрлә әлагәдар олараг язмышды: „Айрыча бир инсан гүввәси чох чүз’идир, лакин бу чүз’и гүввәләр бирләшдикдә һәмин фәрди гүввәләрин јекундуна даңа чох үмуми бир гүввә әмәлә кәлир, белә ки, бу гүввәләр тәкчә бирләшмәклә өз сәрфолуима вахтыны азалдыр вә өз тә’сир даирәсими кенишләндирэ биләр“ [1]. В. И. Ленин дә торпаг саһәләринин шумланмасы үчүн кифајәт гәдәр гошгу һејваныны олмамасыны, башга сөзлә десәк, „чанлы“ вә „чансызы“ аваданлығын чатышмамасыны әкинчиликлә бағлы әмәк бирләшмәләрини дөгурган әсас сәбәб кими гејд етмишидир [2].

<sup>1</sup> Могалә мүәллифи Губа-Хачмаз зонасындан топладығы чөл этнографик материаллары әсасында язылышыды.

Азэрбајчанды торпағын шумланмасы илә әлагәдар әмәк бирләшмәләриндә ишчи гүввәләри, тошгу һејванлары вә шум алэтләри бирләшдирилди. Бу бирләшмәләр хышиш вә гара котан әтрафында даңа чох тәзәһүр едирди.

Мә’лүм олдуғу кими, Азэрбајчанын шимал-шәрг рајонларында хышиш бир чүт өкүз гошуулурду. Одур ки, анчаг бир баш (вә йа бир та) гошгу һејваны олан ики айлә бирләшәрәк хышиш гошгу гүввәсими әмәлә кәтирирди. Халг арасында бу әмәк бирләшмәси „ортаглыг“ вә йа „тајбир олмаг“ адланырды. Ортаглыг үчүн бир баш өкүзүн олмасы вачиб иди; гошгу һејваны олмајан кәндли бу бирләшмәдә иштирак едә билмәзди. Ортаг үзвү өз һејваныны кери көтүрдүкдә вә јаҳуд һејван өлдүкдә ортаглыг парчаланырды. Бу факты халг арасында ишләдилән „өкүз өлдү, ортаг айрылды“ зәрб-мәсәли дә тәсдиг едир.

Ортаглығын тајбир олмаг адланан бу формасы онуңла сәчијїләнир ки, бурада анчаг ики нәфәрин шум аләти (хышиш) вә гошгу һејванлары бирләшдирил, ортаг үзвләри исә бир-бириң шәхсән көмәк етмәдән нөвбә илә өз торпаг саһәләринин шумлајырдылар. Торпағын шумланыбы гурттармасы илә ортаглыг битирди. Бу әмәк бирләшмәси торпағын шумланмасында ән садә көмәклик формасы олуб, тәдгиг едилән әразинин дағ вә дағаттәни һиссәләри үчүн характерик иди.

Ортаглығын гејд етдијимиз бу формасы бир баш гошгу һејваны олан айләләр үчүн характерик иди. Лакин ингилабдан әvvәл һәтта бир баш гошгу һејваны олмајан кәндли айләләри дә варды. Белә айләләр өз торпагларынын йа ичарәјә верир, йа да гошгу һејваны вә шум аләти олан башга бир айлә илә разылыға кәләрәк онуңла ортаг олурдулар. Ичарәјә верилмиш торпаг ичарәдер тәрәфиндән шумланы, әкилир вә мәһсүл бичилиб дөјүлүрдү. Сәпиләчәк тохумун мигдарына кәлдикдә, торпаг саһиби ичарәчидән йарым дәфә чох тохум гојмалы иди. Бу һалда мәһсүлүн бир пајы торпағы әкиб-бечәрәнә, 1,5 пајы исә ичарәдара чатырды.

Зонанын дүзәнлик һиссәсендә чәлтиччиликә мәшгүл олан әнали арасында ортаглығын башга бир формасы мөвчуд иди. Бурада әсас шум аләти гара котан иди, хышиш исә чәлтик әкиләчәк Јерләрин шумланмасында истифадә едилерди. Чәлтик экмәк үчүн ортаг олмуш бир нечә нәфәр дағ вә дағаттәни Јерләрдә, хышиш вә гошгу һејваны олан башга бир нәфәри дә өзләринә ортаг едирли. Һәмин шәхс өз хышалаты (хышиш бутүн ләвазиматы илә бирликтә) илә Шабран Мүшкүрә кәлиб, ортаг үзвләринин чәлтик әкәчәji җери шумлајыды. Чәлтижин әкиләмәси, бечәрилмәси, бичилмәси исә анчаг торпаг саһибләри тәрәфиндән һәјата кечирилди. Лакин мәһсүл бөлүшүдүрүлдүкдә саһени шумламыш шәхс ортаглығын башга үзвләри илә бәрабәр мигдарда пај алырды. Ортаглығын чәлтиччиликлә бағлы олан дикәр формасы өзүндә истисмар үңсүрләрини бирләшdirән „өлү бел“ иди. Бә’зән ортаг олмуш кәндилләр чәлтик сәпининә башладыглары вахт кәнддин иуфузлу адамларындан бири—молла, сејид, кәндхуда, јүзбашы вә с. онлары мүәjjән гәдәр тохум кәндәрирди. Бу, тохум кәндәрән шәхсин һәмин мүәjjән гәдәр тохуму гәбул едил, ону да өзләринә ортаг едирдиләр. Лакин рилемиши тохуму гәбул едил, ону да өзләринә ортаг едирдиләр. Буна көрә дә бу группада адамларын мүфтәхорлуғуна ишарә олурдулар. Буна көрә дә бу группада адамларын мүфтәхорлуғуна ишарә оларалары бел ишләтмәјен, даңа дөгрүсу „өлү бел“ адланырырдылар. Һеч бир зәһмәт чәкмәjен белә мүфтәхор адамлар нағында

халғ арасында „әкәндә јох, бичәндә јох, јејәндә ортаг гардаш“ атап сөзү ишләдилмишdir.

Шумла әлагәдар олан әмәк бирләшмәләринә гара котан әтрафында йарадылан формада даһа кениш сурәтдә раст кәлирик. Чүнки гара котанла јери шумламаг үчүн 8—10 чүт гошгу, 5—6 нәфәр ишчи гүввәси лазым олурду. Шуббәсиз белә бир гүввә анчаг варлы тәбәгәләрә мәхсус иди. Јохсул әнали исә гара котан әтрафында бирләшмәләр йарадыр вә бу ѡолла өз торпаг саһәләрини әкиб бечәрирдиләр. Бу шум аләти әтрафында йарадылан кооперасијалар бир-бириндән мүәјжән дәрәчәдә фәргли олан бир нечә формада мөвчуд иди.

Шимал-шәрг рајонларында әналини гара котан әтрафында йаратдыры бирләшмәләр башга адла Азәрбајчаның бир сыра рајонлары илә Яанаши Гафгаз вә Загафгазија халглары арасында да мөвчуд олмушdur. [7].

Гејд етмәк лазымдыр ки, гара котан әтрафында йарадылан ортаглыгда әсасен бөյүк айләләр, гоһумлар, гисмән дә бир һәјетин, мәһәлләнин вә үмумијәттә кәндик бир-биринә мұнасиб сакинләри иштирак едирдиләр<sup>2</sup>. Гара котан әтрафында йарадылан белә бирләшмәјә „јығма котан“ дејилирди.

Шимал-шәрги Азәрбајчанда гара котан әтрафында йарадылан ортаглыг гарышылыглы йарадым формасы ичтиман-игтисади амилләрдән асылы олараг мұхтәлиф варианtlarda тәзәһүр етмишdir. Бу варианtlарын бирине көрә ортаглыг гошгу һәјванынын сајындан асылы олмајараг тәшкүл едилir вә ортаг үзвләринин һәр бири үчүн бәрабәр мигдарда торпаг саһәси шумланыры. Бизә көрә ортаглыгын бу садә вариантына бөйүк айләләrin һәлә парчаланмадыры дөврдә тәсадүф едилir.

Ортаглыгын башга бир вариантында ортағын бүтүн үзвләри, ejni сајда гошгу һәјваны гојуб, ejni мигдарда торпаг саһәси шумлајырылар. Бурада бүтүн ортаг үзвләри—дәстәчи вә чубугчулар арасында неч бир фәрг олмурdu. Бу бирләшмәдә шумланачаг торпаг саһәсии мигдары ортаг үзвүнүн бура гојдуғу гошгу һәјванынын сајы илә мүәјжән олуңурdu. Ортаглыгын бу вариантыны биринчинин иницишаф етмиш шәкли һесаб етмәк олар. Ортаглыгын гара котан әтрафында тәшкүл едилән бу варианtlарында ортаг үзвләринин бир-биринин әмәниндән истифадә етмәсі һисс едилмир.

Шимал-шәрги Азәрбајчаның Ајқунлү, Чархы, Рустов, Нәрәчан, Узуноба, һыл вә башга кәндләрindән топладыгымыз материаллар ингилаба гәдәр ортаглыгын даһа мүрәккәб формаларынын мөвчудлұғын көстәрир. Бу формаларда гошгу һәјванлары илә йанаши, котаны айры-айры һиссәләринин кимә мәхсус олмасына, һабелә ортаг үзвләринин дәстәчи, чубугчу вә ја јајымчы олмасына да әһәмијәт верилирди.

Ортаглыгын јухарыда бәһс етдијимиз һәр ики вариантындан фәргли олараг, бурада тәсәррүфат вайиди кими үч үнсүр иштирак едир ки, ортаг үзвләри арасында шумланачаг саһәсии мигдары да мәһіз бунлар көрә мүәјжәнләшдирилирди. Ejni заманда, бу бирләшмәләрдә дәстәчи башга үзвләрдән ики гат артыг пај алырды, је'ни „јығма котан“ да 4 нәфәр иштирак едирдисә, онларын шумладыры саһә дөрд јерә дејил, беш јерә бөлүшдүрүлүрдү ки, бунлардан икиси дәстәчијә

<sup>2</sup> Мәсәлән, Нәрәчан кәнд (Хачмаз рајону) сакини П. Зүлфүгаровын мә'лumatына көрә, онун атасы З. Зүлфүгаров өз котанына дајысы Ш. Дәмир оғлunu, језиәси А. Аjdәмир оғлunu вә халасы оғлу К. Шүкүр оғлunu оргап егмишди. Моллакамаллы кәндләр (Дәвәчи рајону) Кәрбалаы Солтан Мәһрәлиев гајны оғлу Муса Мусаев, бачысы оғлу Көйшү Гоча оғлу вә језиәси Мәчнүн Аллаһвердиевлә ортаг олмушду. С. Мәһрәлиев дәстәчи галандары исә котанын чубугчусу идиләр.

чатырды. Бундан әлавә, гошгу һәјванларынын котаны һансы бојнуна гошулмасына да әһәмијәт верилирди. Адәтән, диг кәлләринә башга гошгулардан йарым пај артыг торпаг саһәси шумланыры. Башга сезлә, котана гошулмуш һәр баш кәл вә ја өкүз үчүн 1 руба<sup>3</sup> јер шумланырыса, диг кәлләри үчүн 1,5 руба шумланмалы иди. Диг кәлләри әсасен дәстәчинин оларды. Беләлликлә, бу бирләшмәдә дәстәчи бир, ортаглыгын башга үзвләри исә иккүн тәрәфи тәшкүл едирди ки, шумланачаг саһә бу тәрәфләр арасында бөлүшдүрүлүрдү. Ортаглыгын буна охшар формасы Азәрбајчаның Кичик Гафгаз зонасында Э. Элекбәров тәрәфиндән мүәјжән едилмишdir [3].

Ортаглыгын сонунчу мәрһәләсипдә варлыларын јохсуллары истиスマр етмәсі гапалы шәкилдә һәјата кечирилирди. Лакин бу истиスマр ачыг һалда тәзәһүр етмиш олардыса да Јохсул кәндли күтләсі бурада иштирак етмәјә мәчбур иди. Чүнки онун бундан башга чыхыш ѡолу јох иди. Экәр Јохсул кәндли ортаглыгда бир чубугчу вә јајымчы шәкилдә иштирак етмәсәди, о, шум аләтиңе вә гошгу һәјванына малик олмадығындан өз торпаг саһәсии шумлаја билмәзди. Кәндли буна өз әмәни һесабына малик олурdu.

Ортаглыг формаларынын дәриндән тәһил едилмәсі көстәрир ки, онлар садәдән мүрәккәб доғру тарихи иницишаф ѡолу кечәрәк, халгын бир-биринә көстәрди тәмәннасыз көмәкликтән бәрабәр һүгүгүлү ортаглыг формаларына, даһа соңра исә өз әввәлки мәзмунуны дәји-шәрәк истиスマр мәнбәләрindән бирине чөврилмишdir.

## ӘДӘБИЙЛАТ

1. Маркс К. Капитал, I чилд. Бакы, 1949, сән. 267. 2. Ленин В. И. Кәндли һәјатына жени тәсәррүфат һәјаты. Эсәрләри, I чилд. Бакы, 1953, сән. 47—51. 3. Алеќперов А. Исследования по археологии и этнографии Азербайджана. Баку, 1960, сән. 47—50.
4. Гүгүшвили П. Экономическая организация гутнеули (суприги грузинского погуга). Сообщения АН Грузинской ССР, т. 5. Тбилиси, 1944. 5. Каракашлы К. пережитках древнего института взаимопомощи в Азербайджане. „Изв. АН Азерб. ССР, серия общ. наук“, 1958, № 2. 6. Робакидзе А. Модгам и как одна из форм эксплуатации в дореволюционной Грузии. „Мимомхильви“, т. 1. Тбилиси, 1951. 7. Народы Кавказа. II чилд. М., 1962, сән. 240, 464; Гаджиева С. Кумыки, М., 1961, сән. 63; Магометов А. Культура и быт осетинского крестьянства. Орджоникидзе, 1963, сән. 15.

Тарих институту

Алымышыр 11 XI. 1968

Г. Дж. Джавадов

## О форме взаимопомощи „ортаглыг“

### РЕЗЮМЕ

В статье изучается одна из форм института взаимопомощи, так называемый „ортаглыг“. На основе полевых этнографических материалов выявляются причины появления различных форм этого объединения, их характер и развитие. Основной причиной появления „ортаглыг“ является недостаток рабочего скота, земледельческих орудий, а также рабочих рук. Вследствие этого крестьяне-бедняки вынуждены были организовать „ортаглыг“. Этот процесс прежде всего создавался вокруг „хыша“ и „гара котана“.

<sup>3</sup> 3 Руба—XIX әсрлә Азәрбајчаның шимал-шәрг зонасында һәм чәки вә һәм дә саһә өлчүсү вайиди олуб, 12 килә тахыла бәрабәр олмушду ки, бу да тәхминең 72 кг-дыр. Бу мигдар тахылын сәпилди саһә 1 руба јер адландырылды.

Формы „ортаглыг“, по своему характеру и условиям объединения были различны. Например, в одной из этих форм два бедняцких хозяйства, имевшие по одному быку, объединялись в „ортаглыг“ и поочередно обрабатывали свои земли.

Другим вариантом „ортаглыг“ являлся „өлүбел“ (буквально—мертвая заступь, применяющаяся в чалтыководстве). Сущность его заключается в том, что один из богатых представителей села посыпал членам „ортаглыг“ семена чалтыка и становился членом этого объединения, причем не участвовал в обработке и уборке урожая, а получал равную долю. Поэтому таких членов называли „өлү-бел“.

В связи с тем, что „гара котан“ требовал многочисленной живой силы и мертвого инвентаря крестьяне-бедняки организовали „јыгма котан“ (сборный плуг). Этнографические материалы свидетельствуют, что первоначально „ортаглыг“ носил характер взаимопомощи, а в связи с классовым расслоением в селе становился одним из орудий эксплуатации бедной части населения.

ЭТНОГРАФИЯ

М. М. КУЛИЕВ

**АЗЕРБАЙДЖАНСКИЕ КОВРЫ НА ДВУХ ПОЛОТНАХ  
ЕВРОПЕЙСКИХ ХУДОЖНИКОВ XV ВЕКА**

(Представлено академиком АН Азербайджанской ССР М. А. Усейновым)

Высокое развитие материальной и духовной культуры средневекового Азербайджана и его связи с европейскими странами определили место Азербайджана в подготовке условий европейского ренессанса. Вывоз и ввоз товаров создавали возможность культурного взаимодействия. Известно, что генуэзские и венецианские купцы в конце XIII и начале XIV вв. имели торговые корабли на Каспийском море, основывали здесь свои торговые фактории.<sup>1</sup> По свидетельству Марко Поло, в XIII в. городах Азербайджана „...можно было найти все изделия восточных и западных стран“<sup>2</sup>. В средневековой Европе восточные товары были очень популярны, вошли в быт. Художники Европы имели возможность оценить и полюбить творчество азербайджанских мастеров. Подтверждением сказанного могут служить полотна Ганса Меммлинга (1433—1494 гг.)—„Мария с младенцем“, Ганса Гольбейна (1497—1543 гг.)—„Послы“ и Карло Кривелло (1430—1493? гг.)—„Вознесение“, на которых воспроизведены азербайджанские ковры<sup>3</sup>.

При нашем недавнем посещении Дрезденской картинной галереи были сделаны наблюдения, позволяющие пополнить перечень этих имен<sup>4</sup>.

Ян Ван-Эйк (1390—1441 гг.)—знаменитый живописец, с его творчеством связывают зарождение нидерландского реалистического искусства и становление нидерландского ренессанса. Работая живописцем при дворе бургундского герцога Филиппа Доброго, он выполнял также его дипломатические поручения, что давало ему возможность

<sup>1</sup> С. Б. Ашурбейли. Очерк истории средневекового Баку (VII—начало XIX вв.). Баку, 1964, стр. 89.

<sup>2</sup> А. А. Ализаде. Борьба Золотой Орды и государства Ильханов за Азербайджан. „Изв. АН Азерб. ССР“, № 5, 1946, стр. 32.

<sup>3</sup> Л. Керимов. К изучению азербайджанского коврового искусства. Сб. „Искусство Азербайджана“, VI, стр. 9.

<sup>4</sup> Автор приносит свою глубокую признательность научному сотруднику Института архитектуры и искусства, орнаменталисту Н. С. Аскеровой, оказавшей помощь в определении и выяснении орнамента ковров.

ближе ознакомиться с искусством разных народов. На полотне Яна Ван-Эйка—„Алтарь“<sup>5</sup> изображена Мария с младенцем, сидящая на троне в церкви. Трон стоит на мозаичном полу, застланном ковром. Как удалось выяснить—это азербайджанский ковер ширванского типа с мелким геометрическим узором в центральной части. Художником сделана некоторая стилизация его узора в сторону уподобления мозаичному полу. Свободная трактовка элементов рисунков ковров известна и по другим картинам художников ренессанса. Описываемый ковер срезан и по внешнему короткому краю не имеет обрамления. Возможно, этим приемом среза художник сознательно объединил узор ковра со всей композицией архитектурных деталей и мозаики картины, но возможно и другое, как известно, в Азербайджане ткали ковры больших размеров—„гебе“. Иногда эти ковры как образцы высокого мастерства резались на два, а то и на три куска и продавались отдельно, быть может, именно такой кусковой образец и увидел художник, который изобразил его без обрамления по узкой стороне. Во всяком случае, ему удалось настолько тонко передать переход от ковра к мозаике пола, что при беглом взгляде трудно заметить на полотне ковер.

Вторая картина, привлекшая наше внимание, принадлежит выдающемуся итальянскому живописцу из Неаполя—Антонелло да Мессина (ок. 1430—1479 гг.). При неаполитанском дворе Антонелло да Мессина имел возможность ознакомиться с произведениями нидерландских художников, в том числе и с работами Яна Ван-Эйка. Полотно Антонелло да Мессина—„Святой Себастьян“<sup>6</sup> выполнено в Венеции около 1475—1476 гг. На полотне изображена городская площадь с прикованным к столбу Себастьяном. В перспективе дан фасад жилого дома, на балконе которого вывешены два ковра. Оба ковра—азербайджанские, типа „Карабах“. Правый ковер с рисунком образца „бахчада гюллэр“ или „сахсыда гюллэр“. В Карабахе подобные ковры ткутся и по сей день. Они характерны подобием своих узоров мотивам азербайджанских росписей, вышивок целого ряда других областей народного искусства.

Левый ковер той же картины Антонелло да Мессина также карабахский. Центральным мотивом средней части его является крупный геометрический медальон—„гель“.

Ковровые рисунки „бахчада гюллэр“ и „сахсыда гюллэр“ широко представлены в азербайджанских коврах XVIII—XIX вв. Но если считать, что распространение изображений, реалистично трактованных цветов или бутонов в вазонах среди орнаментальных мотивов декоративного искусства Азербайджана, связывается не только с росписями, но имеются их прообразы и в изразцовой и майоликовой облицовке XIII—XIV вв., то весьма убедительно их появление и в коврах.

Ясно, что художники ренессанса перед собой имели образцы ковров своего времени—XV в., а также и более ранние—XIII—XIV вв.

В орнаментах Азербайджана XIII—XIV вв. наряду с использованием геометрических и растительных орнаментов, широко использовались также эпиграфические мотивы куфических письмен, хорошо связывающиеся с геометрическим орнаментом (памятники Нахичевани, Барды и Карабаглар)<sup>7</sup>. Куфические письмена далее с XIV в. активно вытесняются письменами несх, до этого широко используемым декоративным мотивом, разновидностью орнамента. Куфические письмена

наносились и на ковры. Можно полагать, что крайняя кайма на ковре картины Антонелло да Мессина имела куфический текст и художник сделал из нее стилизованный и неопределенный по рисунку геометрический орнамент.

Художников ренессанса, которых отличал большой талант и желание освоить все прекрасное, что было создано до них мастерами других народов, привлекла красота азербайджанских ковров, которые они изображали на своих полотнах как образцы большого искусства.

Музей истории Азербайджана

Поступило 17. X 1958

М. М. Гулиев

## XV эср ики Авропа рэссамынын өсәрләриндә Азәрбајҹан халчаларынын тәсвири

### ХУЛАСӘ

Орта өсрләрдә јүксәк инкишәф етмиш Азәрбајҹан мадди вә мә’нәви мәдәнијәти илә Авропа әлкәләри арасында әлагәләрин даһа да кенишләнимеси бир чох Авропа рэссамларынын диггәтини азәри халг устарынын јарадычылығына чәлб етмиш вә онлар бу јарадычылары јүксәк гијметләндирмишләр. Мәһз буна көрә дә XV өсрдә Авропанын бир чох рэссамлары өз өсәрләриндә Азәрбајҹан халчаларыны әкс етдиришләр. Ыемин фикри Дрезден рэссамлыг галерејасында нұмајиши түштүрүлгөн көнүк көрүүдөн кийин өсәрләрдән бири мәшһүр Нидерланд рэссамы Ян Ейкин (1350—1441) „Меңраб“ адлы өсәридир. Өсәрдә аяғынын алтында халча салымыш „Марија өз көрпәсилә“ тәсвир олунур ки, һәмин халчанын Ширван халчасы олдуғу мүәյҗән едилмишdir. Дрезден рэссамлыг галерејасында нұмајиши түштүрүлгөн өсәрләр ичәрисиңдә мәшһүр итальян рэссамы Антонелло да Мессина (1430—1479) өсәрләри чох мараглыдыр. Онун „Мүгәлдәс Себастjan“ өсәри 1475—1476-чы илләрдә Венетсијада тамамланыштырылған. Мә’лумдур ки, һәмин дөврләрдә Венетсија тачирләри Азәрбајҹанда кениш тичарәт мүнасибәтләrinde идиләр. Тәсвир едилән өсәрдә шәһәр мәјданынын ичәриләри балконунда ики халча асылымыш бир јашајыш бинасы көстәрилир. Һәмин халчанын Гарабағ зұмрасинә дахил олан Азәрбајҹан халчасы олдуғу сүбүт едилмишdir. „Бахчада күлләр“, яхуд „Сахсыда күлләр“ адланан һәмин халчалар Гарабағда назырда да тохуимагдадыр.

<sup>5</sup> Президентская галерея, № 799.

<sup>6</sup> Президентская галерея, № 52.

<sup>7</sup> Н. С. Аскерова. Архитектурный орнамент Азербайджана. Баку, 1961, стр. 42.

## Тектоника

Б. Э. Будагов. Басдырылмыш структурлар вэ онларын Хээр дэнизиини гэрб ийссөн саңиллэриний эмэлэ көлмэснүүдэйн ролу . . . . .	44
---	----

## Минералогија

Ч. Ч. Чәфәров, Т. С. Мәммәдов. Дашкәсэн мә'дәни гранат кристалла- рынын фотогониметрик тәдгиги . . . . .	49
---	----

## Нефт қеолокија

А. Б. Султанов, Р. М. Дадашов, У. Ш. Мендиев. Сангачал (дэ- низ), Дуваний вэ Булла адалары нефт ятагларынын VII норизонт коллекторлары- нын сөчийяси . . . . .	54
--	----

## Рекионал қеолокија

Э. Э. Элизадэ, О. И. Рыбина. Азәрбајчаны Сармат чөкүнүләринидэ раст көлән <i>Replidacna</i> јарымчиичинин нұмајәндәләри нағтында . . . . .	60
---	----

## Битки физиологија

З. С. Эзизбәјова, С. Н. Ыусејнова. Мүхтәлиф дүзлүлугда бечәри- лән памбыг биткисинин јарыг вэ көкүндә гида шәрәтиндән асылы оларaq калиум вэ фосфор мигдарынын дәйшишмәси . . . . .	64
---	----

## Биометрија

Д. М. Заферман, Б. Г. Каплан. Интуитив гијемәтләрин ријази форма- лашдырылмасы . . . . .	68
---	----

## Молекулар биологија

Р. Д. Ыусејнов. T4 фагы «көлкәсисинин <i>Escherichia coli</i> бактерија группу иля гарышылыгы специфик рецептор тә'сирләри . . . . .	72
---	----

## Агрокимја

И. А. Ибраһимов. Мүхтәлиф азот күбәләринин памбыг биткиси алтын- да итисади эффектләри . . . . .	77
---	----

## Ме'марлыг

Ф. Гәдиров, К. Мәммәздадә. Ајдынбулаг гүлләси . . . . .	81
---	----

## Етнографија

Г. Ч. Чавадов. «Ортаглыг» гарышылыгы јардым формасына даир . . . . .	84
М. М. Гулиев. XV эср ики Авропа рәссамынын эсәрләриндэ Азәрбајчан халчаларынын тәсвири . . . . .	89

## МУНДЭРИЧАТ

### Астрономија

В. Э. Элијев. Титанус-Боде вэ гајдасы вэ Јер вэ планетләрин фырланма охунун мејл бучагы . . . . .	3
--	---

### Енергетика

Ф. Г. Ыусејнов, Ч. С. Хәлилов, Н. Р. Рәйманов, А. Ж. Абдул- лајев. Енержки системләринин динамик дајаныглыгына демпфер моментләринин тә'сиринин тәдгиги . . . . .	6
---	---

### Јарыметүрүчү электроника

В. П. Дайнов, Ч. Н. Элизадэ. Коллектор кечидиндэ зәрбәли иойлаш- ха олдугу налда транзистору чыхыш импедансы . . . . .	11
---	----

### Кимја

Шамхал Мәммәдов, Е. Ш. Мәммәдов, А. Б. Агоронов, Д. А. Рәчебова. Гликол ефириләрни саңеснүүдэй тәдгигатлар . . . . .	17
---	----

М. А. Нәшилов, М. А. Мүрсалова, С. Е. Канзавели, С. А. Ба- баева. Трансформатор јагы нормал парафинләринин крекинг мөңсүлү олан ке- ниш фраксијалы $\alpha$ -олефинләрле (30—250°C) бензолун алкилләшdirилмасы . . . . .	20
--	----

В. О. Рапорт, В. Р. Гуревич, И. А. Гришка и, Х. Г. Ыес- нова. Етилвинил ефириинин полимерләшмәсинин чохфакторлу тәчруби метод илә тәдгиги . . . . .	24
---	----

### Кимја

И. Р. Мусајев, Е. Т. Сүлејманова, Л. Гасымов, М. И. Ми- р gasymova, С. Ч. Мендиев. Изопреи вэ пипериленин конденсацисы нағ- тында . . . . .	27
---	----

### Үзви кимја

С. Садыгзадэ, Л. Г. Мәммәрова. $\alpha$ -Фурфурил ефири глицидләринин синтези, реаксијасы вэ онун төрмәләри . . . . .	30
--	----

### Физики-кимја

А. С. Гасымова, Г. М. Ханмәммәдов, Э. М. Элијев. Шам ағачы одуңчагынын физики-механики хассасләринә пентахлорфенол мәһлүлү һондурулма- сынын тә'сиринин тәдгиги . . . . .	35
---	----

### Рекионал қеолокија

Р. А. Алланвердиев. Шейтанд саңеснүүдэй (мәркәзи Гобустан) палчыг вулканы узэ чыхмалары нағтында . . . . .	40
---	----

## Минералогия

Ч. Д. Джазаров, Т. С. Мамедов. Фотогеометрическое исследование кристаллов граната из Дашкесанского месторождения. . . . . 49

## Геология нефти

А. Б. Султанов, Р. М. Дадашев, У. Ш. Мехтиев. Характеристика коллекторов свиты VII горизонтов (свита «Перерыва») продуктивной толщи месторождения Сангачалы-море о. Дуваний — о. Булла. . . . . 54

## Региональная геология

А. А. Ализаде, О. И. Рыбина. Сарматские представители *Replidacna* в Азербайджане. . . . . 60

## Физиология растений

З. С. Азизбекова, С. Г. Гусейнова. Изменение камня и фосфора в листьях и корнях хлопчатника в зависимости от условий питания на разнокачественном засолении. . . . . 64

## Биометрия

Д. М. Заферман, Б. Г. Каплан. Математическая формализация интуитивных оценок коагулирующей способности крови по биохимическим и тромбоэластографическим показателям с применением анализа по главным компонентам. . . . . 68

## Молекулярная биология

Р. Д. Гусейнов. Рецепторная специфичность при взаимодействии бактерий группы *Escherichia coli* с тенями фага T4. . . . . 72

## Агрономия

И. А. Ибрагимов. Экономическая эффективность форм азотных удобрений под хлопчатник. . . . . 77

## Архитектура

Ф. Гадиров, К. Мамедзаде. Айдынбулагская башня. . . . . 81

## Этнография

Г. Дж. Джавадов. О форме взаимопомощи «ортаглыг». . . . . 84

## Эпиграфика

М. М. Кулиев. Азербайджанские ковры на двух полотнах Европейских художников XV века. . . . . 89

## СОДЕРЖАНИЕ

### Астрономия

В. А. Алиев. Правило Тициуса-Боде и наклон оси вращения Земли и планет. . . . . 3

### Энергетика

Ф. Г. Гусейнов, Ч. С. Халилов, Н. Р. Рахманов, А. Я. Абдуллаев. Исследование влияния демиферных моментов на динамическую устойчивость энергосистемы . . . . . 6

### Полупроводниковая электроника

В. П. Дьяконов, Д. Г. Ализаде. Выходной импеданс транзистора при наличии ударной ионизации в коллекторном переходе. . . . . 11

### Химия

Шамхал Мамедов, Э. Ш. Мамедов, А. Б. Агоронов, Д. А. Раджабова. Исследование в области эфиров гликолов. . . . . 17

М. А. Ашимов, М. А. Мурсалова, С. Е. Канзавели, С. А. Бабаева. Алкилирование бензола широкой фракцией  $\alpha$ -олефинов (30—250°C) продукта крекинга нормальных парафинов трансформаторного масла. . . . . 20

В. О. Рапопорт, В. Р. Гуревич, И. А. Гришкаи, Х. Г. Гасанова. Исследование реакции полимеризации этилвинилового эфира методом многофакторного эксперимента. . . . . 24

И. Р. Мусаев, Э. Т. Сулейманова, Л. Касумов, М. И. Миргасанова, С. Д. Мехтиев. О конденсации изопрена и пиперидена с окисью мезитила. . . . . 27

### Органическая химия

С. Садыхзаде, Л. Г. Мамедова. Синтез и реакции глицид  $\alpha$ -фурфурилового эфира и его производные. . . . . 30

### Физическая химия

А. С. Касумова, К. М. Хаммадов, А. М. Алиев. Исследование влияния пропитки раствором пентахлорфенола на основные физико-механические свойства древесины сосны. . . . . 35

### Региональная геология

Р. А. Аллахвердиев. О грязевулканических появлениях на площади Шейтануд (Центральный Кызылстан). . . . . 40

### Тектоника

Б. А. Будагов. Погребенные структуры и их роль в формировании рельефа западного побережья Каспийского моря. . . . . 44

Сдано в набор 24/VI 1969 г. Подписано к печати 22/IX 1969 г. Формат бумаги  
70×108<sup>1</sup>/<sub>16</sub>. Бум. лист. 3,00. Печ. лист. 8,22. Уч.-изд. лист. 6,77. ФГ 15513. Заказ 349.  
Тираж 1030. Цена 40 коп.

Типография им. Рухуллы Ахундова Государственного комитета Совета Министров  
Азербайджанской ССР по печати. Баку, Рабочий проспект, 96.